



ใบรับรองวิทยานิพนธ์
บัณฑิตวิทยาลัย มหาวิทยาลัยเกษตรศาสตร์

วิทยาศาสตร์มหาบัณฑิต (เทคโนโลยีชีวภาพ)

ปริญญา

เทคโนโลยีชีวภาพ

เทคโนโลยีชีวภาพ

สาขา

ภาควิชา

เรื่อง การกำจัดสีข้อมรีแอคทีฟผสม โดย *Lentinus polychrous* Lév. ที่เคลือบด้วยไคโตซานและผ่านการทำแห้งแบบฟลูอิดไคซ์เบด

Decolorization of Mixed Reactive Dyes by Fluidized – Bed Dried

Lentinus polychrous Lév. Coated with Chitosan

นามผู้วิจัย นางสาวจนาวรรณ หวังประดิษฐ์

ได้พิจารณาเห็นชอบโดย

อาจารย์ที่ปรึกษาวิทยานิพนธ์หลัก

(ผู้ช่วยศาสตราจารย์ภคมน จิตประเสริฐ, Ph.D.)

อาจารย์ที่ปรึกษาวิทยานิพนธ์ร่วม

(ผู้ช่วยศาสตราจารย์สุทธิพันธุ์ แก้วสมพงษ์, Ph.D.)

หัวหน้าภาควิชา

(ผู้ช่วยศาสตราจารย์สุทธิพันธุ์ แก้วสมพงษ์, Ph.D.)

บัณฑิตวิทยาลัย มหาวิทยาลัยเกษตรศาสตร์รับรองแล้ว

(รองศาสตราจารย์กัญญา วีระกุล, D.Agr.)

คณบดีบัณฑิตวิทยาลัย

วันที่ เดือน พ.ศ.

วิทยานิพนธ์

เรื่อง

การกำจัดสีย้อมรีแอคทีฟผสมโดย *Lentinus polychrous* Lév.
ที่เคลือบด้วยไคโตซานและผ่านการทำแห้งแบบฟลูอิดไคซ์เบด

Decolorization of Mixed Reactive Dyes by Fluidized-Bed Dried
Lentinus polychrous Lév. Coated with Chitosan

โดย

นางสาวรจนาวรรณ หวังประดิษฐ์

เสนอ

บัณฑิตวิทยาลัย มหาวิทยาลัยเกษตรศาสตร์
เพื่อความสมบูรณ์แห่งปริญญาวิทยาศาสตรมหาบัณฑิต (เทคโนโลยีชีวภาพ)

พ.ศ. 2557

ลิขสิทธิ์ มหาวิทยาลัยเกษตรศาสตร์

รจนาวรรณ หวังประดิษฐ์ 2557: การกำจัดสีข้อมริแอกทีฟผสมโดย *Lentinus polychrous* Lév. ที่เคลือบด้วยไคโตซานและผ่านการทำแห้งแบบฟลูอิดไชน์เบด ปรินญาวิทยาศาสตร์ มหาวิทยาลัยเทคโนโลยีชีวภาพ สาขาเทคโนโลยีชีวภาพ ภาควิชาเทคโนโลยีชีวภาพ อาจารย์ที่ปรึกษาวิทยานิพนธ์หลัก: ผู้ช่วยศาสตราจารย์ภคมน จิตประเสริฐ, Ph.D. 77 หน้า

มลภาวะทางน้ำที่เกิดจากการปนเปื้อนสีข้อมสังเคราะห์เป็นปัญหาที่ส่งผลกระทบต่อระบบนิเวศและสิ่งแวดล้อมอันจะนำมาสู่ปัญหาสุขภาพของมนุษย์ในที่สุด งานวิจัยนี้จึงสนใจศึกษาการกำจัดสีข้อมริแอกทีฟโดย *Lentinus polychrous* Lév. ที่เคลือบด้วยไคโตซานและผ่านการทำแห้งแบบฟลูอิดไชน์เบด โดยแปรผันความเข้มข้นของสารละลายไคโตซานที่ใช้เคลือบเป็น 3 ระดับ ได้แก่ 0.1, 0.5 และ 1.0 เปอร์เซ็นต์น้ำหนักต่อปริมาตร และทดสอบความสามารถในการกำจัดสีข้อมริแอกทีฟผสม 3 ชนิด คือ Reactive Blue 19, Reactive Blue 160 และ Reactive Blue 198 ความเข้มข้น 100 มิลลิกรัมต่อลิตร จากการศึกษาอิทธิพลของความเข้มข้นของไคโตซานที่ใช้เคลือบราต่อคุณสมบัติทางกายภาพ การรอดชีวิต ความสามารถในการกำจัดสีข้อม ตลอดจนกลไกที่เกิดขึ้นระหว่างกระบวนการกำจัดสีข้อม ผลการทดลองพบว่า พื้นผิวของราที่เคลือบด้วยไคโตซานมีลักษณะเรียบมากขึ้นเมื่อความเข้มข้นของไคโตซานที่ใช้เคลือบเพิ่มขึ้น ซึ่งพื้นผิวเม็ดราที่เคลือบด้วยไคโตซาน ความเข้มข้น 1.0 เปอร์เซ็นต์น้ำหนักต่อปริมาตร มีลักษณะเรียบและเป็นระนาบมากที่สุด โดยราที่เคลือบด้วยไคโตซานทุกความเข้มข้นและผ่านการทำแห้งสามารถเจริญได้ 100 เปอร์เซ็นต์ ทั้งนี้ยังคงความสามารถในการกำจัดสีข้อมได้ 91 – 94 เปอร์เซ็นต์ ภายในระยะเวลา 72 ชั่วโมง ซึ่งน้อยกว่าราที่ไม่เคลือบด้วยไคโตซานที่ใช้ระยะเวลา 144 ชั่วโมง นอกจากนี้ผลการศึกษากลไกต่าง ๆ ระหว่างการกำจัดสีข้อมโดยราที่เคลือบด้วยไคโตซาน ได้แก่ การเปลี่ยนแปลงความยาวคลื่นสูงสุดกิจกรรมเอนไซม์ลิกนินโนไลติก และการวิเคราะห์ Fourier Transform Infrared Spectroscopy (FTIR) ผลการทดลองแสดงให้เห็นว่ากลไกการดูดซับสีข้อมริแอกทีฟผสมเกิดขึ้นในช่วงแรกของการกำจัดสีข้อมต่อมาจึงเกิดกลไกการย่อยสลายทางชีวภาพโดยราผลิตเอนไซม์เพื่อย่อยสลายสีข้อมต่อไป จากผลการวิจัยนี้แสดงให้เห็นว่า *Lentinus polychrous* Lév. ที่เคลือบด้วยไคโตซานและผ่านการทำแห้งแบบฟลูอิดไชน์เบด สามารถกำจัดสีข้อมได้อย่างมีประสิทธิภาพมากขึ้นเมื่อเปรียบเทียบกับราที่ไม่เคลือบด้วยไคโตซาน โดยการกำจัดสีข้อมริแอกทีฟผสมเกิดจากการทำงานร่วมกันระหว่างกลไกการดูดซับและกลไกการย่อยสลายทางชีวภาพ

ลายมือชื่อนิสิต

ลายมือชื่ออาจารย์ที่ปรึกษาวิทยานิพนธ์หลัก

Rodjanawan Wangpradid 2014: Decolorization of Mixed Reactive Dyes by Fluidized-Bed Dried *Lentinus polychrous* Lév. Coated with Chitosan. Master of Science (Biotechnology), Major Field: Biotechnology, Department of Biotechnology. Thesis Advisor: Assistant Professor Pakamon Chitprasert, Ph.D. 77 pages.

The water pollution contaminated by synthetic dyes effluent is a major problem that can widely affect the food chain, ecosystem and human health. This research aimed to study the decolorization of mixed reactive dyes by fluidized – bed dried *Lentinus polychrous* Lév. coated with chitosan. The chitosan coating concentrations were varied at 0.1, 0.5 and 1.0 % w/v to test the decolorization of 100 mgL⁻¹ of 3 mixed reactive dyes; reactive blue 19, 160 and 198. The chitosan concentration coating on fungi influenced the physical property, fungal viability, dye decolorization and mechanism of decolorization. The physical property of external coated fungal surface showed that the surface chitosan coated fungi were smoother when the chitosan coating concentrations were higher. the surface of 1.0 % chitosan coated fungi illustrated the smoothest surface among those 3 chitosan coating concentrations. The survival of all coated and dried fungi were 100 % and the fungi were still able to degrade 91 – 94 % of mixed dyes within 72 hours which was shorter decolorization time than that of uncoated fungi (144 hours). The variation of dyes maximum wavelength, ligninolytic enzyme activity and Fourier Transform Infrared Spectroscopy (FTIR) were also conducted to investigate the mechanism of decolorization by chitosan coated fungi. It was revealed that the decolorization process was caused by the collaboration between biosorption and biodegradation mechanism. The first period of decolorization was biosorption followed by secretion of enzyme for biodegradation. Results obtained in this study indicated that the chitosan coated and fluidized – bed dried *L. polychrous* Lév. can efficiently degrade mixed reactive dyes.

Student's signature

Thesis Advisor's signature

กิตติกรรมประกาศ

ข้าพเจ้าขอกราบขอบพระคุณ ผู้ช่วยศาสตราจารย์ ดร. ภคมน จิตประเสริฐ อาจารย์ที่ปรึกษาวิทยานิพนธ์หลัก ที่ได้ช่วยวางแผนงานวิจัย ตลอดจนการให้คำปรึกษาแนะนำทั้งในเรื่องงานวิจัย และการดำเนินชีวิต รวมถึงให้โอกาสในการเสนอความคิดในวิทยานิพนธ์ฉบับนี้อย่างเต็มที่ และช่วยตรวจแก้ไขข้อบกพร่องต่าง ๆ กราบขอบพระคุณ ผู้ช่วยศาสตราจารย์ ดร. สุทธิพันธุ์ แก้วสมพงษ์ อาจารย์ที่ปรึกษาวิทยานิพนธ์ร่วม อาจารย์ ดร. สุมลลิกา โมรากุล ประธานการสอบ และ อาจารย์ ดร. แสงชัย เอกประทุมชัย ผู้ทรงคุณวุฒิ ที่ได้ให้ความกรุณาตรวจแก้ไขวิทยานิพนธ์ให้สมบูรณ์ยิ่งขึ้น

ขอกราบขอบพระคุณอาจารย์ภาควิชาเทคโนโลยีชีวภาพทุกท่าน ที่ได้อบรมสั่งสอนและมอบความรู้อันเป็นประโยชน์อย่างยิ่งในการนำไปใช้ประโยชน์ต่อไป และขอขอบคุณเจ้าหน้าที่ห้องปฏิบัติการและเจ้าหน้าที่ภาควิชาเทคโนโลยีชีวภาพทุกท่าน ที่ได้ให้ความช่วยเหลือและอำนวยความสะดวกในระหว่างการทำงานวิจัย

ขอกราบขอบพระคุณ พ่อและแม่ ที่เป็นกำลังใจและแรงผลักดันอันแรงกล้าและให้การสนับสนุนข้าพเจ้าในทุก ๆ ด้าน ขอบพระคุณ นางสาวปัทมา พลอยสว่าง ที่ได้ให้ความช่วยเหลือด้านวิชาการ เทคนิคในการทำแล็บและกำลังใจในยามท้อแท้ ขอบพระคุณ พี่ฝ้ายน้อย พี่อ๊อฟ เอ็มมี หลินลี่ เก๋ น้องบอล น้องหวาน น้องนอย น้องทราย น้องแคน น้องวชิ และ พี่ ๆ เพื่อน ๆ และน้อง ๆ ทุกคน ที่ได้ให้กำลังใจ ปลุกขวัญและความช่วยเหลือในเรื่องต่าง ๆ เสมอมา

รจนาวรรณ หวังประดิษฐ์

มิถุนายน 2557

สารบัญ

	หน้า
สารบัญ	(1)
สารบัญตาราง	(2)
สารบัญภาพ	(4)
คำนำ	1
วัตถุประสงค์	3
การตรวจเอกสาร	4
อุปกรณ์และวิธีการ	19
อุปกรณ์	19
วิธีการ	21
ผลและวิจารณ์	29
สรุปและข้อเสนอแนะ	48
สรุป	48
ข้อเสนอแนะ	49
เอกสารและสิ่งอ้างอิง	50
ภาคผนวก	59
ภาคผนวก ก อาหารเลี้ยงเชื้อ	60
ภาคผนวก ข ข้อมูลผลการทดลอง	63
ประวัติการศึกษาและการทำงาน	77

สารบัญตาราง

ตารางผนวกที่		หน้า
ข1	การกำจัดสีย้อมรีแอคทีฟผสมโดย <i>L. polychrous</i> Lév. ที่ไม่เคลือบไคโตซาน และไม่ผ่านการทำแห้งฟลูอิดซ์เบด	64
ข2	การกำจัดสีย้อมรีแอคทีฟผสมโดย <i>L. polychrous</i> Lév. ที่เคลือบไคโตซาน 0.1 เปอร์เซ็นต์น้ำหนักต่อปริมาตร และไม่ผ่านการทำแห้งฟลูอิดซ์เบด	65
ข3	การกำจัดสีย้อมรีแอคทีฟผสมโดย <i>L. polychrous</i> Lév. ที่เคลือบไคโตซาน 0.5 เปอร์เซ็นต์น้ำหนักต่อปริมาตร และไม่ผ่านการทำแห้งฟลูอิดซ์เบด	66
ข4	การกำจัดสีย้อมรีแอคทีฟผสมโดย <i>L. polychrous</i> Lév. ที่เคลือบไคโตซาน 1.0 เปอร์เซ็นต์น้ำหนักต่อปริมาตร และไม่ผ่านการทำแห้งฟลูอิดซ์เบด	67
ข5	การกำจัดสีย้อมรีแอคทีฟผสมโดย <i>L. polychrous</i> Lév. ที่ไม่เคลือบไคโตซาน และผ่านการทำแห้งแบบฟลูอิดซ์เบด	68
ข6	การกำจัดสีย้อมรีแอคทีฟผสมโดย <i>L. polychrous</i> Lév. เคลือบไคโตซาน 0.1 เปอร์เซ็นต์น้ำหนักต่อปริมาตร และผ่านการทำแห้งแบบฟลูอิดซ์เบด	68
ข7	การกำจัดสีย้อมรีแอคทีฟผสมโดย <i>L. polychrous</i> Lév. เคลือบไคโตซาน 0.5 เปอร์เซ็นต์น้ำหนักต่อปริมาตร และผ่านการทำแห้งแบบแบบฟลูอิดซ์เบด	69
ข8	การกำจัดสีย้อมรีแอคทีฟผสมโดย <i>L. polychrous</i> Lév. เคลือบไคโตซาน 1.0 เปอร์เซ็นต์น้ำหนักต่อปริมาตร และผ่านการทำแห้งแบบฟลูอิดซ์เบด	69
ข9	กิจกรรมเอนไซม์แลคเตสที่ผลิตโดย <i>L. polychrous</i> Lév. ที่ไม่เคลือบไคโตซานและไม่ผ่านการทำแห้งแบบฟลูอิดซ์เบด	70
ข10	กิจกรรมเอนไซม์แลคเตสที่ผลิตโดย <i>L. polychrous</i> Lév. ที่เคลือบไคโตซาน 0.1 เปอร์เซ็นต์น้ำหนักต่อปริมาตร และไม่ผ่านการทำแห้งแบบฟลูอิดซ์เบด	70
ข11	กิจกรรมเอนไซม์แลคเตสที่ผลิตโดย <i>L. polychrous</i> Lév. ที่เคลือบไคโตซาน 0.5 เปอร์เซ็นต์น้ำหนักต่อปริมาตร และไม่ผ่านการทำแห้งแบบฟลูอิดซ์เบด	71
ข12	กิจกรรมเอนไซม์แลคเตสที่ผลิตโดย <i>L. polychrous</i> Lév. ที่เคลือบไคโตซาน 1.0 เปอร์เซ็นต์น้ำหนักต่อปริมาตร และไม่ผ่านการทำแห้งแบบฟลูอิดซ์เบด	71
ข13	กิจกรรมเอนไซม์แมงกานีสเปอร์ออกซิเดสที่ผลิตโดย <i>L. polychrous</i> Lév. ที่ไม่เคลือบไคโตซานและไม่ผ่านการทำแห้งแบบฟลูอิดซ์เบด	72

สารบัญตาราง (ต่อ)

ตารางผนวกที่	หน้า
ข14 กิจกรรมเอนไซม์แมงกานีสเปอร์ออกซิเดสที่ผลิตโดย <i>L. polychrous</i> Lév. ที่เคลือบโคโคซาน 0.1 เปอร์เซ็นต์น้ำหนักต่อปริมาตร และไม่ผ่านการทำแห้ง แบบฟลูอิดไรเซชัน	72
ข15 กิจกรรมเอนไซม์แมงกานีสเปอร์ออกซิเดสที่ผลิตโดย <i>L. polychrous</i> Lév. ที่เคลือบโคโคซาน 0.5 เปอร์เซ็นต์น้ำหนักต่อปริมาตร และไม่ผ่านการทำแห้ง แบบฟลูอิดไรเซชัน	73
ข16 กิจกรรมเอนไซม์แมงกานีสเปอร์ออกซิเดสที่ผลิตโดย <i>L. polychrous</i> Lév. ที่เคลือบโคโคซาน 0.1 เปอร์เซ็นต์น้ำหนักต่อปริมาตร และไม่ผ่านการทำแห้ง แบบฟลูอิดไรเซชัน	73

สารบัญภาพ

ภาพที่	หน้า
1 ดอกเห็ด <i>L. polychrous</i> Lév.	11
2 โครงสร้างของไคตินและไคโตซาน	14
3 โครงสร้างสี่ข้อมรีแอกทีฟ	20
4 ตำแหน่งการวาง <i>L. polychrous</i> Lév. ที่เคลือบด้วยไคโตซานจำนวน 10 จุด และเจริญบนจานเพาะเชื้อ PDA เพื่อทดสอบการรอดชีวิต	23
5 แผนผังการดำเนินการทดลอง	28
6 พื้นผิวภายนอกของ <i>L. polychrous</i> Lév. ที่เคลือบด้วยไคโตซานที่ความเข้มข้นต่าง ๆ ก่อนการทำแห้งแบบฟลูอิดไรซ์เบด	31
7 จำนวนจุดของการเจริญของเส้นใย <i>L. polychrous</i> Lév. ที่เคลือบด้วยไคโตซานความเข้มข้นต่าง ๆ ก่อนและหลังการทำแห้งแบบฟลูอิดไรซ์เบด	33
8 การกำจัดสี่ข้อมรีแอกทีฟผสมโดย <i>L. polychrous</i> Lév. ที่เคลือบด้วยไคโตซานความเข้มข้นต่าง ๆ และไม่ผ่านการทำแห้งแบบฟลูอิดไรซ์เบด	36
9 การกำจัดสี่ข้อมรีแอกทีฟผสมโดย <i>L. polychrous</i> Lév. ที่เคลือบด้วยไคโตซานความเข้มข้นต่าง ๆ และผ่านการทำแห้งแบบฟลูอิดไรซ์เบด	36
10 เม็ดรา <i>L. polychrous</i> Lév. ที่เคลือบด้วยไคโตซานความเข้มข้นต่าง ๆ และไม่ผ่านการทำแห้งแบบฟลูอิดไรซ์เบด ที่เวลาการกำจัดสี่ข้อมชั่วโมงที่ 72	37
11 พื้นผิวภายนอกของเม็ด <i>L. polychrous</i> Lév. ที่เคลือบด้วยไคโตซานที่ความเข้มข้นต่าง ๆ ที่เวลาการกำจัดสี่ข้อมชั่วโมงที่ 72	39
12 การเปลี่ยนแปลงความยาวคลื่นของสี่ข้อมรีแอกทีฟผสม ที่เวลาการกำจัดสี่ข้อมต่าง ๆ	41
13 กิจกรรมเอนไซม์แลคเตสและเมงกานีสเปอร์ออกซิเดสที่ผลิตโดย <i>L. polychrous</i> Lév. ที่เคลือบด้วยไคโตซานความเข้มข้นต่าง ๆ และไม่ผ่านการทำแห้งแบบฟลูอิดไรซ์เบด	44
14 FTIR สเปกตรัมของเม็ดรา <i>L. polychrous</i> Lév. ที่เคลือบด้วยไคโตซานและผ่านการกำจัดสี่ข้อมที่เวลาต่าง ๆ	47
15 FTIR สเปกตรัมของน้ำสี่ข้อมรีแอกทีฟผสมที่เวลาการกำจัดสี่ข้อมต่าง ๆ	47

สารบัญภาพ (ต่อ)

ภาพผนวกที่	หน้า
ข1 FTIR สเปกตรัมของสีข้อมริแอกทีฟผสมที่เวลาการกำจัดสีข้อมชั่วโมงที่ 0	74
ข2 FTIR สเปกตรัมของเม็ดรา <i>L. polychrous</i> Lév. ที่เคลือบด้วยไคโตซานความเข้มข้น 1.0 เปอร์เซ็นต์ ที่เวลาการกำจัดสีข้อมชั่วโมงที่ 0	74
ข3 FTIR สเปกตรัมของเม็ด <i>L. polychrous</i> Lév. ที่เคลือบด้วยไคโตซานความเข้มข้น 1.0 เปอร์เซ็นต์ ที่เวลาการกำจัดสีข้อมชั่วโมงที่ 6	75
ข4 FTIR สเปกตรัมของเม็ด <i>L. polychrous</i> Lév. ที่เคลือบด้วยไคโตซานความเข้มข้น 1.0 เปอร์เซ็นต์ ที่เวลาการกำจัดสีข้อมชั่วโมงที่ 48	75
ข5 FTIR สเปกตรัมของน้ำสีข้อมริแอกทีฟผสมที่เวลาการกำจัดสีข้อมชั่วโมงที่ 6	76
ข6 FTIR สเปกตรัมของน้ำสีข้อมริแอกทีฟผสมที่เวลาการกำจัดสีข้อมชั่วโมงที่ 48	76

การกำจัดสีย้อมรีแอคทีฟผสมโดย *Lentinus polychrous* Lév. ที่เคลือบด้วย ไคโตซานและผ่านการทำแห้งแบบฟลูอิดไชด์เบด

Decolorization of Mixed Reactive Dyes by Fluidized-Bed Dried

Lentinus polychrous Lév. Coated with Chitosan

คำนำ

เนื่องด้วยการพัฒนาเศรษฐกิจและอุตสาหกรรมของประเทศไทยทำให้ความต้องการในการใช้ทรัพยากรสูงขึ้นซึ่งผลกระทบต่อสิ่งแวดล้อม โดยปัญหามลภาวะทางน้ำที่ปนเปื้อนสีย้อมถือเป็นปัญหาสำคัญปัญหาหนึ่งที่นับวันจะทวีความรุนแรงมากขึ้น ทั้งนี้สาเหตุสำคัญมาจากอุตสาหกรรมสิ่งทอ ภาพถ่าย และพลาสติก เป็นต้น โดยเฉพาะอุตสาหกรรมสิ่งทอที่มักมีสีย้อมปนเปื้อนอยู่ในน้ำทิ้งประมาณ 15 – 20 เปอร์เซ็นต์ (Selvam *et al.*, 2003) การปล่อยน้ำทิ้งเหล่านี้ลงสู่แหล่งน้ำธรรมชาติก่อให้เกิดผลกระทบต่อสิ่งแวดล้อมอย่างรุนแรงโดยอนุภาคสีย้อมสามารถบดบังและลดการส่องผ่านของแสงอาทิตย์ซึ่งส่งผลให้ออกซิเจนในแหล่งน้ำลดลงและส่งผลกระทบต่อสิ่งมีชีวิตในระบบนิเวศใต้น้ำ (Hamedani *et al.*, 2007) สีย้อมบางชนิดอาจเปลี่ยนรูปเป็นสารก่อมะเร็ง เช่น สารประกอบแอมีนหรือสารประกอบเชิงซ้อนอะโรมาติกซึ่งสามารถส่งผลกระทบต่อสุขภาพของมนุษย์ได้ (Ciullini *et al.*, 2008) นอกจากนี้สีย้อมซึ่งเป็นสารสีเข้มหากปนเปื้อนลงสู่แหล่งน้ำแม้เพียงปริมาณเล็กน้อยส่งผลทำให้เกิดทัศนียภาพที่น่ารังเกียจสร้างความรำคาญใจต่อผู้พบเห็นและอยู่อาศัยโดยรอบแหล่งน้ำ ดังนั้นการกำจัดสีย้อมก่อนปล่อยสู่แหล่งน้ำธรรมชาติจึงมีความจำเป็น โดยทั่วไปกระบวนการกำจัดสีย้อมมักใช้กระบวนการทางเคมีและกายภาพ (Pearce *et al.*, 2003) เนื่องจากใช้ระยะเวลาในการดำเนินการสั้น อย่างไรก็ตามวิธีการนี้โดยส่วนใหญ่ต้องใช้หลายขั้นตอนร่วมกันทำให้เสียค่าใช้จ่ายสูงและยังก่อให้เกิดการตกค้างของสารเคมีที่อาจมีพิษรุนแรงมากขึ้นในสิ่งแวดล้อม (Eichlerova *et al.*, 2007) ในทางตรงกันข้ามกระบวนการทางชีวภาพเป็นวิธีการหนึ่งที่มีค่าใช้จ่ายในการดำเนินการต่ำและที่สำคัญเป็นวิธีที่เป็นมิตรกับสิ่งแวดล้อม หลักการของวิธีนี้คือการใช้จุลินทรีย์ที่สามารถเปลี่ยนโครงสร้างของสีย้อมทำให้สมบัติทางเคมีของสีย้อมเปลี่ยนแปลงไป เช่น โทนสี และความเป็นพิษ โดยจุลินทรีย์ที่สามารถกำจัดสีย้อมได้มีหลายประเภท เช่น แบคทีเรีย รา และยีสต์ อย่างไรก็ตามราถือเป็นกลุ่มจุลินทรีย์ที่มีความสามารถในการกำจัดสีย้อมที่มีประสิทธิภาพสูง โดยเฉพาะราขาว (White Rot Fungi) ที่สามารถผลิตเอนไซม์ในกลุ่มลิกนินโพลิติก (Ligninolytic enzyme) ซึ่งเอนไซม์กลุ่มนี้สามารถย่อยสลายโครงสร้างสีย้อมได้อย่างมีประสิทธิภาพ (Young and Yu, 1997; Novotny *et al.*, 2001;

Palmieri *et al.*, 2005; Radha *et al.*, 2005) *Lentinus polychrous* Lév. เป็นราขาวสายพันธุ์ที่พบในประเทศไทยและมีรายงานว่าสามารถสร้างเอนไซม์ในกลุ่มลิกนินโพลีติกและกำจัดสีย้อมได้อย่างมีประสิทธิภาพ (ปัทมา, 2551; Khamchmuang and Sarntima, 2007; Chitprasert *et al.*, 2011)

อย่างไรก็ตามการกำจัดสีย้อมด้วยกระบวนการทางชีวภาพยังคงมีข้อเสียด้านระยะเวลากำจัดสีย้อมที่นาน โดยเฉพาะการใช้ร่ากำจัด การประยุกต์กระบวนการกำจัดสีย้อมโดยการเพิ่มกระบวนการทางกายภาพด้วยการเคลือบไคโตซานลงบนเม็ดราเพื่อเพิ่มความสามารถในการดูดซับสีย้อมให้กับเม็ดราในช่วงแรกของการกำจัดสีย้อมจึงเป็นแนวทางที่น่าสนใจในการช่วยเพิ่มประสิทธิภาพการกำจัดสีย้อมได้ เนื่องจากไคโตซานจัดเป็นพอลิเมอร์ธรรมชาติที่นอกจากมีคุณสมบัติในการดูดซับสีย้อมสูง (Crini and Badot, 2008) เป็นวัสดุที่หาได้ง่ายในประเทศไทย ยังมีความสามารถในการยับยั้งการเจริญของจุลินทรีย์ และเป็นมิตรกับสิ่งแวดล้อม อย่างไรก็ตามหากพิจารณาในแง่ของการใช้งานราคาต้นทุนการใช้งานสั้นและมีความไม่สะดวกต่อการนำไปใช้งาน การทำแห้งจึงเป็นทางเลือกหนึ่งที่จะช่วยแก้ปัญหาดังกล่าวได้ ซึ่งงานวิจัยนี้สนใจการทำแห้งแบบฟลูอิดไรซ์เบด (Fluidized bed drying) เนื่องจากเป็นวิธีการทำแห้งที่มีขั้นตอนไม่ยุ่งยากซับซ้อน อีกทั้งยังมีต้นทุนการดำเนินการต่ำและประหยัดพลังงานอีกด้วย (ปัทมา, 2551)

งานวิจัยนี้จึงมีแนวคิดในการศึกษาความสามารถการกำจัดสีย้อมสังเคราะห์โดย *L. polychrous* Lév. ที่เคลือบด้วยไคโตซานความเข้มข้นต่าง ๆ และผ่านการทำแห้งแบบฟลูอิดไรซ์เบด ร่วมกับการศึกษากลไกของการกำจัดสีย้อมโดยราที่เคลือบด้วยไคโตซาน โดยคาดว่าจะการเคลือบไคโตซานบนราสามารถเพิ่มประสิทธิภาพการกำจัดสีย้อมซึ่งจากแนวคิดนี้จะเป็นต้นแบบในการพัฒนาผลิตภัณฑ์ราแห้งเพื่อใช้ในระบบบำบัดน้ำเสียที่ปนเปื้อนสีย้อมได้อย่างมีประสิทธิภาพในอนาคต

วัตถุประสงค์

1. ศึกษาอิทธิพลของความเข้มข้นของไคโตซานที่เคลือบบน *L. polychrous* Lév. และผ่านการทำแห้งแบบฟลูอิดไรซ์เบดต่อความสามารถในการกำจัดสีย้อมสังเคราะห์ประเภทรีแอกทีฟของรา

2. ศึกษากลไกการกำจัดสีย้อมของราที่เคลือบด้วยไคโตซาน



การตรวจเอกสาร

1. สีย้อม

สีย้อมเป็นสารเคมีชนิดหนึ่ง que เมื่อนำไปย้อมบนวัสดุต่าง ๆ เช่น เส้นไหม และผ้า โม่เลกุลของสีย้อมซึมผ่านเข้าเส้นใยและยึดติดกับ โม่เลกุลเส้นใย (Zollinger, 2003) สีย้อมสามารถแบ่งได้ 2 ประเภทหลัก ๆ ได้แก่ สีย้อมธรรมชาติ (Natural dyes) และสีย้อมสังเคราะห์ (Synthetic dyes) ในปัจจุบันอุตสาหกรรมต่าง ๆ นิยมใช้สีย้อมสังเคราะห์ เช่น สิ่งทอ การฟอกย้อมหนัง การผลิตพลาสติก และการถ่ายรูป เป็นต้น เนื่องจากสีย้อมสังเคราะห์สามารถติดบนวัสดุสม่ำเสมอและคงทนใช้งานสะดวก และมีหลากหลายเฉดสี

การจำแนกประเภทของสีย้อมสังเคราะห์สามารถแบ่งได้หลายลักษณะ เช่น จำแนกตามลักษณะทางกายภาพ จำแนกตามส่วนประกอบและโครงสร้างทางเคมี และจำแนกตามการใช้งาน การจำแนกที่นิยมสามารถแบ่งเป็น 2 ลักษณะใหญ่ ๆ คือ จำแนกตามโครงสร้างทางเคมี เช่น สีอะโซ (Azo dyes) สีแอนทราควิโนน (Anthraquinone dyes) สีซัลเฟอร์ (Sulphur dyes) สีอินดิโกยด์ (Indigoids) สีไตรฟีนิลมีเทน (Triphenylmethane dyes) และสีฟอร์มazan (Formazan dyes) เป็นต้น และจำแนกตามการใช้งาน เช่น สีแอซิด (Acid dyes) สีเบสิก (Basic dyes) สีรีแอคทีฟ (Reactive dyes) สีดีสเพิร์ส (Disperse dyes) สีแวท (Vat dyes) สีไดเรกต์ (Direct dyes) สีมอร์ดนต์ (Mordant dyes) และสีออกซิเดชัน (Oxidation dyes) เป็นต้น โดยการจัดประเภทสีย้อมแบบนี้อยู่บนพื้นฐานของคัลเลอร์อินเดกซ์ (colour index, C.I.) (Choudhury, 2006)

จากการจำแนกสีย้อมตามการใช้งาน สีรีแอคทีฟจัดเป็นสีย้อมที่มีปริมาณการผลิตและใช้งานมากที่สุด โดยมีส่วนแบ่งทางการตลาดประมาณ 20 – 30 เปอร์เซ็นต์ (Zollinger, 2003; Orfao *et al.*, 2006) เนื่องจากสีรีแอคทีฟมีหลายเฉดสี มีความคงทนต่อแสง การซักถู และการซักฟอกสูง ใช้งานง่าย ละลายน้ำได้ดี และให้ประจุลบ เหมาะสำหรับการย้อมเส้นใยเซลลูโลส (คุชฎี, 2531; นฤมล, 2548) โดยโครงสร้างของสีประเภทนี้ประกอบด้วยหมู่ของสี (Chromophore group) ซึ่งเป็นหมู่ที่ทำให้เกิดสีมีโครงสร้างหลากหลาย เช่น อะโซ (Azo) แอนทราควิโนน (Anthraquinone) และไตรฟีนิลมีเทน (Triphenylmethane) เป็นต้น และหมู่ทำปฏิกิริยา (Reactive group) เช่น ไวนิลซัลโฟน (Vinyl sulphone) คลอโรไตราซีน (Chlorotriazine) และไตรคลอโรไพริมิดีน (Trichloropyrimidine) เป็นต้น ซึ่งเป็นหมู่ที่ทำหน้าที่ยึดจับกับหมู่อะมิโน (Amino group) หรือหมู่ไฮดรอกซิล (Hydroxyl group) ของเส้นใยด้วยพันธะโควาเลนต์ (Covalent bond) (Sumathi and Manju, 2000; Akhtar *et al.*, 2005; Choudhury, 2006)

สีข้อมสามารถติดบนเส้นใยเพียงบางส่วนเท่านั้นในกระบวนการฟอกข้อม (Kirby *et al.*, 2000) โดยสีข้อมที่เหลือนบนเปื้อนอยู่ในน้ำข้อมและถูกปล่อยออกมากับน้ำทิ้งประมาณ 15 – 20 เปอร์เซ็นต์ (Selvam *et al.*, 2003) ซึ่งในจำนวนนี้พบว่าเป็นสีข้อมรีแอคทีฟประมาณ 10 – 50 เปอร์เซ็นต์ (Al-Degs *et al.*, 2008) เนื่องจากสีข้อมรีแอคทีฟมีปริมาณการใช้งานมากกว่าสีข้อมชนิดอื่น ๆ การปนเปื้อนสีข้อมในแหล่งน้ำก่อให้เกิดปัญหามลภาวะทางน้ำหลายด้าน เนื่องจากสีข้อมมีความเข้มข้นสูงแม้อยู่ในน้ำทิ้งปริมาณเพียงเล็กน้อยก็สามารถเห็นได้ชัดเจนซึ่งสามารถบดบังแสงอาทิตย์ทำให้แสงอาทิตย์ไม่สามารถส่องผ่านลงสู่แหล่งน้ำส่งผลกระทบต่อการละลายของแก๊สต่าง ๆ ทำให้ระบบนิเวศเสียสมดุลเป็นอันตรายต่อสิ่งมีชีวิตในแหล่งน้ำทั้งทางตรงและทางอ้อม (Hamedani *et al.*, 2007) นอกจากนี้สีข้อมบางชนิดสามารถเปลี่ยนโครงสร้างเป็นสารประกอบอะโรมาติก (Aromatic amines) ซึ่งจัดเป็นสารก่อมะเร็งชนิดหนึ่ง การปนเปื้อนสีข้อมเหล่านี้ในระบบห่วงโซ่อาหารอาจมีผลกระทบต่อสัตว์น้ำซึ่งนำมาสู่ปัญหาสุขภาพของมนุษย์ในที่สุด (Ciullini *et al.*, 2008) ดังนั้นจึงมีความจำเป็นอย่างยิ่งที่ต้องมีวิธีการบำบัดสีข้อมอย่างมีประสิทธิภาพเพื่อป้องกันไม่ให้สีข้อมปนเปื้อนสู่แหล่งน้ำธรรมชาติและส่งผลกระทบต่อระบบห่วงโซ่อาหาร

2. การบำบัดน้ำเสียปนเปื้อนสีข้อม

การบำบัดน้ำเสียปนเปื้อนสีข้อมสามารถทำได้หลายกระบวนการ โดยสามารถแบ่งเป็นกระบวนการหลัก ๆ ได้ 3 กระบวนการคือ

2.1 กระบวนการทางกายภาพ

การบำบัดน้ำเสียปนเปื้อนสีข้อมโดยกระบวนการทางกายภาพเป็นวิธีการแยกสารแขวนลอยออกด้วยการใช้แรงโน้มถ่วงหรือการเติมสารเคมีบางชนิดเพื่อให้สารแขวนลอยเกิดการรวมตัวและตกตะกอนหรือการคัดแยกตามขนาดของสารแขวนลอย โดยสามารถทำได้หลายวิธี เช่น การตกตะกอน (Flocculation – Coagulation) การดูดซับ (Adsorption) และการกรองโดยใช้เยื่อกรอง (Membrane technology) เป็นต้น อย่างไรก็ตามการบำบัดด้วยกระบวนการทางกายภาพยังคงมีข้อจำกัดในเรื่องของปริมาณกากของเสียหลังการบำบัด เทคโนโลยีบางวิธีที่มีราคาสูง และบางวิธีไม่สามารถบำบัดสีได้ทั้งหมดจำเป็นต้องใช้วิธีการอื่นร่วมด้วย (Saratale *et al.*, 2011)

2.2 กระบวนการทางเคมี

การบำบัดน้ำเสียปนเปื้อนสีข้อมโดยกระบวนการทางเคมีเป็นวิธีการที่ทำให้โครงสร้างของสีข้อมเกิดการเปลี่ยนแปลงโดยใช้ปฏิกิริยาทางเคมีเพื่อเปลี่ยนแปลงคุณสมบัติของสีข้อมโดยสามารถทำได้หลายวิธี เช่น การออกซิเดชัน-รีดักชัน (Oxidation –Reduction) การโอโซนชัน (Ozonation) และการอิเล็กโทรไลซิส (Electrolysis) เป็นต้น แม้ว่าการบำบัดด้วยกระบวนการทางเคมีใช้เวลาในการดำเนินการสั้นแต่เป็นกระบวนการที่เสียค่าใช้จ่ายสูงและอาจเกิดสารประกอบชนิดใหม่ที่มีพิษสูงขึ้น (Saratale *et al.*, 2011)

2.3 กระบวนการทางชีวภาพ

การบำบัดน้ำเสียปนเปื้อนสีข้อมโดยกระบวนการทางชีวภาพเป็นวิธีที่ใช้จุลินทรีย์เป็นหลักโดยสามารถเป็นได้ทั้งแบบใช้ออกซิเจนและไม่ใช้ออกซิเจนทั้งนี้ขึ้นกับชนิดของจุลินทรีย์ กระบวนการทางชีวภาพเป็นกระบวนการที่เสียค่าใช้จ่ายต่ำเนื่องจากไม่ต้องใช้เครื่องมือ สารเคมี หรือเทคโนโลยีขั้นสูงในกระบวนการบำบัดขณะเดียวกันเป็นกระบวนการที่มีประสิทธิภาพสูงและเป็นมิตรกับสิ่งแวดล้อม จากข้อดีดังกล่าวการบำบัดน้ำเสียโดยกระบวนการทางชีวภาพจึงเป็นวิธีการที่เหมาะสมที่สุด (Banat *et al.*, 1996) สำหรับบำบัดน้ำเสียที่ปนเปื้อนสีข้อม ตัวอย่างรายงานการกำจัดสีข้อมด้วยกระบวนการทางชีวภาพมีดังนี้

Lucas *et al.* (2006) ศึกษาการกำจัดสีข้อม Reactive Black 5 ซึ่งเป็นสีข้อมประเภทรีแอกทีฟที่มีโครงสร้างแบบไดอะโซโดย *Candida oleophila* ผลการทดลองพบว่า ยีสต์ชนิดนี้สามารถกำจัดสีข้อมความเข้มข้น 200 มิลลิกรัมต่อลิตรได้สูงกว่า 95 เปอร์เซ็นต์ ภายในระยะเวลา 24 ชั่วโมง ภายใต้สภาวะใช้อากาศ ที่อุณหภูมิ 26 องศาเซลเซียส โดยการกำจัดสีข้อมเกิดจากกลไกการย่อยสลายทางชีวภาพซึ่งเกิดจากทำงานของเอนไซม์อะโซรีดักเตส (Azoreductase) ดำเนินไปพร้อมกับ การเจริญและไม่พบกลไกการดูดซับโดยเซลล์

Daneshvar *et al.* (2007) ศึกษาการกำจัดสีข้อม Malachite Green ซึ่งเป็นสีข้อมประเภทเบสิกที่มีโครงสร้างแบบไตรฟีนิลมีเทน โดย *Cosmarium* sp. ผลการทดลองพบว่า สาหร่ายสีเขียวชนิดนี้สามารถกำจัดสีข้อม Malachite Green ความเข้มข้นเริ่มต้น 15 มิลลิกรัมต่อลิตรได้ประมาณ 89 เปอร์เซ็นต์ ที่พีเอช 9 ภายในเวลา 24 ชั่วโมง ด้วยกลไกการดูดซับที่เวลา 0 – 7 ชั่วโมง ประมาณ 63 เปอร์เซ็นต์ และกลไกการย่อยสลายทางชีวภาพหลังจากชั่วโมงที่ 7 เป็นต้นไป และจากการศึกษา kinetic ตามหลัก Michaelis–Menten พบว่า ค่า Maximum Specific Decolorization Rate (V_{max}) คือ

7.63 มิลลิกรัมต่อกรัมเซลล์แห้งต่อชั่วโมง และค่าสัมประสิทธิ์ Dissociation Constant (K_m) คือ 164.57 มิลลิกรัมต่อลิตร

Kolekar *et al.* (2008) ศึกษาการกำจัดสีย้อม Disperse Blue 79 และ Acid Orange 10 ซึ่งเป็นสีย้อมประเภทคิสเพิร์สและแอซิดที่มีโครงสร้างแบบอะโซ โดย *Bacillus fusiformis* เป็นแบคทีเรียที่คัดแยกได้จากดินที่ปนเปื้อนสีย้อมในประเทศอินเดีย ผลการทดลองพบว่า แบคทีเรียชนิดนี้สามารถกำจัดสีย้อม Disperse Blue 79 ความเข้มข้น 1.5 กรัมต่อลิตร ได้ 90 เปอร์เซ็นต์ และ Acid Orange 10 ความเข้มข้น 1.5 กรัมต่อลิตร ได้ 95 เปอร์เซ็นต์ ด้วยกลไกการย่อยสลายทางชีวภาพภายใต้สภาวะไร้อากาศ โดยใช้ระยะเวลา 48 ชั่วโมง และไม่พบกลไกการดูดซับโดยเซลล์

Chen *et al.* (2008) ศึกษาการกำจัดสีย้อม Crystal Violet ซึ่งเป็นสีย้อมประเภทเบสิกที่มีโครงสร้างแบบไตรฟีนิลมีเทน โดย *Shewanella* sp. NTOU1 ซึ่งเป็นแบคทีเรียที่คัดแยกได้จากระบบหล่อเย็นของโรงกลั่นน้ำมัน ผลการทดลองพบว่า แบคทีเรียชนิดนี้สามารถกำจัดสีย้อม Crystal Violet ความเข้มข้น 50 มิลลิกรัมต่อลิตร ได้ 100 เปอร์เซ็นต์ ภายใต้สภาวะไร้อากาศ ที่อุณหภูมิ 30-40 องศาเซลเซียส และ พีเอช 8-9 ด้วยกลไกการย่อยสลายทางชีวภาพและไม่พบกลไกการดูดซับโดยเซลล์ และสามารถกำจัดสีย้อมความเข้มข้นสูงสุด 1,500 มิลลิกรัมต่อลิตร ด้วยอัตราการกำจัดสีย้อม 298 มิลลิกรัมต่อลิตรต่อชั่วโมง

จากงานวิจัยดังกล่าวเห็นได้ว่าจุลินทรีย์หลายกลุ่มสามารถกำจัดสีย้อมได้ อย่างไรก็ตามการย่อยสลายสีย้อมภายใต้สภาวะไร้อากาศ โดยเฉพาะสีย้อมที่มีโครงสร้างแบบอะโซก่อให้เกิดสารก่อมะเร็ง (Ciullini *et al.*, 2008) การใช้จุลินทรีย์ในกลุ่มราขาวซึ่งจัดอยู่ในกลุ่มของจุลินทรีย์ที่ใช้ออกซิเจนเป็นทางเลือกหนึ่งที่น่าสนใจนำมาใช้ในการบำบัดน้ำเสียที่ปนเปื้อนสีย้อม เนื่องจากราขาวเป็นจุลินทรีย์ที่สามารถผลิตเอนไซม์ประเภทลิกนินโอไลติก (Ligninolytic enzyme) เช่น แลคเคส (Laccase) ลิกนินเปอร์ออกซิเดส (Lignin peroxidase) และแมงกานีสเปอร์ออกซิเดส (Manganese peroxidase) ซึ่งเป็นเอนไซม์ที่สามารถย่อยสลายและทำลายวงอะโรมาติก (Aromatic rings) ของสีย้อมด้วยกลไกการย่อยสลายแบบออกซิเดทีฟ (Oxidative degradation) ซึ่งตัวอย่างงานวิจัยการกำจัดสีย้อมโดยจุลินทรีย์ในกลุ่มราขาวมีดังนี้

Selvam *et al.* (2003) ศึกษาการกำจัดสีย้อม Orange G, Amido Black 10B ซึ่งเป็นสีย้อมประเภทแอซิดที่มีโครงสร้างแบบอะโซและ Congo Red ซึ่งเป็นสีย้อมประเภททริแอคทีฟที่มีโครงสร้างแบบอะโซโดย *Thelephora* sp. ผลการทดลองพบว่า ราขาวชนิดนี้สามารถกำจัดสีย้อม Orange G ความเข้มข้น 50 ไมโครโมลาร์ ได้ 33.3 เปอร์เซ็นต์ สีย้อม Amido Black 10B ความ

เข้มข้น 25 ไมโครโมลาร์ ได้ 98.8 เปอร์เซ็นต์ และสีย้อม Congo Red ความเข้มข้น 50 ไมโครโมลาร์ ได้ 97.1 เปอร์เซ็นต์ โดยการทำงานของเอนไซม์แลคเคส ลิกนินเปอร์ออกซิเดส และแมงกานีสเปอร์ออกซิเดส เป็นหลักโดยพบกลไกการดูดซับในกระบวนการกำจัดสีย้อมประมาณ 10 เปอร์เซ็นต์

Tychanowicz *et al.* (2004) ศึกษาการบำบัดน้ำเสียปนเปื้อนสีย้อม 8 ชนิด ได้แก่ สีย้อม Amido Black, Congo Red และ Trypan Blue ซึ่งเป็นสีย้อมที่มีโครงสร้างแบบอะโซ Methyl Green, Brilliant Cresyl Blue R, Methyl Violet และ Ethyl Violet ซึ่งเป็นสีย้อมที่มีโครงสร้างแบบไตรฟีนิลมีเทน และ Remazol Brilliant Blue ซึ่งเป็นสีย้อมที่มีโครงสร้างแบบแอนทราควิโนนโดย *Pleurotus pulmonarius* ผลการทดลองพบว่า ราขาวชนิดนี้สามารถกำจัดสีย้อมทั้ง 8 ชนิด ความเข้มข้น 200 ppm ได้ประมาณ 85 เปอร์เซ็นต์ ภายในระยะเวลา 6 วัน โดยการทำงานของเอนไซม์แลคเคสเป็นหลัก ซึ่งมีกิจกรรมเอนไซม์สูงสุด 480 ยูนิตต่อมิลลิลิตร ในวันที่ 6 และพบกลไกการดูดซับในกระบวนการกำจัดสีย้อมน้อยกว่า 10 เปอร์เซ็นต์

Levin *et al.* (2005) ศึกษาการกำจัดสีย้อม Ponceau 2R ซึ่งเป็นสีย้อมประเภทแอลิดที่มีโครงสร้างแบบไซลิดีน สีย้อม Malachite Green ซึ่งเป็นสีย้อมประเภทเบสิกที่มีโครงสร้างแบบไตรฟีนิลมีเทนและ Anthraquinone Blue ซึ่งเป็นสีย้อมประเภทรีแอคทีฟที่มีโครงสร้างแบบแอนทราควิโนนโดย *Trametes trogii* MYA 28-11 ผลการทดลองพบว่า ราขาวชนิดนี้สามารถกำจัดสีย้อม Ponceau 2R ความเข้มข้น 8.5 มิลลิกรัมต่อลิตร ด้วยอัตรา 2.14 ไมโครกรัมต่อมิลลิลิตรชั่วโมง โดยการทำงานของเอนไซม์แลคเคสเป็นหลัก และสามารถกำจัดสีย้อม Malachite Green ความเข้มข้น 2.7 มิลลิกรัมต่อลิตร ด้วยอัตรา 1.35 ไมโครกรัมต่อมิลลิลิตรชั่วโมง และ Anthraquinone Blue ความเข้มข้น 50 มิลลิกรัมต่อลิตร ด้วยอัตรา 3 มิลลิกรัมต่อมิลลิลิตรชั่วโมง โดยการทำงานของเอนไซม์แมงกานีสเปอร์ออกซิเดสเป็นหลักและไม่พบกลไกการดูดซับโดยเซลล์รา

Yu *et al.* (2006) ศึกษาการกำจัดสีย้อม Reactive Brilliant Red K-2BP ซึ่งเป็นสีย้อมประเภทรีแอคทีฟที่มีโครงสร้างแบบอะโซโดย *Phanerochaete chrysosporium* ผลการทดลองพบว่า ราขาวชนิดนี้สามารถกำจัดสีย้อม Reactive Brilliant Red K-2BP ความเข้มข้น 60 มิลลิกรัมต่อลิตร ได้ 71 เปอร์เซ็นต์ ภายในระยะเวลา 7 วัน ซึ่งเกิดจากการทำงานของเอนไซม์ลิกนินเปอร์ออกซิเดสที่มีกิจกรรมสูงสุด 197 ยูนิตต่อลิตร ในวันที่ 3 ของการกำจัดสีย้อมและไม่พบกลไกการดูดซับโดยเซลล์รา

Eichlerova *et al.* (2007) ศึกษาการกำจัดสีย้อม Orange G ซึ่งเป็นสีย้อมประเภทแอลิดที่มีโครงสร้างแบบอะโซและ Remazol Brilliant Blue R ซึ่งเป็นสีย้อมประเภทรีแอคทีฟที่มีโครงสร้าง

แบบแอนทราควิโนน โดย *Dichomitus squalens* ผลการทดลองพบว่า ราขาวชนิดนี้สามารถกำจัดสี ย้อม Orange G ความเข้มข้น 0.5 กรัมต่อลิตร ได้ 99 เปอร์เซ็นต์ และ Remazol Brilliant Blue R ความเข้มข้น 3 กรัมต่อลิตร ได้ 96 เปอร์เซ็นต์ ภายในระยะเวลา 14 วัน ซึ่งเกิดจากการทำงานของ เอนไซม์แลคเคสและแมงกานีสเปอร์ออกซิเดส และในวันที่ 10 พบกิจกรรมเอนไซม์สูงสุด เท่ากับ 0.012 และ 0.0042 ยูนิต์ต่อมิลลิลิตร ตามลำดับ และไม่พบการดูดซับโดยเซลล์รา

Revankar and Lele (2007) ศึกษาการกำจัดสีย้อม Amaranth ซึ่งเป็นสีย้อมที่มีโครงสร้าง แบบอะโซ โดย *Ganoderma* sp. WR-1 ผลการทดลองพบว่า ราขาวชนิดนี้สามารถกำจัดสีย้อม Amaranth ความเข้มข้น 100 ppm ได้ 96 เปอร์เซ็นต์ ภายในระยะเวลา 8 ชั่วโมง และเมื่อทดสอบ ความสามารถในการกำจัดสีย้อมปนเปื้อนในน้ำเสียจริงซึ่งประกอบด้วยสีย้อมประเภทรีแอคทีฟที่มี โครงสร้างต่างกันหลายชนิด ผลการทดลองพบว่า ราขาวชนิดนี้สามารถกำจัดสีย้อมได้ 100 เปอร์เซ็นต์ ภายในระยะเวลา 12 วัน โดยกลไกการย่อยสลายทางชีวภาพและไม่พบกลไกการดูดซับ โดยเซลล์รา

Saparrat *et al.* (2008) ศึกษาการกำจัดสีย้อม 12 ชนิด ได้แก่ Congo Red, Methyl Red และ Trypan Blue ซึ่งเป็นสีย้อมที่มีโครงสร้างแบบอะโซ Brilliant Green, Crystal Violet และ Fuchsin เป็นสีย้อมที่มีโครงสร้างแบบไตรฟีนิลมีเทน Bengal Rose, Eosin Y, Phloxine, Methylene Blue B, Neutral Red และ Toluidine Blue เป็นสีย้อมที่มีโครงสร้างแบบเฮเทอร์โรไซคลิก โดย *Grammothele subargentea* ผลการทดลองพบว่า ราขาวชนิดนี้สามารถกำจัดสีย้อมได้ทุกชนิด ที่ความเข้มข้น 0.01 เปอร์เซ็นต์น้ำหนักต่อปริมาตร ประมาณ 50 เปอร์เซ็นต์ ภายในระยะเวลา 21 วัน โดยการทำงานของ เอนไซม์แลคเคสเป็นหลัก ซึ่งพบกิจกรรมของเอนไซม์สูงสุดจากการกำจัดสีย้อม Brilliant Green เท่ากับ 292 มิลลิวินาทีต่อมิลลิลิตร ในวันที่ 15 ของการกำจัดสีย้อมโดยไม่พบกลไกการดูดซับบน เส้นใยรา

แม้ว่าปัจจุบันมีเทคโนโลยีการกำจัดสีย้อมทันสมัยมากขึ้นแต่การบำบัดน้ำเสียที่ปนเปื้อนสี ย้อมโดยราขาวยังคงได้รับความนิยมเนื่องจากมีจุดเด่นที่สำคัญคือ มีประสิทธิภาพในการกำจัดสีย้อมสูง ตลอดจนเป็นวิธีที่เป็นมิตรกับสิ่งแวดล้อม อย่างไรก็ตามราขาวที่ใช้ในกระบวนการบำบัดส่วนใหญ่ เป็นราขาวสายพันธุ์ที่พบในแถบยุโรปซึ่งเจริญที่อุณหภูมิต่ำเป็นผลให้ไม่เหมาะสมกับภูมิอากาศของ ประเทศแถบเอเชียตะวันออกเฉียงใต้ ดังนั้นงานวิจัยนี้จึงสนใจเลือก *Lentinus polychrous* Lév. ซึ่งเป็นจุลินทรีย์กลุ่มราขาวที่พบในประเทศไทย และมีรายงานพบว่าราชนิดนี้มีความสามารถในการ กำจัดสีย้อมได้อย่างมีประสิทธิภาพ

3. *Lentinus polychrous* Lév.

L. polychrous Lév. เป็นจุลินทรีย์ในกลุ่มราขาวซึ่งจัดจำแนกชนิดทางอนุกรมวิธานได้ดังนี้

Class Basidiomycetes

Sub-class Heterobasidiomycetes

Order Agaricales

Family Tricholomataceae

Genus *Lentinus*

Species *polychrous*

L. polychrous Lév. มีชื่อเรียกสามัญภาษาไทยหลายชื่อ ได้แก่ เห็ดลม เห็ดบด เห็ดกระด้าง ซึ่งชื่อเรียกที่ต่างกัมนั้นขึ้นกับแต่ละภูมิภาค นอกจากนี้ *L. polychrous* Lév. ยังเป็นเห็ดกินได้ พบบริเวณป่าแถบภาคเหนือและภาคตะวันออกเฉียงเหนือ ปัจจุบันมีการเพาะเห็ดชนิดนี้เพื่อการบริโภคมากขึ้น จังหวัดที่มีการเพาะมากที่สุด ได้แก่ แพร่ ขอนแก่น กาฬสินธุ์ ร้อยเอ็ด และชัยภูมิ เป็นต้น

3.1 ลักษณะวิทยา

Lentinus polychrous Lév. เป็นจุลินทรีย์ในกลุ่มราขาว เจริญเป็นเส้นใย (Mycelium) บนอาหารเลี้ยงเชื้อ เมื่อเส้นใยเจริญเต็มที่สามารถรวมตัวกันและแบ่งเซลล์ออกเป็นส่วนต่าง ๆ เช่น ก้านครีป หมวกดอก และดอกเห็ด (Basidiocarp) ซึ่งแต่ละส่วนมีขนาดและหน้าที่แตกต่างกัน โดยหมวกดอก (Pileus) มีขนาดประมาณ 4 – 20 เซนติเมตร แผ่นกว้างคล้ายพัด สีของดอกเห็ดเป็นสีน้ำตาลอ่อนถึงเข้มขึ้นอยู่กับสภาพภูมิอากาศและสายพันธุ์ ดังภาพที่ 1 ก้านดอก (Stalk) เป็นส่วนชูหมวกดอกและยึดติดกับวัสดุเพาะเลี้ยง มีขนาดประมาณ 0.3 – 1.6 เซนติเมตร ยาวตั้งแต่ 3.2 – 13.2 เซนติเมตร ครีป (Gills) คือส่วนที่เป็นเนื้อเยื่ออยู่ใต้หมวก ซึ่งมีหน้าที่สร้างสปอร์เพื่อการสืบพันธุ์ โดยทั่วไปเห็ดลมสามารถขึ้นเองตามธรรมชาติในสภาพอากาศร้อนชื้น เจริญได้ตั้งแต่อุณหภูมิ 15 – 32 องศาเซลเซียส และควรมีความชื้นในอากาศประมาณ 80 เปอร์เซ็นต์ และพีเอช ประมาณ 6.0 – 6.5 (Pegler, 1983)

3.2 การผลิตเอนไซม์ของ *L. polychrous* Lév.

เนื่องจาก *L. polychrous* Lév. เป็นจุลินทรีย์ในกลุ่มราขาว ที่เจริญได้ดีบนวัสดุธรรมชาติ เช่น ไม้ จี้เลื่อย และฟางข้าว ซึ่งเป็นวัสดุที่ประกอบด้วยสารลิกโนเซลลูโลส โดยรากรุ่นนี้จะสร้าง

เอนไซม์กลุ่มลิกนินโพลิติก เช่น ลิกนินเปอร์ออกซิเดส แมงกานีสเปอร์ออกซิเดส และแลคเคส ซึ่งสามารถย่อยสลายสารลิกโนเซลลูโลสได้ ด้วยเหตุผลนี้ราขาวจึงสามารถย่อยสลายสีข้อมซึ่งมีโครงสร้างคล้ายกับสารประกอบลิกโนเซลลูโลสโดยใช้กลไกหลักเดียวกับการย่อยสลายลิกโนเซลลูโลส อย่างไรก็ตามมีรายงานศึกษาเกี่ยวกับ *L. polychrous* Lév. ในเรื่องของปริมาณการผลิตเอนไซม์และการนำไปกำจัดสีข้อมเพียงเล็กน้อย ได้แก่



ภาพที่ 1 ดอกเห็ด *L. polychrous* Lév.

ที่มา: สำนักสารนิเทศ กระทรวงสาธารณสุข (2551)

Pukahuta *et al.* (2004) ศึกษาการผลิตเอนไซม์ของ *Lentinus* spp. 22 ไอโซเลท ผลการทดลองพบว่า *L. polychrous* Lév. 4 ไอโซเลท ได้แก่ *L. polychrous* Lév. LP-PT-1, *L. polychrous* Lév. LP-SW-3, *L. polychrous* Lév. LP-WR-13 และ *L. polychrous* Lév. LP-UD-1 สามารถผลิตเอนไซม์ไซแลนเนส (Xylanase) เซลลูเลส (Cellulase) และแลคเคส โดย *L. polychrous* Lév. LP-SW-3 ที่เจริญในอาหารเหลว *Fabraeus* ผสมฟางข้าว 2 เปอร์เซ็นต์ เป็นเวลา 7 วัน สามารถผลิตเอนไซม์ไซแลนเนสและแลคเคสได้สูงสุด โดยมีกิจกรรมเอนไซม์เท่ากับ 13.1 และ 3.27 มิลลิยูนิตต่อมิลลิลิตร ตามลำดับ

Khammuang and Sarnthima (2007) ศึกษาเอนไซม์แลคเคสที่ผลิตโดยก้อนเห็ด *L. polychrous* Lév. ที่เจริญในก้อนเห็ดใช้แล้ว ผลการทดลองพบว่า สภาวะที่เหมาะสมของการทำงานเอนไซม์ชนิดนี้ คือ พีเอช 3 อุณหภูมิ 55 องศาเซลเซียส และเมื่อทำให้บริสุทธิ์พบ

เอนไซม์ปริมาณ 18.5 เปอร์เซ็นต์ มีมวลโมเลกุล 32 กิโลดาลตัน และจากการทดสอบความสามารถในการกำจัดสีย้อม Remazol Brilliant Blue R ซึ่งเป็นสีย้อมประเภทรีแอคทีฟที่มีโครงสร้างแบบแอนทราควิโนน ความเข้มข้น 5 มิลลิกรัมต่อลิตร โดยเอนไซม์ที่ทำให้บริสุทธิ์ พบว่า สามารถกำจัดสีย้อมได้ 66 เปอร์เซ็นต์ ภายในระยะเวลา 3.5 ชั่วโมง ที่พีเอช 4

ปัทมา (2551) ศึกษาสภาวะที่เหมาะสมสำหรับการกำจัดสีย้อม Remazol Brilliant Blue R ซึ่งเป็นสีย้อมรีแอคทีฟที่มีโครงสร้างแบบแอนทราควิโนน ความเข้มข้น 100 มิลลิกรัมต่อลิตร โดย *L. polychrous* Lév. ที่ผ่านการทำให้แห้งแบบฟลูอิดไรเซชัน โดยแปรผันพีเอชของอาหารเลี้ยงเชื้อ และความเร็วรอบในการเลี้ยง ผลการทดลองพบว่า ราอายุ 5 วันสามารถกำจัดสีย้อมได้ดีที่สุดที่พีเอช 4 และความเร็วรอบ 250 รอบต่อนาที โดยสามารถกำจัดสีย้อมได้มากกว่า 90 เปอร์เซ็นต์และใช้ระยะเวลาการกำจัดสีย้อมรวม 99 ชั่วโมง ด้วยการทำงานของเอนไซม์แลคเคสและแมงกานีสเปอร์ออกซิเดส และพบกลไกการดูดซับประมาณ 5 เปอร์เซ็นต์ อย่างไรก็ตาม Chitprasert *et al.* (2011) พบว่า เมื่อรามิอายุมากขึ้นจะสามารถกำจัดสีย้อมได้เร็วขึ้นโดยราอายุ 17 วัน สามารถกำจัดสีย้อมได้เร็วที่สุด และเมื่อทดสอบความเป็นพิษของน้ำสี พบว่า น้ำสีที่ผ่านการบำบัดโดย *L. polychrous* Lév. มีความเป็นพิษลดลง เนื่องจากรากของข้าวโพดและผักบุ้งจีนที่เลี้ยงโดยน้ำสีหลังการบำบัดเจริญได้ดีกว่าในน้ำสีก่อนการบำบัดซึ่งอาจเป็นผลมาจากโครงสร้างของสีย้อมที่เป็นวงอะโรมาติกถูกเอนไซม์ย่อยสลายทำให้สีย้อมมีความเป็นพิษลดลง

Suwannawong *et al.* (2010) ศึกษาการกำจัดสีย้อม Rhodamine B ซึ่งเป็นสีย้อมประเภทเบสิก และ Congo Red เป็นสีย้อมประเภทรีแอคทีฟ โดยเอนไซม์แลคเคสที่ทำให้บริสุทธิ์บางส่วน (Partial Purified Laccase) ที่ผลิตจาก *L. polychrous* Lév. ผลการทดลองพบว่า เอนไซม์แลคเคสสามารถกำจัดสีย้อม Rhodamine B ได้ประมาณ 90 เปอร์เซ็นต์ ใช้เวลาประมาณ 52 ชั่วโมง ที่พีเอช 4 – 5 และอุณหภูมิ 50 องศาเซลเซียส โดยสามารถกำจัดสีย้อม Congo red ได้มากกว่า 75 เปอร์เซ็นต์ ภายในระยะเวลา 3 ชั่วโมง ที่พีเอช 6 – 7 อุณหภูมิ 30 องศาเซลเซียส

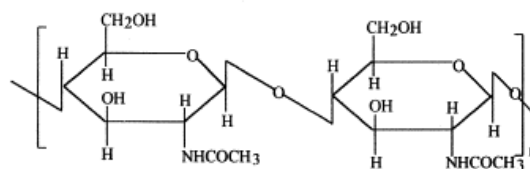
ข้อมูลข้างต้นทำให้เห็นว่า *L. polychrous* Lév. เป็นราที่มีประสิทธิภาพในการกำจัดสีย้อม โดยสามารถผลิตเอนไซม์ได้หลากหลายชนิด โดยเฉพาะเอนไซม์แลคเคส อย่างไรก็ตามการกำจัดสีย้อมโดยรามิข้อด้อยในเรื่องการใช้ระยะเวลาในการกำจัดสีย้อมนานเมื่อเปรียบเทียบกับกระบวนการทางกายภาพหรือเคมี เช่น การดูดซับหรือการออกซิเดชัน แต่วิธีการเหล่านี้มีข้อเสียเช่นกันคือ กระบวนการทางเคมีอาจก่อให้เกิดสารใหม่ที่มีพิษมากขึ้น ส่วนการดูดซับเป็นวิธีการที่ทำให้สีย้อมเกาะติดบริเวณพื้นผิวของวัสดุที่เป็นตัวดูดซับแต่ไม่สามารถเปลี่ยนแปลงโครงสร้างสีย้อมได้ อย่างไรก็ตามวิธีการนี้มีข้อดีในแง่ของการใช้ระยะเวลาดำเนินการสั้นและไม่ยุ่งยากซับซ้อน

(Robinson *et al.*, 2001; Forgacs *et al.*, 2004) ดังนั้นเมื่อพิจารณาจากข้อดีด้านระยะเวลาการกำจัด สีย้อมของร งานวิจัยนี้จึงมีแนวคิดประยุกต์ใช้วิธีทางกายภาพร่วมกับวิธีทางชีวภาพโดยการเคลือบ สารที่มีความสามารถในการดูดซับบนเมล็ดรา โดยคาดว่ากระบวนการดูดซับสามารถช่วยให้สีย้อมมา สะสมบริเวณเส้นใยราทำให้เอนไซม์ที่ปล่อยออกทางปลายเส้นใยสัมผัสกับสีย้อมได้เร็วขึ้นส่งผลให้ ราสามารถกำจัดสีย้อมได้เร็วมากขึ้น

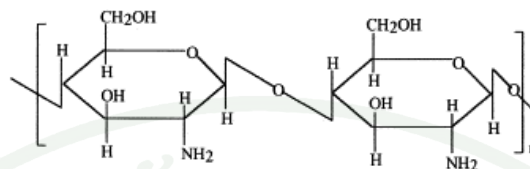
4. ไคโตซาน

ไคโตซานเป็นอนุพันธ์ของไคตินซึ่งเป็นสารโพลีเมอร์ธรรมชาติระหว่างโมโนเมอร์ของ N-acetyl-D-glucosamine และ D-glucosamine โดยไคโตซานมีส่วนของโมโนเมอร์ที่สง มากกว่า 50 เปอร์เซ็นต์ และมีสูตรทางเคมี คือ Poly[β -(1 \rightarrow 4)-2-amino-2-deoxy-D-glucopyranose] ซึ่งเกิดจากการกำจัดหมู่อะซีติล (-COCH₃) ของไคตินแล้วเปลี่ยนเป็นหมู่เอมิโน (-NH₂) ที่คาร์บอนตำแหน่งที่ 2 ดังนั้นโครงสร้างทางเคมีของไคโตซานจึงคล้ายกับไคตินดังภาพที่ 2 (Rinaudo, 2006)

ไคโตซานสามารถสกัดจากเปลือกของสัตว์ต่าง ๆ เช่น กุ้ง ปู หมึก หอย แมลง และผนัง เซลล์จุลินทรีย์ เช่น รา และยีสต์ เป็นต้น ซึ่งเป็นแหล่งที่มีปริมาณไคตินเป็นองค์ประกอบสูง ไคโตซานเป็นโพลีเมอร์สายยาวมีคุณสมบัติไม่ละลายน้ำแต่สามารถละลายได้ในสารละลายกรด อินทรีย์ เช่น กรดน้ำส้ม (Acetic acid) กรดมะนาว (Citric acid) และกรดแลคติก (Lactic acid) เป็นต้น มีค่า pKa อยู่ในช่วง 6.2 – 6.5 (Pepic *et al.*, 2008) ดังนั้นเมื่อไคโตซานอยู่ในสภาวะพีเอชเป็น กรดไคโตซานแสดงประจุเป็นบวกเนื่องจากหมู่เอมิโน (-NH₂) ได้รับโปรตอนจึงสามารถ เปลี่ยนเป็น Cationic amine (-NH₃⁺) แต่ไคโตซานไม่ละลายเมื่ออยู่ในสภาวะพีเอชที่มากกว่า pKa นอกจากนี้สารละลายไคโตซานสามารถขึ้นรูปได้หลายแบบ เช่น แผ่นเยื่อบาง เจล เม็ด เส้นใย หรือ ทำเป็นสารเคลือบ เป็นต้น เนื่องจากเป็นสารที่มีความยืดหยุ่นสูง และสามารถย่อยสลายได้ตาม ธรรมชาติและไม่เป็นพิษต่อสิ่งมีชีวิต จากคุณสมบัติที่หลากหลายทำให้ไคโตซานถูกนำไป ประยุกต์ใช้ประโยชน์ในงานด้านต่าง ๆ มากมาย เช่น ด้านอาหาร และการถนอมอาหาร ด้านบรรจุ ภัณฑ์ ด้านการเกษตร ด้านการแพทย์และเภสัชกรรม ด้านเครื่องสำอาง ด้านสิ่งทอและกระดาษ ด้าน ระบบบำบัดน้ำ และด้านเทคโนโลยีชีวภาพ เป็นต้น (Kumar, 2000; Shukla *et al.*, 2013)



Chitin



Chitosan

ภาพที่ 2 โครงสร้างของไคตินและไคโตซาน

ที่มา: Kumar (2000)

เนื่องจากคุณสมบัติของไคโตซานที่สามารถแสดงประจุเป็นบวกได้ในสภาวะกรดดังนั้นจึงสามารถจับกับสารที่มีประจุเป็นลบได้ เช่น สีย้อมรีแอคทีฟ และพอลิเมอร์ต่าง ๆ นอกจากนี้ไคโตซานยังสามารถจับโลหะหนัก เช่น ทองแดง เหล็ก และสังกะสีได้ เนื่องจากไนโตรเจนอะตอมในหมู่เอมิโนของไคโตซานสามารถสร้างพันธะระหว่างโลหะหนักในหลายรูปแบบ เช่น พันธะไอออนิก พันธะโควาเลนต์ และแรงไฟฟ้าสถิตย์ เป็นต้น จากคุณสมบัติดังกล่าวจึงทำให้ไคโตซานเป็นพอลิเมอร์ที่ทำหน้าที่เป็นตัวดูดซับ (adsorbent) และนำมาใช้ในการบำบัดน้ำเสียที่ปนเปื้อนโลหะหนักและสีย้อมอย่างแพร่หลายโดยเฉพาะสีย้อมรีแอคทีฟซึ่งมีประจุเป็นลบ (Anionic Reactive dye) และมีงานวิจัยที่นำไคโตซานไปใช้เป็นตัวดูดซับสีย้อมอย่างแพร่หลาย ดังเช่น

Chiou *et al.* (2004) ศึกษาการดูดซับสีย้อมซึ่งมีประจุเป็นลบโดยไคโตซานในรูปแบบเม็ดที่เชื่อมไขว้ (Cross-link) ด้วยโซเดียมไตรโพลิฟอสเฟต โซเดียมไฮดรอกไซด์ และ Epichlorohydrin ซึ่งขนาดเม็ดไคโตซานที่ใช้ในการทดลองมีเส้นผ่าศูนย์กลาง 2.3 – 2.5 มิลลิเมตร การทดลองแปรผันพีเอชของน้ำตั้งแต่ 3 – 8 และใช้สีย้อมทั้งหมด 8 สี โดยเป็นสีย้อมรีแอคทีฟจำนวน 4 สี ได้แก่ Reactive blue 2, Reactive red 2, Reactive yellow 2 และ 86 สีย้อมแอซิดจำนวน 3 สี คือ Acid red 14, Acid orange 7 และ 12 และ สีย้อมไดเรกต์ 1 สี คือ Direct red 81 ผลการทดลองพบว่า เม็ดไคโตซานสามารถดูดซับสีย้อมได้ 1,911 – 2,498 กรัมต่อกิโลกรัม และเมื่อเปรียบเทียบความสามารถการดูดซับกับถ่านกัมมันต์ (Activated Carbon) เม็ดไคโตซานสามารถดูดซับได้สูงกว่า 3.4 – 15 เท่า และพบว่าประสิทธิภาพของการดูดซับจะสูงขึ้นเมื่อพีเอชลดต่ำลงโดยที่พีเอช 3 สามารถดูดซับสีย้อมได้ดีที่สุดคือ

Sakkayawong *et al.* (2005) ศึกษาการดูดซับสีย้อม Reactive red 141 ซึ่งเป็นสีย้อมประเภทรีแอคทีฟที่มีโครงสร้างแบบอะโซ โดยไคโตซานที่มีขนาด 0.850 – 1.0 มิลลิเมตร การทดลองแปรผันพีเอชของน้ำสีตั้งแต่ 2 – 11 และใช้สีย้อมความเข้มข้นเริ่มต้น 400 มิลลิกรัมต่อลิตร ผลการทดลองพบว่า ไคโตซานสามารถดูดซับสีย้อมมากกว่า 95 เปอร์เซ็นต์ โดยใช้กลไกการดูดซับด้วยแรงไฟฟ้าสถิตย์ระหว่างหมู่อะมิโนของไคโตซานและหมู่ซัลโฟเนตของสีรีแอคทีฟภายใต้สภาวะกรด (พีเอช 2 – 5) และใช้กลไกการดูดซับจากการสร้างพันธะโควาเลนต์ระหว่างหมู่ไฮดรอกซิลของไคโตซานและหมู่คลอไรด์ของสีรีแอคทีฟภายใต้สภาวะเบส (พีเอช 8 – 11)

Annadurai *et al.* (2008) ศึกษาการดูดซับสีย้อม Reactive black 5 ซึ่งเป็นสีย้อมประเภทรีแอคทีฟที่มีโครงสร้างแบบอะโซ โดยไคโตซานที่ผ่านการอบแห้งที่อุณหภูมิ 70 องศาเซลเซียสและคัดขนาดจนกระทั่งไคโตซานมีขนาดอนุภาคต่างกัน 3 ระดับ การทดลองแปรผันความเข้มข้นของสีย้อมเริ่มต้นเป็น 100 – 300 มิลลิกรัมต่อลิตร แปรผันขนาดของไคโตซานเป็น 0.177, 0.384 และ 1.651 มิลลิเมตร แปรผันพีเอชน้ำสีเป็น 6.7 – 9 และแปรผันอุณหภูมิของระบบเป็น 30 – 60 องศาเซลเซียส ผลการทดลองพบว่า ไคโตซานสามารถดูดซับสีย้อมได้ 91.47 – 130 มิลลิกรัมต่อกรัม ที่พีเอชน้ำสีเท่ากับ 6.7 และพบว่าการดูดซับเกิดจากการทำงานของหมู่อะมิโนของไคโตซานจับกับสีย้อมด้วยแรงไฟฟ้าสถิตย์

Momenzadeh *et al.* (2011) ศึกษาการกำจัดสีย้อม Reactive red 120 ซึ่งเป็นสีย้อมประเภทรีแอคทีฟที่มีโครงสร้างแบบอะโซ โดยไคโตซานซึ่งเชื่อมไขว้ด้วยโซเดียมไตรโพลีฟอสเฟตและปั่นผสมที่ 10,000 รอบต่อนาที จนกระทั่งได้ไคโตซานในรูปแบบของ Nanodispersion ซึ่งมีขนาดเม็ดเฉลี่ย 86 นาโนเมตร การทดลองแปรผันพีเอชเริ่มต้นตั้งแต่ 2.5 – 7.5 โดยทำการทดลองเปรียบเทียบความสามารถการดูดซับสีระหว่างสารละลายไคโตซานซึ่งเตรียมโดยละลายไคโตซานในสารละลายกรดอะซิติกความเข้มข้น 0.5 เปอร์เซ็นต์และ Nanodispersion ผลการทดลองพบว่า Nanodispersion มีความสามารถในการดูดซับสีย้อมได้ประมาณ 910 มิลลิกรัมต่อกรัม ซึ่งสูงกว่าสารละลายไคโตซาน 18 เท่า เนื่องจากในระหว่างการเติมสีย้อมลงในไคโตซานแต่ละประเภท Nanodispersion เกิดการรวมตัวอย่างรวดเร็วเป็นกลุ่มซึ่งมีประจุบวกสูงจึงสามารถดูดซับสีย้อมได้สูงและการดูดซับสีย้อมสูงที่สุดที่ช่วงพีเอช 4 – 5 เนื่องจากเป็นช่วงพีเอชที่ต่ำกว่า 6.5 ซึ่งเท่ากับ pKa ของไคโตซาน จึงทำให้ไคโตซานแสดงประจุเป็นบวกซึ่งสามารถจับกับสีย้อมรีแอคทีฟที่มีประจุลบด้วยแรงไฟฟ้าสถิตย์

Jiang *et al.* (2014) ศึกษาการดูดซับสีย้อม Reactive blue 19 ซึ่งเป็นสีย้อมประเภทรีแอคทีฟที่มีโครงสร้างแบบแอนทราควิโนน โดยไคโตซานในรูปแบบที่ถูกดัดแปรด้วยวิธี Graft

Copolymerization โดยผสมสาร Methyl Methacrylate และ Glycidyl Methacrylate เพื่อสร้างเป็น เม็ดโคโตนาคัดแปร การทดลองแปรผันความเข้มข้นของสีเริ่มต้นเป็น 40, 70 และ 100 มิลลิกรัม ต่อลิตร และแปรผันพีเอชเป็น 3 และ 7 ผลการทดลองพบว่า เม็ดโคโตนาคัดแปรมีความสามารถ การดูดซับสูงสุดเท่ากับ 1,498 มิลลิกรัมต่อกรัม ที่พีเอช 3 และพบว่า ที่สภาวะพีเอชสูงขึ้นช่วยให้ การดูดซับสีมากขึ้น เนื่องด้วยที่พีเอชต่ำกว่า 3 สีย้อม Reactive blue 19 มีประจุลบลดลงจึงส่งผลให้ โคลโคโตนาคัดแปรที่มีประจุเป็นบวกจับกับสีย้อมด้วยแรงไฟฟ้าสถิตย์ได้น้อยลง

งานวิจัยข้างต้นทำให้เห็นว่าโคโตนาคัดแปรสามารถดูดซับสีย้อมรีแอคทีฟได้อย่างมีประสิทธิภาพโดยสามารถใช้งานโคโตนาคัดแปรได้ในหลายรูปแบบ เช่น ผง เม็ด เม็ดเจล หรือการเคลือบ ติโคโตนาคัดแปรบนวัสดุ เป็นต้น จากลักษณะของโคโตนาคัดแปรที่สามารถใช้ได้หลายรูปแบบ งานวิจัยนี้จึง เลือกลงใช้โคโตนาคัดแปรบนเม็ดทรายเพื่อเพิ่มประสิทธิภาพการกำจัดสีย้อม

5. การเก็บรักษาเชื้อราโดยการทำให้แห้งแบบฟลูอิดซ์เบด

การเก็บรักษาเชื้อรามีหลายวัตถุประสงค์ เช่น เพื่อการศึกษาค้นคว้า เพื่อใช้ในอุตสาหกรรม เพื่อนำมาใช้ในการเรียน หรือเป็นการเก็บรวบรวมเพื่อนำมาเปรียบเทียบ โดยหลักการสำคัญของการเก็บรักษาเชื้อรา คือ การหยุดหรือลดการเจริญโดยควบคุมปัจจัยที่จำเป็นต่อการเจริญ โดยเฉพาะ ความชื้น ซึ่งการทำแห้งเป็นวิธีการเก็บรักษาเชื้อราวิธีหนึ่ง โดยใช้หลักการดึงน้ำออกและป้องกัน ไม่ให้เกิดความชื้นขึ้นอีก ซึ่งถือเป็นวิธีการที่เหมาะสมกับเชื้อราเป็นอย่างดีเนื่องจากเชื้อราเป็น จุลินทรีย์ที่ทนต่อความแห้งได้ดี (สมบูรณ์, 2539)

การทำแห้งแบบฟลูอิดซ์เบดเป็นวิธีการทำแห้งที่ทำให้อนุภาคที่อยู่บนตะแกรงของหอ ทดลองเกิดการเคลื่อนที่ในลักษณะเหมือนของไหลภายในหอทดลอง โดยการผ่านของไหลซึ่ง อาจจะเป็นลมร้อนหรือของเหลวจากด้านล่างของตะแกรงที่มีอนุภาคของแข็งวางอยู่ และเมื่อเพิ่ม ความเร็วของของไหลขึ้นเรื่อย ๆ จะส่งผลให้อนุภาคของแข็งเคลื่อนไหวยลอยตัวอยู่ในหอทดลอง อย่างอิสระ (จันทนา, 2546)

เนื่องจากหลักการสำคัญของการเก็บรักษาเชื้อราคือการควบคุมปัจจัยในการเจริญ โดยเฉพาะ ความชื้น การทำให้แห้งแบบฟลูอิดซ์เบดเป็นวิธีการทำแห้งวิธีหนึ่งที่มีอุณหภูมิในการทำแห้งต่ำ และมีระยะเวลาในการทำแห้งสั้นทำให้อัตราการรอดชีวิตของราสูงเนื่องจากความเร็วอาจทำลาย ผนังเซลล์ราได้น้อยเมื่อเปรียบเทียบกับวิธีการทำแห้งด้วยวิธีอื่น นอกจากนี้การทำแห้งแบบฟลูอิดซ์เบดมีขั้นตอนไม่ซับซ้อนและประหยัดพลังงานอีกด้วย (Chitprasert *et al.*, 2011) ในแง่ของการ

ใช้งานราแห้งช่วยเพิ่มความสะดวกในการขนส่งช่วยลดการปนเปื้อนจากจุลินทรีย์ชนิดอื่นและช่วยเพิ่มอายุการเก็บรักษาได้ อย่างไรก็ตามเชื้อแห้งมีข้อเสียในเรื่องของความไม่พร้อมใช้งานจึงอาจจำเป็นต้องเพิ่มขึ้นต้นทุนการเจริญของเชื้อแห้งก่อนนำไปใช้ซึ่งปัจจุบันมีงานที่ศึกษาการทำแห้งเส้นใยราน้อยมาก

ปัทมา (2551) ศึกษาการทำแห้ง *L. polychrous* Lév. แบบฟลูอิดไรซ์เบด ที่อุณหภูมิ 50 องศาเซลเซียส เป็นระยะเวลา 5 นาที เพื่อนำไปทดสอบความสามารถกำจัดสีย้อม Remazol Brilliant Blue R ความเข้มข้น 100 มิลลิกรัมต่อลิตร และประเมินอายุการเก็บรักษา โดยแปรผันอายุการกักเก็บแห้งเป็น 3, 5 และ 7 วัน ผลการทดลองพบว่า อายุของราที่เหมาะสมที่สุดคือ 5 และพบว่า ราแห้งยังคงสามารถกำจัดสีย้อมได้แต่เมื่อเปรียบเทียบกับราสดระยะเวลาการกำจัดสีย้อมรวมของราแห้งจะมากกว่า และเมื่อราแห้งได้รับการกระตุ้นจากอาหาร Mushroom Complete Medium เป็นเวลา 36 ชั่วโมงพบว่า ราแห้งจะสามารถกำจัดสีย้อมโดยใช้ระยะเวลาการกำจัดสีย้อมรวม ใกล้เคียงกับราสดเท่ากับ 90 ชั่วโมง นอกจากนี้พบว่า ราแห้งที่อายุการเก็บรักษา 6 เดือน ยังคงความสามารถกำจัดสีย้อมได้แต่ต้องกระตุ้นการเจริญเป็นระยะเวลา 6 วัน จึงจะสามารถกำจัดสีย้อมโดยใช้ระยะเวลา ใกล้เคียงราสด

จากงานวิจัยที่กล่าวมาทั้งหมดข้างต้นเห็นได้ว่า *L. polychrous* Lév. เป็นจุลินทรีย์ที่สามารถกำจัดสีย้อมได้อย่างมีประสิทธิภาพแต่มีข้อด้อยด้านการมีระยะเวลาการกำจัดสีย้อมที่นาน การประยุกต์ใช้ไคโตซานซึ่งเป็นพอลิเมอร์ธรรมชาติเป็นสารเคลือบบนเมล็ดราเพื่อเพิ่มกลไกการดูดซับสีย้อมบนเมล็ดรา โดยคาดว่าสามารถทำให้ลดระยะเวลาการกำจัดสีย้อมลงได้ อย่างไรก็ตามราสดมีความไม่สะดวกในการใช้งานและการเก็บรักษา การทำแห้งราแบบฟลูอิดไรซ์เบดจึงเป็นทางเลือกหนึ่งที่ย่างและสะดวกอีกทั้งยังมีระยะเวลาการทำแห้งสั้นและอุณหภูมิทำแห้งต่ำทำให้รามีอัตราการรอดชีวิตสูงกว่าวิธีทำแห้งแบบอื่น ดังนั้นงานวิจัยนี้จึงสนใจศึกษาการกำจัดสีย้อมรีแอกทีฟผสมโดย *L. polychrous* Lév. ที่เคลือบด้วยไคโตซานและผ่านการทำแห้งแบบฟลูอิดไรซ์เบด

อุปกรณ์และวิธีการ

อุปกรณ์

1. เครื่องมือ

- 1.1 หม้อนึ่งความดันไอน้ำ (ES-315, Tomy, Japan)
- 1.2 เครื่องกรองสุญญากาศ (SUE 30E, SUE Heto, Denmark)
- 1.3 เครื่องไมโครเซนตริฟิวจ์ (Z323, Hermel, Germany)
- 1.4 เครื่องวัดค่าการดูดกลืนแสง (UVG 111607, Hexios, England)
- 1.5 ตู้เขี่ยเชื้อ (HVS 60, Boss Tech, Thailand)
- 1.6 เครื่องวัดพีเอช (S220, Mettler Toledo, Switzerland)
- 1.7 อ่างน้ำควบคุมอุณหภูมิ (NE1-14CE, Clifton, England)
- 1.8 เครื่องเขย่าแบบควบคุมอุณหภูมิ (VS-8480 SFN, Vision Scientific, Korea)
- 1.9 เครื่องทำแห้งแบบฟลูอิดไรซ์เบด (6 MAS 1009, Sherwood Scientific, England) พร้อม
ด้วยแผ่นกรองอากาศขนาด 0.1 ไมโครเมตร (Filtrate, 3M, Thailand)
- 1.10 ตู้อบแห้ง (VS-120 2D4N, Vision Scientific, Korea)
- 1.11 กล้องจุลทรรศน์อิเล็กตรอนแบบส่องกราด (JSM-5410LV, Jeol, Japan)
- 1.12 เครื่องเคลือบทอง (Balzers SCD 040, Balzers Union, Liechtenstein)
- 1.13 เครื่องทำแห้ง ณ จุดวิกฤต (Balzers CPD 020, Balzers Union, Liechtenstein)
- 1.14 เครื่องฟูเรียร์ทรานฟอร์มอินฟราเรดสเปกโทรสโกปี (Tensor 27, Bruker, Germany)

2. อาหารเลี้ยงเชื้อ *Lentinus polychrous* Lév.

อาหารเลี้ยงเชื้อ *Lentinus polychrous* Lév. 3 ชนิด โดยองค์ประกอบแสดงในภาคผนวก ก
ได้แก่

- 2.1 Potato Dextrose Agar (PDA, Merck, Germany)
- 2.2 Mushroom Complete Medium (MCM) (เป็ทมา, 2551)
- 2.3 Minimal Medium (MM) (เป็ทมา, 2551)

3. ไคโตซาน

ไคโตซานประเภทผงซึ่งมีมวลโมเลกุล 30 กิโลดาลตัน และมี Degree of Deacetylation 95 เปอร์เซ็นต์ จากบริษัท ไบโอ 21 จำกัด จ. ชลบุรี ประเทศไทย

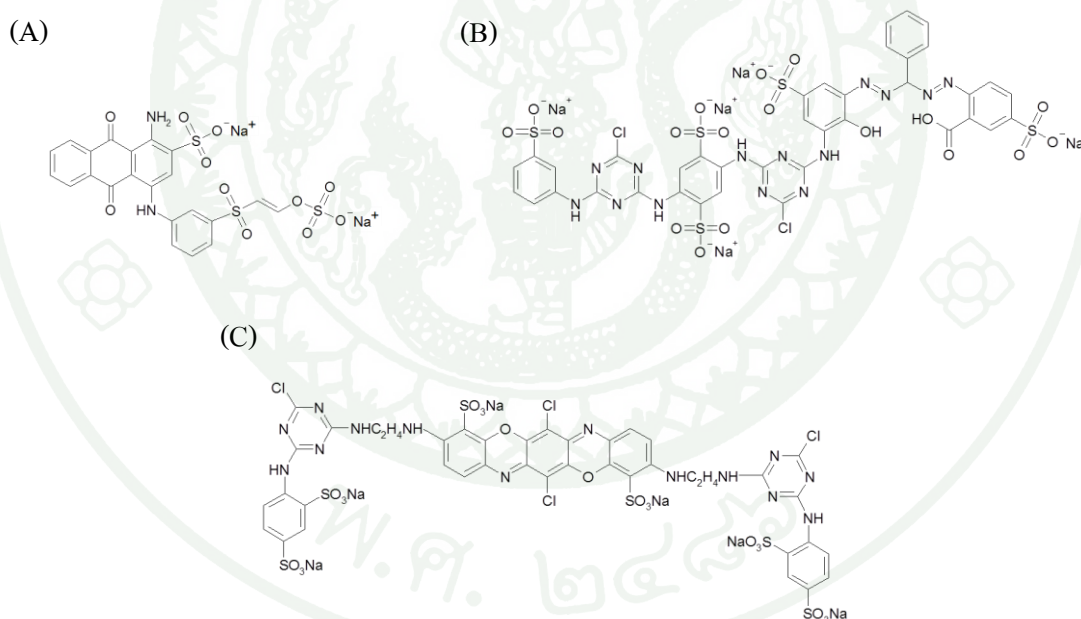
4. สีย้อมสังเคราะห์

สีย้อมสังเคราะห์ซึ่งเป็นสีย้อมประเภทรีแอคทีฟได้รับความอนุเคราะห์จากบริษัท ไคสตาร์ ไทย จำกัด โดยโครงสร้างของสีย้อมทั้งหมดแสดงดังภาพที่ 3

4.1 Remazol Brilliant Blue R (Reactive Blue 19, RB 19)

4.2 Procion Blue HERD (Reactive Blue 160, RB 160)

4.3 Procion Blue HEGN (Reactive Blue 198, RB 198)



ภาพที่ 3 โครงสร้างสีย้อม (A) RB19 มีโครงสร้างแบบ Anthraquinone; (B) RB160 มีโครงสร้างแบบ Azo; (C) RB198 มีโครงสร้างแบบ Triphenyldioxazine

ที่มา: (A) Champagne *et al.* (2010); (B) Bansal and Sud (2011); (C) Almeida *et al.* (2006)

5. จุลินทรีย์

Lentinus polychrous Lév. จากศูนย์รวบรวมพันธุ์เห็ดแห่งประเทศไทย กรมวิชาการเกษตร กระทรวงเกษตรและสหกรณ์ เก็บรักษาบนอาหาร PDA ที่อุณหภูมิ 4 องศาเซลเซียส และต่อเชื้อทุก 1 เดือน

วิธีการ

1. การเลี้ยง *L. polychrous* Lév. บนอาหารขี้เลื่อย

การเลี้ยง *L. polychrous* Lév. บนอาหารขี้เลื่อย คัดแปลงวิธีจากงานวิจัยของปีทมา (2551) ด้วยการถ่ายเชื้อเริ่มต้นที่เก็บรักษาบนอาหารเลี้ยงเชื้อ PDA โดยใช้แท่งเจาะรูเส้นผ่านศูนย์กลาง 10 มิลลิเมตร ตัดส่วนปลายเส้นใยแล้ววางบนกลางจานเพาะเชื้อที่บรรจุอาหารเลี้ยงเชื้อ MCM บ่มที่อุณหภูมิ 30 องศาเซลเซียส เป็นเวลา 7 วัน เพื่อกระตุ้นการเจริญ จากนั้นถ่ายเชื้อโดยใช้แท่งเจาะรูขนาดเดิมตัดส่วนปลายเส้นใยจากบริเวณริมขอบจำนวน 8 plugs ลงขวดรูปชมพู่ขนาด 250 มิลลิลิตร ซึ่งบรรจุอาหารขี้เลื่อยไม้ยางพาราที่มีขนาดขี้เลื่อย 0.250 – 0.425 มิลลิเมตร ซึ่งผ่านการฆ่าเชื้อที่อุณหภูมิ 121 องศาเซลเซียส นาน 30 นาที ปริมาณ 5 กรัม โดยปรับความชื้นของอาหารเป็น 60 เปอร์เซ็นต์ ด้วยน้ำกลั่น จากนั้นบดขี้เลื่อยที่มีราเกาะด้วย spatula ให้ละเอียดและคลุกผสมให้เข้ากับอาหารขี้เลื่อย บ่มที่อุณหภูมิ 30 ± 1 องศาเซลเซียส เป็นระยะเวลา 7 วัน และคลุกผสมทุกวัน

2. การเคลือบ *L. polychrous* Lév. ด้วยสารละลายไคโตซาน

เตรียมสารละลายไคโตซานที่แปรผันความเข้มข้นเป็น 0.1, 0.5 และ 1.0 เปอร์เซ็นต์น้ำหนักต่อปริมาตร โดยละลายผงไคโตซานในสารละลายกรดอะซิติกความเข้มข้น 0.6 เปอร์เซ็นต์ และปรับพีเอชของสารละลายไคโตซานเป็น 6.0 ด้วยสารละลายโซเดียมไฮดรอกไซด์ความเข้มข้น 1 โมลาร์ จากนั้นเทสารละลายไคโตซานปริมาตร 100 มิลลิลิตร ลงในขวดรูปชมพู่ซึ่งบรรจุราที่เลี้ยงบนอาหารขี้เลื่อยเป็นเวลา 7 วัน ปริมาณ 10 กรัม ทำการเคลือบราโดยใช้เครื่องเขย่าความเร็วรอบ 100 รอบต่อนาที อุณหภูมิ 30 ± 1 องศาเซลเซียส เป็นระยะเวลา 40 นาที และกรองราด้วยกระดาษกรอง Whatman No.1

3. การทำแห้ง *L. polychrous* Lév. แบบฟลูอิดซ์เบด

ทำแห้งราที่ผ่านการเคลือบด้วยโคโตซานความเข้มข้นต่าง ๆ ปริมาณ 10 กรัม ด้วยเครื่องทำแห้งแบบฟลูอิดซ์เบด โดยสภาวะการทำแห้ง คือ อุณหภูมิ 40 ± 1 องศาเซลเซียส ความเร็วลม 1.85 เมตรต่อวินาที และระยะเวลาทำแห้ง 5 นาที จากนั้นนำราเคลือบด้วยโคโตซานและผ่านการทำแห้งแบบฟลูอิดซ์เบดไปทดสอบความสามารถการกำจัดสปอร์และสมบัติต่าง ๆ ต่อไป

4. การศึกษาอิทธิพลของการเคลือบ *L. polychrous* Lév. ด้วยโคโตซานและผ่านการทำแห้งแบบฟลูอิดซ์เบดต่อสมบัติต่าง ๆ ของรา

4.1 การวิเคราะห์พื้นผิวราที่เคลือบด้วยโคโตซานด้วยกล้องจุลทรรศน์อิเล็กตรอนแบบส่องกราด (Scanning Electron Microscope, SEM)

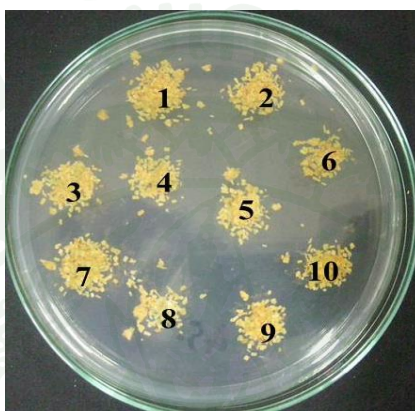
วิเคราะห์พื้นผิวเม็คราก่อนการกำจัดสปอร์โดยตัวอย่าง คือ เม็คราที่ไม่เคลือบด้วยโคโตซานและเม็คราที่เคลือบด้วยโคโตซานความเข้มข้นต่าง ๆ ได้แก่ 0.1, 0.5 และ 1.0 เปอร์เซ็นต์ ทั้งก่อนและหลังการทำแห้งแบบฟลูอิดซ์เบด และตัวอย่างเม็คราประเภทเดียวกันที่ไม่ผ่านการทำแห้งแบบฟลูอิดซ์เบด หลังการกำจัดสปอร์ 72 ชั่วโมง วิธีการเตรียมตัวอย่างเม็คราก่อนการกำจัดสปอร์ทำโดยการอังด้วยไอของออสเมียมเตทรอกไซด์ (OsO₄) ความเข้มข้น 2 เปอร์เซ็นต์ น้ำหนักต่อปริมาตร เป็นระยะเวลา 2 ชั่วโมง ที่อุณหภูมิห้อง สำหรับเม็คราหลังการกำจัดสปอร์ 72 ชั่วโมงเตรียมตัวอย่างโดยการแช่เม็คราในสารละลายออสเมียมเตทรอกไซด์ภายใต้สภาวะเดียวกันและล้างด้วยน้ำกลั่น 3 ครั้ง จากนั้นจึงเข้าสู่ขั้นตอนการทำตัวอย่างให้แห้งโดยการห่อตัวอย่างเม็คราด้วยกระดาษเช็ดเลนส์และแช่ลงในสารละลายเอทานอลในแต่ละความเข้มข้นที่ 30, 50, 70 และ 90 เปอร์เซ็นต์ เป็นเวลา 10 นาที ความเข้มข้นละ 1 ครั้ง ตามลำดับ แล้วจึงนำตัวอย่างแช่ในเอทานอลความเข้มข้น 100 เปอร์เซ็นต์ เป็นเวลา 10 นาที จำนวน 3 ครั้ง ระเหยเอทานอลโดยการอังด้วยคาร์บอนไดออกไซด์อิมตัว จากนั้นทำแห้งตัวอย่างทั้งหมดด้วยเครื่องทำแห้ง ณ จุดวิกฤต (Critical point dryer) และนำเคลือบตัวอย่างด้วยทองโดยเครื่อง Ion sputter ติดตัวอย่างบนแท่นอะลูมิเนียม ก่อนนำตัวอย่างไปส่องด้วยกล้อง SEM

4.2 การวิเคราะห์การรอดชีวิตของ *L. polychrous* Lév. ที่เคลือบด้วยโคโตซาน

ทดสอบการรอดชีวิตของ *L. polychrous* Lev. ที่ไม่เคลือบและเคลือบด้วยโคโตซานความเข้มข้นต่าง ๆ ก่อนและหลังการทำแห้งแบบฟลูอิดซ์เบด ด้วยวิธีซึ่งคัดแปลงจาก Gassara

et al. (2010) โดยถ่ายตัวอย่างราลงบนอาหารแข็ง PDA จำนวน 10 จุด จุดละ 0.05 กรัม ropicงานเพาะเชื้อ ดังภาพที่ 4 วัดการเจริญโดยการนับจำนวนจุดราที่มีการเจริญ โดยบ่มที่อุณหภูมิ 30 องศาเซลเซียส เป็นระยะเวลา 5 วัน ทำการทดลอง 3 ซ้ำ แล้วคำนวณการรอดชีวิตตามสมการดังนี้

$$\text{การรอดชีวิตของรา (เปอร์เซ็นต์)} = \frac{\text{จำนวนจุดของราที่มีการเจริญในวันที่ 5}}{10} \times 100$$



ภาพที่ 4 ตำแหน่งของการวาง *L. polychrous* Lév. ที่เคลือบด้วยไคโตซาน 10 จุดบนจานเพาะเชื้อซึ่งบรรจุอาหารแข็ง PDA

4.3 การวิเคราะห์ปริมาณความชื้น

วิเคราะห์ปริมาณความชื้นของ *L. polychrous* Lev. ที่ไม่เคลือบและเคลือบด้วยไคโตซานความเข้มข้นต่าง ๆ ก่อนและหลังการทำแห้งแบบฟลูอิดไรซ์เบด ด้วยวิธีอบแห้ง ที่อุณหภูมิ 105 ± 2 องศาเซลเซียส โดยอบจนกระทั่งตัวอย่างมีน้ำหนักคงที่ (Horwitz, 2000) ทำการทดลองจำนวน 3 ซ้ำ

4.4 การวิเคราะห์ความสามารถการกำจัดสีย้อม

ถ่ายราที่ไม่เคลือบและเคลือบด้วยไคโตซานความเข้มข้นต่าง ๆ ก่อนและหลังการทำแห้งแบบฟลูอิดไรซ์ ปริมาณ 0.2 กรัม น้ำหนักแห้ง ลงในขวดรูปชมพู่ขนาด 500 มิลลิลิตร ซึ่งบรรจุสีย้อมผสม 3 ชนิด ได้แก่ สีย้อม RB 19, 160 และ 198 ที่กรองด้วยกระดาษกรองเซลลูโลสไนเตรด (Whatman) ขนาด 0.45 ไมโครเมตร มีความเข้มข้นรวมเป็น 100 มิลลิกรัมต่อลิตร ในอาหารเหลว

MM ปริมาตร 250 มิลลิลิตร ปรับพีเอชเริ่มต้นเป็น 4.0 ด้วย McIvan buffer และเลี้ยงที่อุณหภูมิ 30 ± 1 องศาเซลเซียส บนเครื่องเขย่าความเร็วรอบ 250 รอบต่อนาที วิเคราะห์ปริมาณสีข้อมที่ลดลงที่เวลาต่าง ๆ โดยปั่นเหวี่ยงด้วยเครื่องไมโครเซนตริฟิวจ์ความเร็ว 10,000 รอบต่อนาที เป็นเวลา 5 นาที เพื่อแยกส่วนใส จากนั้นจึงวัดค่าการดูดกลืนแสงของสีข้อมผสมที่ความยาวคลื่นสูงสุด 597 นาโนเมตร ทำการทดลองจำนวน 5 ซ้ำ ชุดควบคุม คือ ชุดที่ปราศจากรา และคำนวณปริมาณสีข้อมที่เหลือโดยใช้สมการดังนี้

$$\text{ปริมาณสีข้อมที่เหลือ (เปอร์เซ็นต์)} = \frac{\text{ค่าการดูดกลืนแสงของสีข้อมที่เหลือ}}{\text{ค่าการดูดกลืนแสงของสีข้อมชั่วโมงที่ 0}} \times 100$$

5. การศึกษากลไกการกำจัดสีข้อม

5.1 การวิเคราะห์การเปลี่ยนแปลงความยาวคลื่นสูงสุดของสีข้อมริแอกทีฟผสมที่เวลาการกำจัดสีข้อมต่าง ๆ

วิเคราะห์ตัวอย่างสีข้อมที่กำจัด โดยราที่ไม่เคลือบและเคลือบด้วยไคโตซานความเข้มข้นต่าง ๆ ที่ชั่วโมงที่ 0, 6, 18, 30, 36 และ 72 ซึ่งเป็นช่วงเวลาที่การลดลงของสีข้อมเริ่มมีการเปลี่ยนแปลงจนกระทั่งคงที่ วิเคราะห์ความยาวคลื่นสูงสุดของสีข้อมที่เวลาดังกล่าวโดยการเตรียมตัวอย่างเช่นเดียวกับการทดลองข้อ 4.4 และวัดค่าการดูดกลืนแสงที่ความยาวคลื่น 400 – 700 นาโนเมตร ทำการทดลองจำนวน 3 ซ้ำ

5.2 การวิเคราะห์กิจกรรมเอนไซม์

วิเคราะห์กิจกรรมเอนไซม์โดยเตรียมตัวอย่างสำหรับการวิเคราะห์เช่นเดียวกับข้อ 4.4 ซึ่งมีวิธีการวิเคราะห์กิจกรรมเอนไซม์ ดังนี้

5.2.1 เอนไซม์แลคเคส

วิเคราะห์กิจกรรมเอนไซม์แลคเคสจากการเพิ่มขึ้นของค่าการดูดกลืนแสงจากปฏิกิริยาออกซิเดชันของ 2, 2'- azino-bis-3-ethylbenzothiazoline-6-sulfonate (ABTS) ตามวิธีของ Bourbonnais and Paice (1990) โดยส่วนผสมที่ใช้ในการทำปฏิกิริยาประกอบด้วยสารละลายสีข้อมที่ผ่านการกำจัดสีข้อมเวลาต่าง ๆ ปริมาตร 50 ไมโครลิตร สารละลาย ABTS ความเข้มข้น 0.5 มิลลิ

โมลาร์ ซึ่งเป็นสับสเตรทของปฏิกิริยา ปริมาตร 850 ไมโครลิตร และ Acetate buffer ความเข้มข้น 0.1 โมลาร์ พีเอช 4.5 ปริมาตร 100 ไมโครลิตร วัดอัตราการเพิ่มขึ้นของปฏิกิริยาจากการเพิ่มของค่าการดูดกลืนแสงที่ความยาวคลื่น 420 นาโนเมตร แล้วคำนวณกิจกรรมของเอนไซม์จากค่า Molar absorption coefficient ของ ABTS ซึ่งเท่ากับ 36,000 โมลต่อลิตรต่อเซนติเมตร โดย 1 หน่วยของเอนไซม์ คือ ปริมาณเอนไซม์ที่สามารถออกซิไดซ์ ABTS 1.0 ไมโครโมล เป็น $ABTS^{+}$ ในเวลา 1 นาที

5.2.2 เอนไซม์แมงกานีสเปอร์ออกซิเดส

วิเคราะห์กิจกรรมเอนไซม์แมงกานีสเปอร์ออกซิเดสจากการเพิ่มขึ้นของค่าการดูดกลืนแสงจากปฏิกิริยาออกซิเดชันของ 3-methyl-2-benzothiazoline hydrazine (MBTH) ตามวิธีของ Castillo *et al.* (1994) โดยส่วนผสมที่ใช้ในการทำปฏิกิริยาประกอบด้วยสารละลายสี่ข้อมที่ผ่านการกำจัดสี่ข้อมเวลาต่าง ๆ ปริมาตร 50 ไมโครลิตร สารละลาย MBTH ความเข้มข้น 0.07 มิลลิโมลาร์ ปริมาตร 250 ไมโครลิตร สารละลาย 3-dimethylamino benzoic acid (DMAB) ความเข้มข้น 0.99 มิลลิโมลาร์ ปริมาตร 200 ไมโครลิตร สารละลาย $MnSO_4$ ความเข้มข้น 0.3 มิลลิโมลาร์ ปริมาตร 200 ไมโครลิตร สารละลาย H_2O_2 ความเข้มข้น 0.05 มิลลิโมลาร์ ปริมาตร 200 ไมโครลิตร และ Acetate buffer ความเข้มข้น 100 มิลลิโมลาร์ พีเอช 4.5 ปริมาตร 100 ไมโครลิตร วัดอัตราการเพิ่มขึ้นของปฏิกิริยาจากการเพิ่มของค่าการดูดกลืนแสงที่ความยาวคลื่น 590 นาโนเมตร แล้วคำนวณกิจกรรมของเอนไซม์จากค่า Molar absorption coefficient ของ MBTH ซึ่งเท่ากับ 59,000 โมลต่อลิตรต่อเซนติเมตร โดย 1 หน่วยของเอนไซม์ คือ ปริมาณเอนไซม์ที่สามารถออกซิไดซ์ MBTH 1.0 ไมโครโมล เป็น aminoindamine ในเวลา 1 นาที

5.2.3 เอนไซม์ลิกนินเปอร์ออกซิเดส

วิเคราะห์กิจกรรมเอนไซม์ลิกนินเปอร์ออกซิเดสจากการเพิ่มขึ้นของค่าการดูดกลืนแสงของปฏิกิริยาออกซิเดชันของ 3,4-dimethoxybenzylalcohol (veratrylic alcohol) ตามวิธีของ Tien and Kirk (1984) โดยส่วนผสมที่ใช้ในการทำปฏิกิริยาประกอบด้วยสารละลายสี่ข้อมที่ผ่านการกำจัดสี่ข้อมเวลาต่าง ๆ ปริมาตร 50 ไมโครลิตร สารละลาย 3,4-dimethoxybenzylalcohol ความเข้มข้น 2 มิลลิโมลาร์ ปริมาตร 650 ไมโครลิตร และสารละลาย H_2O_2 ความเข้มข้น 0.05 มิลลิโมลาร์ ปริมาตร 200 ไมโครลิตร และ Acetate buffer ความเข้มข้น 100 มิลลิโมลาร์ พีเอช 4.5 ปริมาตร 100 ไมโครลิตร วัดอัตราการเพิ่มขึ้นของปฏิกิริยาจากการเพิ่มของค่าการดูดกลืนแสงที่ความยาวคลื่น 310 นาโนเมตร แล้วคำนวณกิจกรรมของเอนไซม์จากค่า Molar absorption

coefficient ของ Veratrylic alcohol ซึ่งเท่ากับ 9,300 โมลต่อลิตรต่อเซนติเมตร โดย 1 หน่วยของ เอนไซม์ คือ ปริมาณเอนไซม์ที่สามารถออกซิไดซ์ veratrylic alcohol 1.0 ไมโครโมล ให้ได้เป็น Veratraldehyde ในเวลา 1 นาที

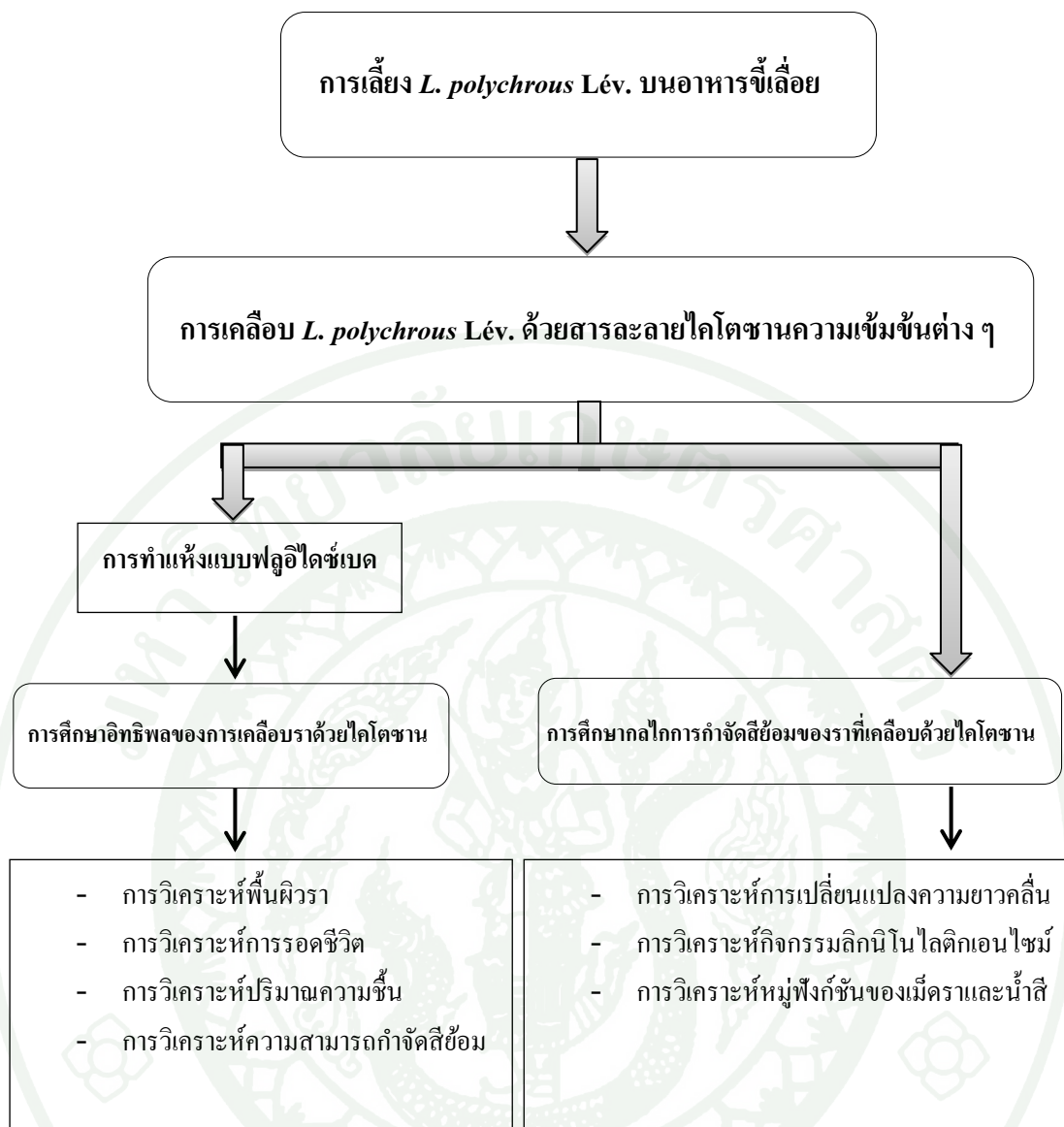
5.3 การวิเคราะห์หมู่ฟังก์ชันของเม็ตราและน้ำสีที่ผ่านการกำจัดสีข้อม

เตรียมตัวอย่างเม็ตราที่เคลือบด้วยไคโตซานและไม่ผ่านการทำแห้งแบบฟลูอิดซ์เบดที่ เวลาการกำจัดสีข้อมชั่วโมงที่ 0, 6 และ 48 และน้ำสีที่เวลาการกำจัดสีข้อมชั่วโมงที่ 0 และ 48 โดยการทำให้แห้งด้วยวิธีแช่เยือกแข็ง ที่อุณหภูมิ -45 ± 2 องศาเซลเซียส เป็นระยะเวลา 12 ชั่วโมง ซึ่งทำให้แห้งภายใต้สภาวะสูญญากาศซึ่งมีความดัน 0.055 mbar จนกระทั่งตัวอย่างแห้งและมีอุณหภูมิ 23 ± 2 องศาเซลเซียส จากนั้นนำตัวอย่างที่ผ่านการทำให้แห้งให้ละเอียด และนำผงตัวอย่างไปบดผสมกับผง KBr ในอัตราส่วน 1:10 ด้วยโกร่งบดสาร จากนั้นนำผงดังกล่าวไปอัดเป็นแผ่นก่อนนำเข้าเครื่อง เครื่องฟูเรียร์ทรานส์ฟอร์มอินฟราเรดสเปกโทรสโกปี (Fourier Transform Infrared Spectroscopy, FTIR) โดยวิเคราะห์หมู่ฟังก์ชันในช่วง $4,000 - 400 \text{ cm}^{-1}$

6. การวิเคราะห์ผลทางสถิติ

วางแผนการทดลองแบบสุ่มสมบูรณ์ (Completely Randomized Design) ทำการทดลอง จำนวน 3 ซ้ำ สำหรับการทดลองวิเคราะห์ปริมาณความชื้น การวิเคราะห์ความสามารถในการกำจัดสีข้อม และการวิเคราะห์กิจกรรมเอนไซม์ลิกนินโกลิติกที่ผลิตโดย *L. polychrous* Lév. ที่เคลือบด้วยไคโตซานความเข้มข้นต่าง ๆ โดยวิเคราะห์ส่วนเบี่ยงเบนมาตรฐานและแสดงผลการทดลองด้วยค่าเฉลี่ย \pm ส่วนเบี่ยงเบนมาตรฐานด้วยโปรแกรม Microsoft excel 2007

จากวิธีการทดลองทั้งหมดข้างต้นสามารถสรุปเป็นแผนผังการดำเนินการทดลองดังภาพที่ 5



ภาพที่ 5 แผนผังการดำเนินการทดลองการกำจัดสัตรูมีแอกทีฟผสมโดย *L. polychrous* Lévy. ที่เคลือบด้วยโคโตซานและผ่านการทำแห้งแบบฟลูอิดไรซ์เบด

ผลและวิจารณ์

1. การศึกษาอิทธิพลของการเคลือบ *L. polychrous* Lév. ด้วยไคโตซาน และการทำแห้งแบบฟลูอิดซ์เบดต่อคุณสมบัติทางกายภาพของเม็ดตราและความสามารถในการกำจัดสีย้อมรีแอคทีฟผสม

1.1 การวิเคราะห์พื้นผิว *L. polychrous* Lév. ที่เคลือบด้วยไคโตซานความเข้มข้นต่าง ๆ ก่อนและหลังการทำแห้งด้วยกล้องจุลทรรศน์อิเล็กตรอนแบบส่องกราด (SEM)

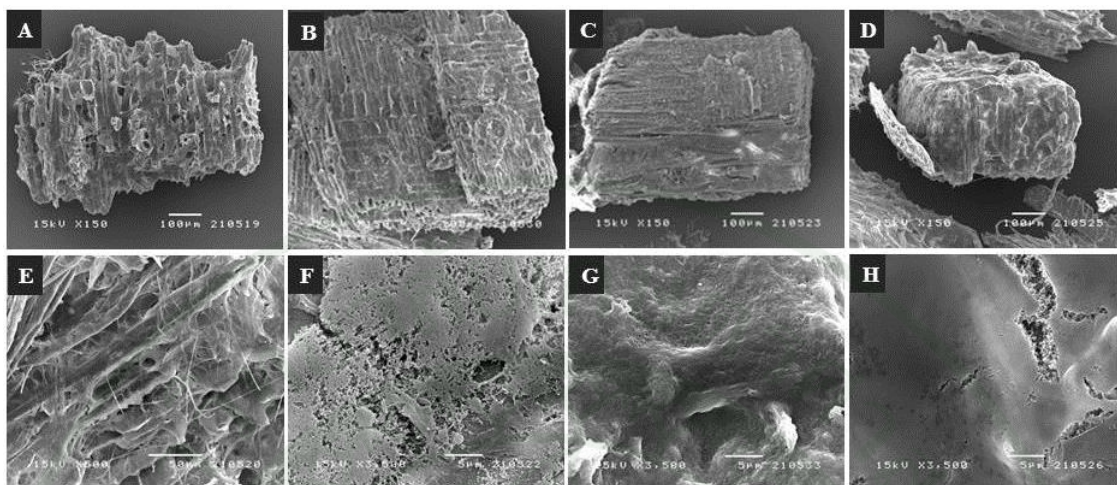
การกำจัดสีย้อมโดย *L. polychrous* Lév. มีข้อดีอยู่เรื่องระยะเวลาการกำจัดสีย้อมนาน (Robinson *et al.*, 2001; Anjaneyulu *et al.*, 2005) งานวิจัยนี้จึงใช้ไคโตซานซึ่งมีคุณสมบัติเด่นด้านการดูดซับสีย้อมเคลือบบนเม็ดตราเพื่อเพิ่มประสิทธิภาพการกำจัดสีย้อม อย่างไรก็ตามการเกาะติดของไคโตซานบนเม็ดตราถือเป็นปัจจัยหนึ่งที่มีผลกระทบต่อประสิทธิภาพการกำจัดสีย้อม ดังนั้นการทดลองนี้จึงวิเคราะห์พื้นผิวของราที่เคลือบด้วยไคโตซานทั้งก่อนและหลังการทำแห้ง เพื่อศึกษาความสัมพันธ์ของระดับความเข้มข้นของไคโตซานต่อลักษณะพื้นผิวของเม็ดตราด้วยกล้อง SEM โดยตัวอย่างที่ใช้วิเคราะห์คือราที่เจริญบนขี้เลื่อยเป็นเวลา 7 วัน เคลือบด้วยไคโตซานความเข้มข้น 0.1, 0.5 และ 1.0 เปอร์เซ็นต์น้ำหนักต่อปริมาตร และทำการทดลองเปรียบเทียบกับเม็ดตราที่ไม่เคลือบด้วยไคโตซาน

เมื่อเปรียบเทียบลักษณะภายนอกของเม็ดตราที่ไม่เคลือบและเคลือบด้วยไคโตซานดังภาพที่ 6 พบว่าลักษณะของเม็ดตราที่ไม่เคลือบด้วยไคโตซานก่อนการทำแห้งเป็นรูปทรงของชั้นขี้เลื่อยและสามารถเห็นรูซึ่งเป็นปลายเปิดของท่อลำเลียงของขี้เลื่อย ดังภาพที่ 6A สำหรับเม็ดตราที่เคลือบด้วยไคโตซานความเข้มข้นต่าง ๆ พบว่า เม็ดตราที่เคลือบด้วยไคโตซานความเข้มข้น 0.1 เปอร์เซ็นต์ (ภาพที่ 6B) มีลักษณะพื้นผิวที่ใกล้เคียงกับพื้นผิวของราที่ไม่เคลือบด้วยไคโตซานแต่ไม่สามารถเห็นรูของท่อลำเลียงได้ชัดเจนเนื่องจากมีชั้นของไคโตซานปกคลุมอยู่ และเมื่อพิจารณาพื้นผิวเม็ดตราที่เคลือบด้วยไคโตซานที่ความเข้มข้นสูงขึ้นพบว่า ลักษณะพื้นผิวของเม็ดตราจะเรียบและไม่เห็นรูพรุนเพราะมีไคโตซานปกคลุมสม่ำเสมอมากขึ้น ดังภาพที่ 6C และ 6D ซึ่งเป็นเม็ดตราที่เคลือบด้วยไคโตซานความเข้มข้น 0.5 และ 1.0 เปอร์เซ็นต์ ตามลำดับ นอกจากนี้ยังได้ศึกษาลักษณะพื้นผิวภายนอกของเม็ดตราที่เคลือบและไม่เคลือบด้วยไคโตซานหลังการทำแห้งแบบฟลูอิดซ์เบด พบว่า รูปทรงและพื้นผิวของเม็ดตรามีลักษณะคล้ายคลึงกับเม็ดตราที่ไม่ผ่านการทำแห้ง (ข้อมูลไม่แสดง)

เมื่อพิจารณาพื้นผิวเม็ตราที่กำลังขยายสูงขึ้น พบว่า พื้นผิวของเม็ตราที่ไม่เคลือบด้วยไคโตซาน สามารถเห็นเส้นใยปากคลุมที่พื้นผิวด้านนอกและแทรกอยู่ตามร่องรูพรุนของซี่เลื้อยอย่างชัดเจน แสดงดังภาพที่ 6E ซึ่งเป็นภาพที่มีกำลังขยาย 500x ทั้งนี้ พบว่า การใช้กำลังขยาย 3500x กับเม็ตราที่ไม่เคลือบด้วยไคโตซานทำให้ไม่สามารถเห็นภาพรวมภายนอกของเม็ตราได้แต่สามารถเห็นเฉพาะเส้นใยเท่านั้น (ข้อมูลไม่แสดง) สำหรับเม็ตราที่เคลือบด้วยไคโตซานความเข้มข้น 0.1 เปอร์เซ็นต์ (ภาพที่ 6F) พบว่า พื้นผิวของเม็ตรามีชั้นไคโตซานปกคลุมอยู่บางส่วนจึงทำให้พื้นผิวมีลักษณะขรุขระเป็นรูพรุน แต่ไม่สามารถสังเกตเห็นเส้นใยที่เจริญอยู่บนซี่เลื้อย ส่วนเม็ตราที่เคลือบด้วยไคโตซานความเข้มข้น 0.5 และ 1.0 เปอร์เซ็นต์ (ภาพที่ 6G และ 6H ตามลำดับ) พบว่า พื้นผิวของเม็ตรามีไคโตซานเคลือบติดทั่วพื้นผิวมากขึ้นเมื่อความเข้มข้นของไคโตซานสูงขึ้น ทำให้พื้นผิวเม็ตรามีลักษณะเรียบและไม่พบลักษณะของรูพรุนบนพื้นผิว นอกจากนี้พบว่าพื้นผิวของเม็ตราที่เคลือบด้วยไคโตซานความเข้มข้น 1.0 เปอร์เซ็นต์ (ภาพที่ 6H) สามารถสังเกตเห็นชั้นของไคโตซานที่เคลือบบนเม็ตราจากรอยแตกที่เกิดจากการเตรียมตัวอย่าง จากผลดังกล่าวแสดงให้เห็นว่าความเข้มข้นของไคโตซานมีอิทธิพลต่อการเกาะติดบนเม็ตรา กล่าวคือ เมื่อความเข้มข้นของไคโตซานสูงขึ้นทำให้การเคลือบราเกิดขึ้นอย่างทั่วถึงมากขึ้น โดยการเกาะติดของไคโตซานกับเซลล์ราอาจเกิดได้จากแรงไฟฟ้าสถิตย์ (Electrostatic force) เนื่องจากผนังเซลล์รามีองค์ประกอบหลายชนิด เช่น โปรตีน พอลิแซ็กคาไรด์ ไขมัน และเมลานิน เป็นต้น จึงทำให้ที่ผนังเซลล์รามีหมู่ฟังก์ชัน (Functional group) เช่น คาร์บอกซิล ไฮดรอกซิล ฟอสเฟต และ ซัลไฟด์ไฮดริล (Gadd, 1993; Bayramoglu *et al.*, 2006) ซึ่งหมู่ฟังก์ชันเหล่านี้แสดงประจุเป็นลบได้ (Say *et al.*, 2001) ทำให้ไคโตซานที่ละลายอยู่ในสารละลายกรดพีเอช 6 ซึ่งต่ำกว่า pKa ของไคโตซาน ที่ประมาณ 6.3-6.5 (Strand *et al.*, 2001; Pepic *et al.*, 2008) แสดงประจุเป็นบวกสามารถเกาะติดกับราบริเวณตำแหน่งที่มีประจุเป็นลบดังกล่าวได้ (Gadd, 1993) อย่างไรก็ตามนอกจากไคโตซานสามารถเกาะติดบนผนังเซลล์ราแล้ว ไคโตซานยังสามารถเกาะติดกับซี่เลื้อยซึ่งเป็นตัวยึดของราด้วยการจับกับหมู่ฟังก์ชันต่าง ๆ ของไม้ด้วยแรงแวนเดอร์วาลส์และพันธะไฮโดรเจน (Strnad *et al.*, 2010) นอกจากนี้เมื่อพิจารณาขนาดของเม็ตรา อาจกล่าวได้ว่า เม็ตรามีขนาดสม่ำเสมอเนื่องจากมีการคัดขนาดซี่เลื้อยอยู่ในช่วง 0.250 – 0.425 มิลลิเมตร ก่อนการนำไปใช้เลี้ยงราและระหว่างการเลี้ยงราได้ทำการคลุกผสมซี่เลื้อยและราเพื่อให้รามีการเจริญและกระจายตัวอย่างสม่ำเสมอ ทั้งนี้เมื่อเคลือบเม็ตราด้วยไคโตซานส่งผลให้เม็ตรามีขนาดใหญ่ขึ้น โดยมีขนาดประมาณ 0.450 – 0.600 มิลลิเมตร

จากผลการทดลองชี้ให้เห็นว่าไคโตซานเป็นสารที่สามารถเกาะติดบนเม็ตราได้ โดยที่ความเข้มข้นสูงขึ้นทำให้การเคลือบติดบนเม็ตรามากขึ้น อย่างไรก็ตามมีรายงานวิจัยที่พบว่าไคโตซานมีความสามารถในการยับยั้งการเจริญของรา (Allan and Hadwiger, 1979; Ghaouth *et al.*,

1992; Kong *et al.*, 2010) การทดลองต่อไปจึงทดสอบความสามารถในการเจริญของราที่เคลือบด้วยไคโตซานความเข้มข้นต่าง ๆ



ภาพที่ 6 พื้นผิวภายนอกของเม็ครา *L. polychrous* Lév. ที่เคลือบด้วยไคโตซานที่ความเข้มข้นต่าง ๆ ก่อนการทำแห้งแบบฟลูอิดไรซ์เบด (A) ราที่ไม่เคลือบด้วยไคโตซาน (150x); (B) ราที่เคลือบด้วยไคโตซานความเข้มข้น 0.1 (150x); (C) 0.5 (150x); (D) 1.0 เปอร์เซ็นต์น้ำหนักต่อปริมาตร (150x); (E) พื้นผิวเม็คราที่ไม่เคลือบด้วยไคโตซาน (500x); (F) พื้นผิวเม็คราที่เคลือบด้วยไคโตซานความเข้มข้น 0.1 (3500x); (G) 0.5 (3500x); (H) 1.0 เปอร์เซ็นต์น้ำหนักต่อปริมาตร (3500x)

1.2 การวิเคราะห์การรอดชีวิตและปริมาณความชื้นของราที่เคลือบด้วยไคโตซานความเข้มข้นต่าง ๆ ก่อนและหลังการทำแห้งแบบฟลูอิดไรซ์เบด

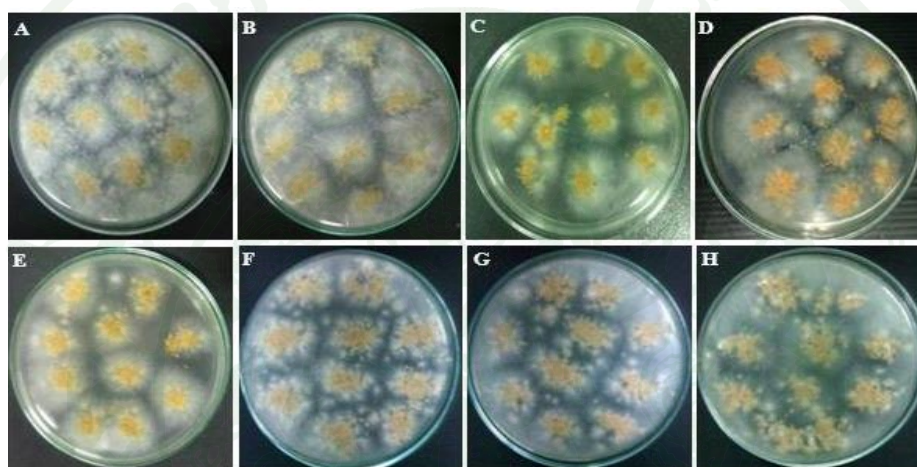
แม้ว่าไคโตซานมีความสามารถในการดูดซับสีย้อมรีแอกทีฟสูง อย่างไรก็ตามมีงานวิจัยจำนวนมากที่พบว่าไคโตซานมีฤทธิ์ในการยับยั้งการเจริญของรา การทดลองนี้จึงวิเคราะห์การรอดชีวิตของ *L. polychrous* Lév. ที่เคลือบด้วยไคโตซานความเข้มข้นต่าง ๆ ทั้งก่อนและหลังการทำแห้ง โดยการดัดแปลงวิธีวิเคราะห์ของ Gassara *et al.* (2010) ซึ่งทำให้สามารถวิเคราะห์การรอดชีวิตของ *L. polychrous* Lév. ได้ แสดงผลได้ง่ายและรวดเร็ว อย่างไรก็ตามไม่สามารถระบุปริมาณการรอดชีวิตโดยละเอียดเนื่องจาก *L. polychrous* Lév. ที่ใช้ในงานวิจัยนี้อยู่ในช่วงอายุที่ยังไม่สามารถสร้างสปอร์ ผลการทดลองพบว่า ราที่เคลือบด้วยไคโตซานทุกความเข้มข้นสามารถเจริญได้ 100 เปอร์เซ็นต์ ทั้งราที่ผ่านการทำแห้งและไม่ผ่านการทำแห้ง อย่างไรก็ตามเมื่อเปรียบเทียบความหนาแน่นของเส้นใยราที่เคลือบและไม่เคลือบด้วยไคโตซานก่อนการทำแห้ง พบว่าเส้นใยของราที่

ไม่เคลือบด้วยไคโตซาน (ภาพที่ 7A) มีความหนาแน่นมากกว่าเส้นใยราที่เคลือบด้วยไคโตซาน และเมื่อพิจารณาเส้นใยราที่เคลือบด้วยไคโตซานความเข้มข้นต่าง ๆ พบว่า ราที่เคลือบด้วยไคโตซานความเข้มข้น 0.1 เปอร์เซ็นต์ (ภาพที่ 7B) มีความหนาแน่นของเส้นใยมากที่สุดโดยเส้นใยมีความหนาแน่นใกล้เคียงกับราที่ไม่เคลือบด้วยไคโตซาน รองลงมา คือ เส้นใยราที่เคลือบด้วยไคโตซานความเข้มข้น 0.5 และ 1.0 เปอร์เซ็นต์ (ภาพที่ 7C และ 7D ตามลำดับ) จากผลการทดลองดังกล่าวชี้ให้เห็นว่า สารละลายไคโตซานส่งผลต่อลักษณะการเจริญของเส้นใย *L. polychrous* Lév. ทำให้ความหนาแน่นของเส้นใยลดลง เนื่องจากสารละลายไคโตซานที่เกาะบนผนังเซลล์สามารถรบกวนการซึมผ่านของแก๊สและสารต่าง ๆ ที่ผนังเซลล์ ซึ่งส่งผลต่อการเจริญของเส้นใย (Zakrzewska *et al.*, 2007; Singh *et al.*, 2008; Palma-Guerrero *et al.*, 2010) อย่างไรก็ตาม Allan and Hadwiger (1979) และ Singh *et al.* (2008) พบว่า ราแต่ละชนิดมีความสามารถในการทนฤทธิ์ในการยับยั้งการเจริญที่เกิดจากไคโตซานได้แตกต่างกัน ทั้งนี้ขึ้นอยู่กับความเข้มข้นของไคโตซานอีกด้วย จึงอาจเป็นไปได้ว่า *L. polychrous* Lév. สามารถทนฤทธิ์ในการยับยั้งการเจริญของไคโตซานเนื่องจากยังคงความสามารถในการเจริญและสร้างเส้นใยบนอาหารแข็ง PDA

อย่างไรก็ตามเมื่อพิจารณาความหนาแน่นของเส้นใยโดยเปรียบเทียบร่าก่อนการทำแห้งและหลังการทำแห้ง พบว่า เส้นใยราหลังการทำแห้งมีความหนาแน่นน้อยกว่าเส้นใยของร่าก่อนการทำแห้ง โดยเส้นใยราที่ไม่เคลือบด้วยไคโตซานหลังการทำแห้ง (ภาพที่ 7E) มีความหนาแน่นมากที่สุดเมื่อเปรียบเทียบกับเส้นใยราที่เคลือบด้วยไคโตซานความเข้มข้นต่าง ๆ ที่ผ่านการทำแห้ง กล่าวคือ เส้นใยราที่เคลือบด้วยไคโตซานความเข้มข้น 0.1 เปอร์เซ็นต์ (ภาพที่ 7F) มีความหนาแน่นใกล้เคียงกับเส้นใยของร่าที่ไม่เคลือบไคโตซาน และความหนาแน่นของเส้นใยราเริ่มน้อยลงเมื่อความเข้มข้นของไคโตซานสูงขึ้น (ภาพที่ 7G และ 7H) อย่างไรก็ตามเมื่อพิจารณาภาพที่ 7 จะเห็นว่า เส้นใยราหลังการทำแห้งมีการกระจายตัว ออกจากตำแหน่งที่วางเชื้อเป็นจุดเล็ก ๆ ซึ่งต่างกับร่าก่อนการทำแห้ง ลักษณะดังกล่าวเกิดจากตัวอย่างหลังการทำแห้งมีความชื้นต่ำ ดังนั้นในระหว่างการวางตัวอย่างจึงเกิดการกระจายตัวขึ้น ผลการทดลองนี้ชี้ให้เห็นว่า นอกจากอิทธิพลของไคโตซานที่ส่งผลต่อการเจริญของร่าแล้วยังมีอิทธิพลของการทำแห้งเข้ามาเกี่ยวข้องด้วย โดยปัจจัยหลักที่ส่งผลต่อการเจริญของเส้นใยราที่มาจากกระบวนการทำแห้ง คือ ความร้อน ซึ่งการใช้ลมร้อนไหลผ่านเม็ดร่าเพื่อกำจัดน้ำอิสระอาจส่งผลให้ร่าแห้งอยู่ในสภาพไม่สมบูรณ์ เนื่องจากน้ำเป็นตัวกลางในการพาความร้อนเข้าสู่เม็ดร่า (Chitprasert *et al.*, 2011) จึงเป็นสาเหตุที่ทำให้ความหนาแน่นของเส้นใยร่าระหว่างก่อนและหลังทำแห้งต่างกัน โดยความชื้นเริ่มต้นของร่าก่อนทำแห้งคือ ประมาณ 62.5 – 63.8 เปอร์เซ็นต์ และหลังจากทำแห้งร่าที่ไม่เคลือบด้วยไคโตซานมีความชื้นประมาณ 6.8 เปอร์เซ็นต์ ส่วนร่าที่เคลือบด้วยไคโตซานความเข้มข้น 0.1, 0.5 และ 1.0 เปอร์เซ็นต์ มีความชื้น

ประมาณ 12.6, 10.8 และ 9.3 เปอร์เซ็นต์ ตามลำดับ จากผลการทดลองดังกล่าวชี้ให้เห็นว่า ความหนาแน่นของเส้นใยราที่ต่างกันเกิดจากอิทธิพลร่วมของไคโตซานและความร้อนจากการทำแห้ง

จากผลการทดลองดังกล่าวแสดงให้เห็นว่าราที่เคลือบด้วยไคโตซานและผ่านการทำแห้งแบบฟลูอิดไลซ์เบดยังคงรอดชีวิตเมื่อทดสอบการรอดชีวิตของรากับวิธีการซึ่งตัดแปลงจาก Gassara *et al.* (2010) จึงทำให้เม็คราที่เคลือบด้วยไคโตซานและผ่านการทำแห้งแบบฟลูอิดไลซ์เบดมีความเหมาะสมสำหรับนำไปใช้บำบัดน้ำที่ปนเปื้อนสีข้อม ดังนั้นการทดลองในลำดับต่อไปจึงศึกษาความสามารถในการกำจัดสีข้อมของราเคลือบด้วยไคโตซานที่ผ่านการทำแห้งแบบฟลูอิดไลซ์เบด



ภาพที่ 7 จำนวนจุดของการเจริญของเส้นใยรา *L. polychrous* Lévy. ที่ไม่เคลือบและเคลือบด้วยไคโตซานความเข้มข้นต่าง ๆ ที่ไม่ผ่านการทำแห้ง บนอาหารแข็ง PDA (A) ราที่ไม่เคลือบด้วยไคโตซาน; (B) ราที่เคลือบด้วยไคโตซานความเข้มข้น 0.1; (C) 0.5; (D) 1.0 เปอร์เซ็นต์น้ำหนักต่อปริมาตร; และราที่ผ่านการทำแห้ง (E) ราที่ไม่เคลือบด้วยไคโตซาน; (F) ราที่เคลือบด้วยไคโตซานความเข้มข้น 0.1; (G) 0.5 เปอร์เซ็นต์; (H) 1.0 เปอร์เซ็นต์น้ำหนักต่อปริมาตร

1.3 การวิเคราะห์ความสามารถการกำจัดสีข้อมรีแอกทีฟผสมของ *L. polychrous* Lévy. ที่เคลือบด้วยไคโตซานความเข้มข้นต่าง ๆ ทั้งก่อนและหลังการทำแห้งแบบฟลูอิดไลซ์เบด

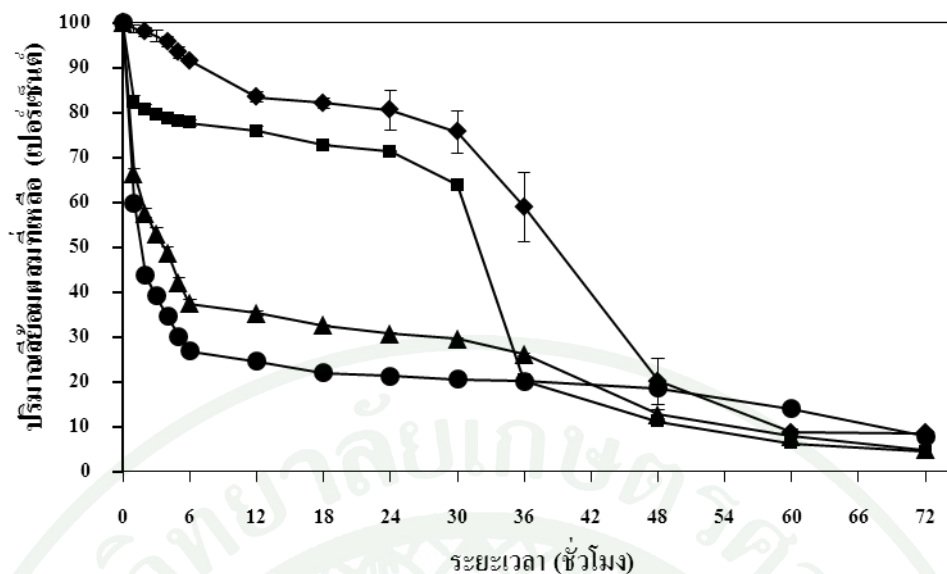
เนื่องด้วยความเข้มข้นของไคโตซานที่เคลือบบนเม็คราส่งผลต่อประสิทธิภาพการกำจัดสีข้อม การทดลองนี้จึงทดสอบความสามารถการกำจัดสีข้อมรีแอกทีฟผสมของเม็คราที่เคลือบด้วยไคโตซานความเข้มข้นต่าง ๆ ทั้งก่อนและหลังการทำแห้งแบบฟลูอิดไลซ์เบด เพื่อศึกษาอิทธิพลของความเข้มข้นของไคโตซานที่เคลือบบนเม็คราในการเพิ่มประสิทธิภาพการกำจัดสีข้อม โดยการถ่าย

เมื่อราที่เคลือบด้วยไคโตซานความเข้มข้น 0.1, 0.5 และ 1.0 เปอร์เซ็นต์น้ำหนักต่อปริมาตร ทั้งก่อนและหลังการทำแห้ง ลงในน้ำสี่ข้อมรีแอกทีฟผสมและติดตามการลดลงของสี่ข้อมที่เวลาต่าง ๆ

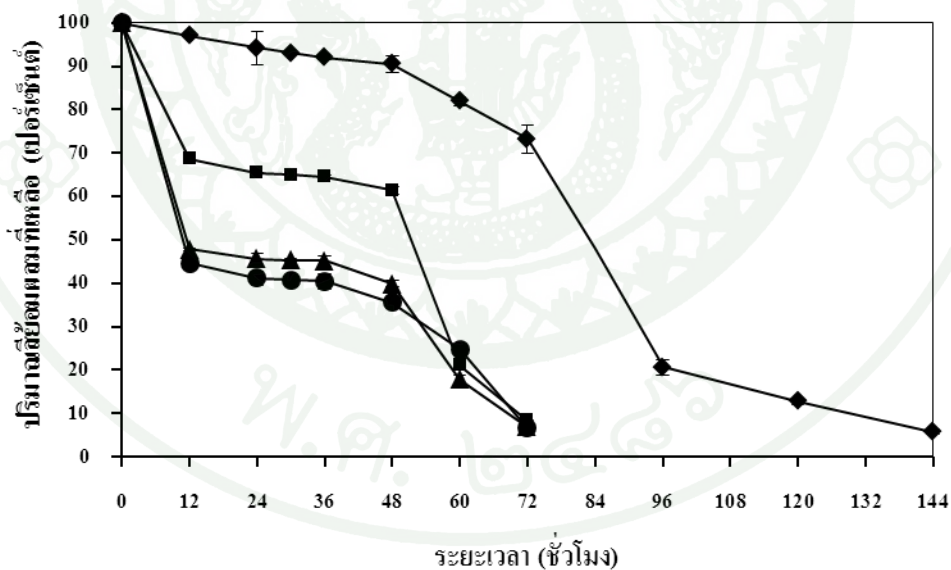
จากผลการทดลองการกำจัดสี่ข้อมโดยราที่เคลือบด้วยไคโตซานความเข้มข้น 0.1, 0.5 และ 1.0 เปอร์เซ็นต์ เปรียบเทียบกับราที่ไม่เคลือบด้วยไคโตซานและไม่ผ่านการทำแห้ง (ภาพที่ 8) พบว่าสี่ข้อมลดลงอย่างรวดเร็วในช่วงเวลาการกำจัดสี่ข้อมชั่วโมงที่ 0 – 6 โดยราที่เคลือบด้วยไคโตซานความเข้มข้น 1.0 เปอร์เซ็นต์ สามารถกำจัดสี่ข้อมได้มากที่สุดประมาณ 75 เปอร์เซ็นต์ รองลงมาคือราที่เคลือบด้วยไคโตซานความเข้มข้น 0.5 และ 0.1 เปอร์เซ็นต์ ซึ่งกำจัดสี่ข้อมได้ 63 และ 22 เปอร์เซ็นต์ ตามลำดับ ขณะที่ราที่ไม่เคลือบด้วยไคโตซานสามารถกำจัดสี่ข้อมได้เพียง 10 เปอร์เซ็นต์ อย่างไรก็ตามทั้งราที่เคลือบและไม่เคลือบด้วยไคโตซานสามารถกำจัดสี่ข้อมทั้งหมดได้ 91.4 – 95.5 เปอร์เซ็นต์ ที่ระยะเวลาการกำจัดสี่ข้อม 72 ชั่วโมง จากผลการทดลองดังกล่าวอาจเป็นไปได้ว่าการลดลงของสี่ข้อมในช่วง 6 ชั่วโมงแรก เป็นผลมาจากกลไกการดูดซับสอดคล้องกับงานวิจัยของ Knapp *et al.* 1995; Miranda *et al.* 1996; Fu and Viraraghavan (2001); Levin *et al.* (2004) พบว่า เราสามารถดูดซับสี่ข้อมได้ประมาณ 10 – 25 เปอร์เซ็นต์ และเกิดขึ้นอย่างรวดเร็วในช่วงแรกของการกำจัดสี่ข้อม โดยความสามารถในการดูดซับขึ้นอยู่กับชนิดของสี่ข้อมและชนิดของรา อย่างไรก็ตามการเคลือบไคโตซานบนเม็คราอาจเป็นปัจจัยสำคัญที่ทำให้เกิดการดูดซับสี่ข้อมได้มากขึ้น โดยสังเกตได้จากปริมาณสี่ข้อมลดลงมากขึ้นเมื่อความเข้มข้นของไคโตซานเพิ่มขึ้น

เมื่อพิจารณาผลการกำจัดสี่ข้อมโดยราเคลือบด้วยไคโตซานความเข้มข้น 0.1, 0.5 และ 1.0 เปอร์เซ็นต์ เปรียบเทียบกับราที่ไม่เคลือบด้วยไคโตซาน และผ่านการทำแห้ง (ภาพที่ 9) พบว่า สี่ข้อมลดลงอย่างรวดเร็วที่เวลาการกำจัดสี่ข้อมชั่วโมงที่ 0 – 12 โดยราที่เคลือบด้วยไคโตซานความเข้มข้น 1.0 เปอร์เซ็นต์ สามารถกำจัดสี่ข้อมได้มากที่สุดประมาณ 56 เปอร์เซ็นต์ รองลงมาคือ ราที่เคลือบด้วยไคโตซานความเข้มข้น 0.5 และ 0.1 เปอร์เซ็นต์ ซึ่งกำจัดสี่ข้อมได้ 53 และ 32 เปอร์เซ็นต์ ตามลำดับ ส่วนราที่ไม่เคลือบด้วยไคโตซานสามารถกำจัดสี่ข้อมได้เพียง 9 เปอร์เซ็นต์ นอกจากนี้พบว่า ราที่เคลือบด้วยไคโตซาน สามารถกำจัดสี่ข้อมได้ 91.6 – 94.3 เปอร์เซ็นต์ โดยใช้เวลาในการกำจัดสี่ข้อมที่สั้นกว่า คือ 72 ชั่วโมง ขณะที่ราที่ไม่เคลือบไคโตซานใช้เวลากำจัดสี่ข้อม 144 ชั่วโมง จากผลการทดลองชี้ให้เห็นว่า แนวโน้มการลดลงของสี่ข้อมมีลักษณะคล้ายกับสภาวะก่อนการทำแห้งแต่ราที่ผ่านการทำแห้งใช้เวลาการกำจัดสี่ข้อมที่นานกว่าโดยราที่เคลือบด้วยไคโตซานสามารถกำจัดสี่ข้อมได้เร็วกว่า ทั้งนี้อาจเป็นผลมาจากกลไกการดูดซับสี่ข้อมเช่นเดียวกัน ซึ่งการเคลือบไคโตซานบนเม็คราสามารถเพิ่มประสิทธิภาพการดูดซับสี่ข้อมและทำให้สี่ข้อมสะสมบริเวณพื้นผิวเม็ครามากขึ้นส่งผลให้ราสามารถย่อยสลายสี่ข้อมได้เร็วขึ้น

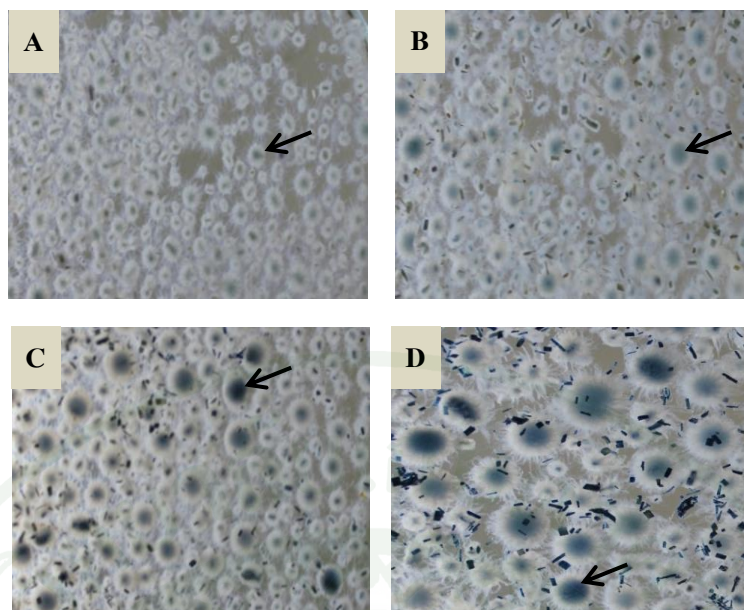
เมื่อพิจารณาเปรียบเทียบปริมาณสีข้อมที่ลดลงในช่วงแรกของการกำจัดสีข้อมโดยราที่เคลือบด้วยไคโตซานที่ผ่านและไม่ผ่านการทำแห้ง เห็นได้ว่า ราที่ผ่านการทำแห้งทำให้สีข้อมลดลงน้อยกว่าและใช้ระยะเวลาที่นานกว่าราที่ไม่ผ่านการทำแห้งซึ่งอาจเป็นผลมาจากไคโตซานอยู่ในสถานะของแข็งส่งผลต่อประจุบนเมล็ดราที่เคลือบด้วยไคโตซานมีปริมาณลดลงจึงทำให้ความสามารถในการดูดซับสีข้อมลดลง นอกจากนี้เมื่อพิจารณาการลดลงของสีข้อมโดยราที่ไม่เคลือบด้วยไคโตซานที่ผ่านและไม่ผ่านการทำแห้ง พบว่า ราที่ผ่านการทำแห้งใช้เวลาในการกำจัดสีข้อมนานกว่าราที่ไม่ผ่านการทำแห้ง จากผลดังกล่าวชี้ให้เห็นว่า การทำแห้งอาจส่งผลให้เส้นใยราไม่สมบูรณ์ซึ่งเกิดจากการสัมผัสกับความร้อนจากการทำแห้งและทำให้ประสิทธิภาพการกำจัดสีข้อมด้อยลง อย่างไรก็ตามท้ายที่สุดราที่ผ่านการทำแห้งทั้งที่ไม่เคลือบและเคลือบด้วยไคโตซานยังคงสามารถกำจัดสีข้อมได้โดยราที่เคลือบด้วยไคโตซานและผ่านการทำแห้งสามารถกำจัดสีข้อมโดยใช้ระยะเวลารวมในการกำจัดสีข้อมใกล้เคียงกับราที่เคลือบด้วยไคโตซานที่ไม่ผ่านการทำแห้ง ซึ่งชี้ให้เห็นว่าการเคลือบไคโตซานบนเมล็ดราสามารถเพิ่มความสามารถการดูดซับสีข้อมบนราทำให้การกำจัดสีข้อมมีประสิทธิภาพมากขึ้น อย่างไรก็ตามเมื่อพิจารณาลักษณะและปริมาณของเมล็ดราหลังจากการกำจัดสีข้อม พบว่า เม็ดราที่เคลือบด้วยไคโตซานมีสีข้อมเกาะติดมากกว่าเม็ดราที่ไม่ผ่านการเคลือบซึ่งอาจเป็นผลมาจากความสามารถในการดูดซับสีข้อมของไคโตซาน ประกอบกับเม็ดราที่เคลือบด้วยไคโตซานมีขนาดใหญ่ขึ้นเมื่อความเข้มข้นของไคโตซานเพิ่มขึ้น (ภาพที่ 10) แต่มีจำนวนเม็ดราน้อยกว่าราที่ไม่ได้เคลือบด้วยไคโตซาน ซึ่งลักษณะของเม็ดราที่ต่างกันส่งผลต่อความสามารถในการกำจัดสีข้อมของราเนื่องจากไม่สามารถควบคุมขนาดของเม็ดราที่เจริญในระหว่างการกำจัดสีข้อมแม้ว่าสถานะที่ใช้ในการกำจัดสีข้อมเหมือนกัน การทดลองลำดับต่อไปจึงวิเคราะห์ลักษณะพื้นผิวเม็ดราที่เคลือบด้วยไคโตซานความเข้มข้นต่าง ๆ ที่ผ่านการกำจัดสีข้อม



ภาพที่ 8 การกำจัดยีสต์อเมรีแอคทีฟผสมโดย *L. polychrous* Lévy. ที่เคลือบด้วยไคโตซานความเข้มข้นต่าง ๆ และไม่ผ่านการทำแห้งแบบฟลูอิดไรซ์เบด (◆) ราที่ไม่เคลือบด้วยไคโตซาน (■) ราที่เคลือบด้วยไคโตซานความเข้มข้น 0.1; (▲) 0.5; (●) 1.0 เปอร์เซ็นต์น้ำหนักต่อปริมาตร



ภาพที่ 9 การกำจัดยีสต์อเมรีแอคทีฟผสมโดย *L. polychrous* Lévy. ที่เคลือบด้วยไคโตซานความเข้มข้นต่าง ๆ และผ่านการทำแห้งแบบฟลูอิดไรซ์เบด (◆) ราที่ไม่เคลือบด้วยไคโตซาน (■) ราที่เคลือบด้วยไคโตซานความเข้มข้น 0.1; (▲) 0.5; (●) 1.0 เปอร์เซ็นต์น้ำหนักต่อปริมาตร



ภาพที่ 10 เม็ดรา *L. polychrous* Lév. ที่เคลือบด้วยโคโตซานความเข้มข้นต่าง ๆ และไม่ผ่านการทำแห้งที่เวลาการกำจัดสีย้อมชั่วโมงที่ 72 (A) ราที่ไม่เคลือบด้วยโคโตซาน; (B) ราที่เคลือบด้วยโคโตซานความเข้มข้น 0.1 ; (C) 0.5; (D) 1.0 เปอร์เซ็นต์น้ำหนักต่อปริมาตร ลูกศรแสดงบริเวณที่มีสีย้อมติดบนเม็ดรา

1.4 การวิเคราะห์พื้นผิวเม็ดราที่เคลือบด้วยโคโตซานความเข้มข้นต่าง ๆ และผ่านการกำจัดสีย้อมรีแอกทีฟผสมด้วยกล้องจุลทรรศน์อิเล็กตรอนแบบส่องกราด (SEM)

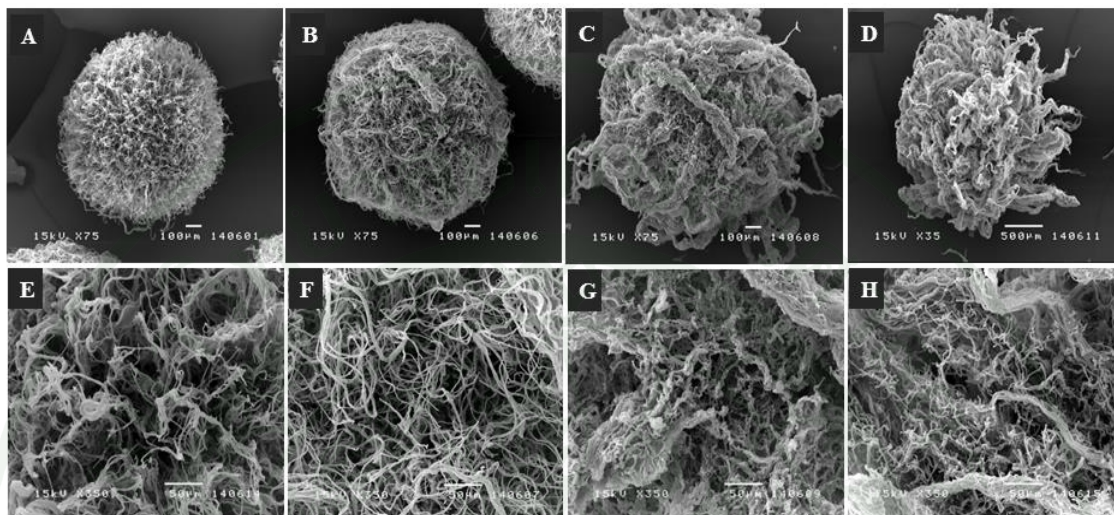
การเคลือบโคโตซานความเข้มข้นต่าง ๆ บนเม็ดราส่งผลต่อปริมาณและลักษณะของเม็ดราในระหว่างการกำจัดสีย้อม การทดลองนี้จึงศึกษาอิทธิพลของระดับความเข้มข้น โคโตซานต่อลักษณะปรากฏของเม็ดราด้วย SEM โดยวิเคราะห์พื้นผิวของเม็ดราที่เคลือบด้วยโคโตซานความเข้มข้นต่าง ๆ และไม่ผ่านการทำแห้ง เปรียบเทียบกับเม็ดราที่ไม่เคลือบด้วยโคโตซาน และไม่ผ่านการทำแห้ง ที่เวลาการกำจัดสีย้อมชั่วโมงที่ 72 ซึ่งเป็นเวลาที่สิ้นสุดการกำจัดสีย้อม

จากผลการศึกษาลักษณะพื้นผิวภายนอกของเม็ดราที่ไม่เคลือบและเคลือบด้วยโคโตซานความเข้มข้นต่าง ๆ พบว่า เม็ดราที่ไม่เคลือบด้วยโคโตซานมีลักษณะกลมและการเจริญของเส้นใยราหนาแน่นสม่ำเสมอทั่วทั้งเม็ด (ภาพที่ 11A) เมื่อเปรียบเทียบกับเม็ดราที่เคลือบด้วยโคโตซานความเข้มข้น 0.1 เปอร์เซ็นต์ (ภาพที่ 11B) ซึ่งมีลักษณะเม็ดค่อนข้างกลม แต่การเจริญของเส้นใยบางบริเวณมีความหนาแน่นไม่เท่ากัน ขณะที่เส้นใยที่เคลือบด้วยโคโตซานความเข้มข้น 0.5 และ 1.0 เปอร์เซ็นต์ มีเส้นใยบางส่วนเจริญแยกออกจากเม็ดราทำให้เม็ดราไม่มีความเป็นทรงกลมน้อยลง เมื่อ

ความเข้มข้นของไคโตซานเพิ่มขึ้น (ภาพที่ 11C และ 11D ตามลำดับ) นอกจากนี้เมื่อพิจารณา ลักษณะพื้นผิวเม็ตราที่กำลังขยาย 350 เท่า พบว่า เส้นใยที่ไม่เคลือบด้วยไคโตซาน (ภาพที่ 11E) มีลักษณะการกระจายตัวของเส้นใยที่สม่ำเสมอและเส้นใยเกาะกันอย่างหลวม ๆ สำหรับการเจริญของเส้นใยที่เคลือบด้วยไคโตซานความเข้มข้น 0.1, 0.5 และ 1.0 เปอร์เซ็นต์ พบว่า บางบริเวณราเจริญซ้อนทับกันมากกว่าปกติทำให้เส้นใยแต่ละบริเวณมีความหนาแน่นไม่เท่ากัน นอกจากนี้เส้นใยยังมีลักษณะบิดงอและจับกันเป็นกลุ่มซึ่งลักษณะดังกล่าวปรากฏมากขึ้นเมื่อความเข้มข้นของไคโตซานสูงขึ้น (ภาพที่ 11F, 11G และ 11H ตามลำดับ) จากลักษณะการเจริญของเส้นใยที่ซ้อนทับกันอาจเป็นผลมาจากการเคลือบติดของไคโตซานบนเม็ตราที่มีความไม่สม่ำเสมอหรือไคโตซานที่เกาะติดบนเม็ตราบางส่วนอาจละลายออกมาปนในน้ำสีย้อมบางส่วนเนื่องจากน้ำสีย้อมมีค่าพีเอชต่ำกว่า pKa ของไคโตซาน ดังนั้นจึงอาจเป็นไปได้ว่าราเจริญหนีออกจากบริเวณที่มีไคโตซานเคลือบติดอยู่จึงทำให้การเจริญของเส้นใยไม่สม่ำเสมอและไม่เป็นระนาบเดียวกันซึ่งจากลักษณะการเจริญของเส้นใยที่มีการกระจายตัวไม่สม่ำเสมอสอดคล้องกับงานวิจัยของ Roller and Covill (1999) ที่ศึกษาคุณสมบัติการยับยั้งการเจริญของรา (antifungal activity) ของไคโตซาน และพบว่าเส้นใยรา *Mucor racemosus* ที่เจริญบนอาหารแข็งผสมไคโตซานความเข้มข้น 1 กรัมต่อลิตร มีลักษณะการเจริญในแนวตั้งไม่แผ่ขยายเส้นใยตามแนวระนาบรัศมีเมื่อเปรียบเทียบกับลักษณะการเจริญของราบนอาหารแข็งที่ไม่ผสมไคโตซานเพื่อต้องการหลีกเลี่ยงการสัมผัสกับไคโตซาน นอกจากนี้ลักษณะเส้นใยที่บิดงอและจับกันเป็นกลุ่มอาจเป็นผลมาจากอิทธิพลของไคโตซานนอกจากไคโตซานแล้วสีย้อมยังเป็นอีกสาเหตุที่ทำให้ลักษณะการเจริญของเส้นใยเปลี่ยนแปลงไป สอดคล้องกับงานวิจัยของ Eichlerova *et al.* (2007) ซึ่งศึกษาอิทธิพลของสีย้อม RBBR ต่อการเจริญของเส้นใยรา *Dichomitus squalens* พบว่า สีย้อมส่งผลกระทบต่อการทำงานของ actin fiber ที่อยู่ในเซลล์ทำให้ลักษณะการเจริญของเส้นใยเปลี่ยนแปลงไป ดังนั้นจึงอาจกล่าวได้ว่า ทั้งไคโตซานและสีย้อมมีอิทธิพลต่อการเจริญของเส้นใยและทำให้ลักษณะเส้นใยเปลี่ยนแปลงไป โดยเมื่อความเข้มข้นของไคโตซานเพิ่มขึ้นจึงส่งผลกระทบต่อลักษณะการเจริญของเส้นใยมามากขึ้นเนื่องจากสีย้อมที่เกาะบนเม็ตราที่มีปริมาณมากขึ้น จากผลการวิเคราะห์พื้นผิวของเม็ตราหลังการกำจัดสีย้อมแสดงให้เห็นว่า การเคลือบไคโตซานบนเม็ตราส่งผลต่อลักษณะการเจริญของเส้นใยแต่ราที่เคลือบด้วยไคโตซานยังคงมีความสามารถในการกำจัดสีย้อมได้เช่นเดียวกับราที่ไม่เคลือบด้วยไคโตซาน นอกจากนี้การเคลือบไคโตซานยังสามารถเพิ่มประสิทธิภาพการกำจัดสีย้อมด้วยการเพิ่มความสามารถในการดูดซับสีย้อมบนราในช่วงแรกของการกำจัดสีย้อม

จากการศึกษาอิทธิพลของการเคลือบ *L. polychrous* Lévy ด้วยไคโตซานและผ่านการทำแห้งแบบฟลูอิดไรซ์เบด พบว่า ราที่เคลือบด้วยไคโตซานและผ่านการทำแห้งสามารถกำจัดสีย้อมได้ใกล้เคียงราที่ไม่ผ่านการทำแห้ง ซึ่งชี้ให้เห็นว่า การเคลือบราด้วยไคโตซานสามารถเพิ่ม

ประสิทธิภาพการกำจัดสีขึ้นอยู่กับวิธีการวิเคราะห์คุณสมบัติต่าง ๆ ที่เกิดขึ้นระหว่างการกำจัดสี เช่น การเปลี่ยนแปลงความยาวคลื่นของสีข้อม การวิเคราะห์กิจกรรมของเอนไซม์ และการวิเคราะห์หมู่ฟังก์ชันของเม็ดราที่เวลาการกำจัดสีข้อมต่าง ๆ สามารถช่วยให้เข้าใจกลไกการกำจัดสีข้อมของราที่เคลือบด้วยไคโตซานมากขึ้นซึ่งได้ศึกษาในการทดลองลำดับต่อไป



ภาพที่ 11 พื้นผิวภายนอกของเม็ดรา *L. polychrous* Lév. ที่เคลือบด้วยไคโตซานความเข้มข้นต่าง ๆ ที่เวลาการกำจัดสีข้อมชั่วโมงที่ 72 (A) เม็ดราที่ไม่เคลือบด้วยไคโตซาน (75x); (B) เม็ดราที่เคลือบด้วยไคโตซานความเข้มข้น 0.1 (75x); (C) 0.5 (75x); (D) 1.0 เปอร์เซ็นต์ น้ำหนักต่อปริมาตร (75x); (E) เส้นใยราที่ไม่เคลือบด้วยไคโตซาน (350x); (F) เส้นใยราที่เคลือบด้วยไคโตซานความเข้มข้น 0.1 (350x); (G) 0.5 (350x); (H) 1.0 เปอร์เซ็นต์ น้ำหนักต่อปริมาตร (350x)

2. การศึกษากลไกการกำจัดสีข้อมรีแอกทีฟผสมของ *L. polychrous* Lév. ที่เคลือบด้วยไคโตซานความเข้มข้นต่าง ๆ

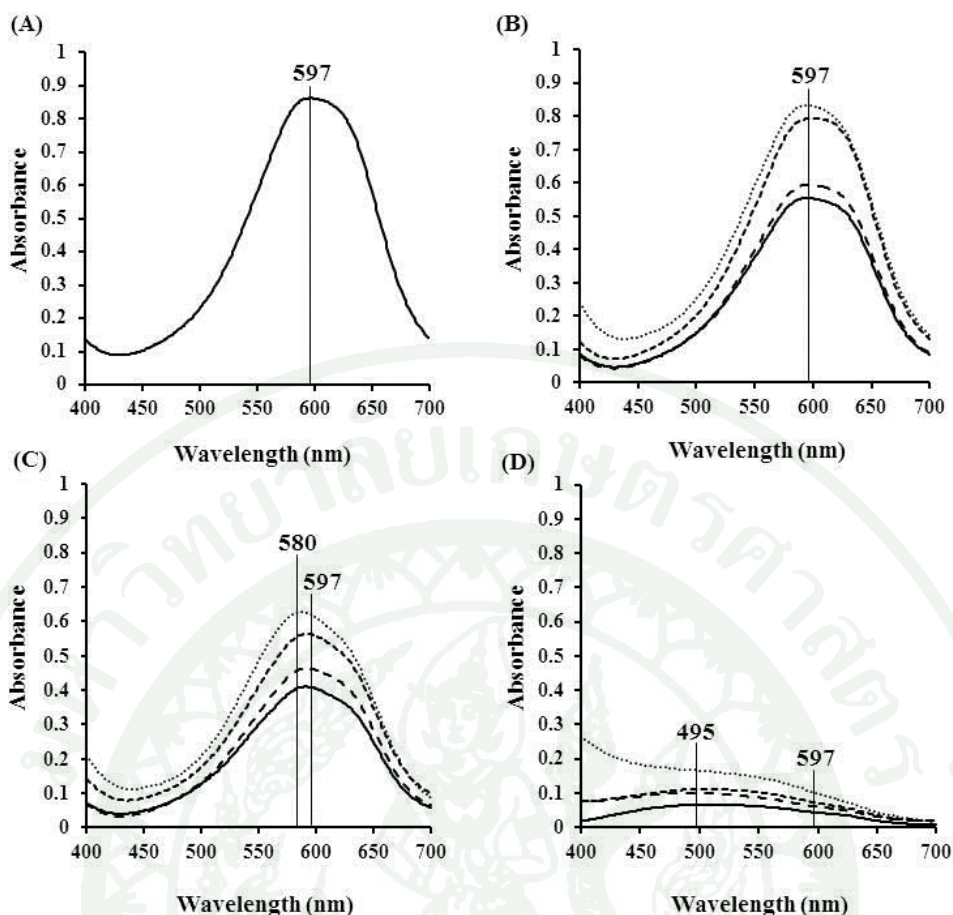
2.1 การวิเคราะห์การเปลี่ยนแปลงความยาวคลื่นของสีข้อมรีแอกทีฟผสมที่เวลาการกำจัดสีข้อมต่าง ๆ

เนื่องจากความยาวคลื่นสูงสุด (λ_m) ของสีข้อมเป็นคุณสมบัติเฉพาะของสีข้อม ดังนั้นการเปลี่ยนแปลง λ_m ระหว่างกระบวนการกำจัดสีข้อมโดยราที่เคลือบด้วยไคโตซาน จึงสามารถใช้บ่งชี้ถึงกลไกการกำจัดสีข้อมจากการเปลี่ยนแปลงคุณสมบัติของสีข้อมได้ การทดลองนี้จึงศึกษาการ

เปลี่ยนแปลง λ_m ของสีย้อมผสมที่ผ่านการกำจัดด้วยราที่ไม่เคลือบและเคลือบด้วยไคโตซานความเข้มข้น 0.1, 0.5 และ 1.0 เปอร์เซ็นต์ ที่เวลาการกำจัดสีย้อมชั่วโมงที่ 0, 6, 18, 30, 36 และ 72 โดยวิเคราะห์ค่าการดูดกลืนแสงในช่วงความยาวคลื่น 400 – 700 นาโนเมตร

จากผลการศึกษาค่า λ_m ของสีย้อมผสมที่ผ่านการกำจัดโดยราที่เคลือบด้วยไคโตซานความเข้มข้นต่าง ๆ พบว่า ที่เวลาการกำจัดสีย้อมชั่วโมงที่ 0 และ 6 (ภาพที่ 12A และ 12B ตามลำดับ) ค่า λ_m ของสีย้อมทั้งสองเวลามีค่าเท่ากับ 597 นาโนเมตร เมื่อพิจารณาที่เวลาการกำจัดสีย้อมชั่วโมงที่ 6 ค่าการดูดกลืนแสงของสีย้อมที่ผ่านการกำจัดด้วยราที่เคลือบด้วยไคโตซานมีค่าน้อยกว่าสีย้อมที่ผ่านการกำจัดด้วยราที่ไม่เคลือบด้วยไคโตซาน และค่าการดูดกลืนแสงยิ่งลดลงเมื่อความเข้มข้นของไคโตซานเพิ่มขึ้น อย่างไรก็ตามที่เวลาการกำจัดสีย้อมชั่วโมงที่ 18 และ 30 ของทุกสภาวะการเคลือบ ค่า λ_m ยังคงเท่ากับชั่วโมงที่ 0 ส่วนค่าการดูดกลืนแสงของสีย้อมยังคงใกล้เคียงกับที่ชั่วโมงที่ 6 (ข้อมูลไม่แสดง) สอดคล้องการปริมาณสีย้อมที่เวลาการกำจัดสีย้อมชั่วโมงที่ 6 – 30 ที่มีปริมาณค่อนข้างคงที่ นอกจากนี้เมื่อพิจารณาที่ชั่วโมงการกำจัดสีย้อมที่ 36 (ภาพที่ 12C) เห็นได้ว่าค่า λ_m ของทุกสภาวะการเคลือบมีการเปลี่ยนแปลงเล็กน้อยโดยเปลี่ยนจาก 597 นาโนเมตร เป็น 580 นาโนเมตร และค่าการดูดกลืนแสงของทุกสภาวะการเคลือบมีแนวโน้มลดลงอย่างต่อเนื่อง สอดคล้องกับปริมาณสีย้อมที่มีแนวโน้มลดลงจนกระทั่งสิ้นสุดการกำจัดสีย้อมที่ชั่วโมงที่ 72 (ภาพที่ 12D) ซึ่งเป็นเวลาที่ค่า λ_m ของน้ำสีย้อมเปลี่ยนแปลงมากที่สุดเมื่อเปรียบเทียบกับชั่วโมงที่ 0 โดยเปลี่ยนจาก 597 นาโนเมตร เป็น 495 นาโนเมตร จากผลการทดลองดังกล่าวสรุปได้ว่า ในช่วงเวลาการกำจัดสีย้อมชั่วโมงที่ 0 – 30 ค่า λ_m ของสีย้อมไม่มีการเปลี่ยนแปลงดังนั้นจึงกล่าวได้ว่าการลดลงของสีย้อมในช่วงเวลาดังกล่าวเกิดจากกลไกการดูดซับซึ่งเกิดจากหมู่ฟังก์ชันต่าง ๆ บนผนังเซลล์ราและหมู่อะมิโนของไคโตซานที่มีประจุเป็นบวกจับกับสีย้อมรีแอฟทีฟที่มีประจุเป็นลบด้วยแรงไฟฟ้าสถิตย์ (Knapp *et al.* 1995; Levin *et al.*, 2004; Zhou *et al.*, 2011) และเมื่อพิจารณาค่า λ_m ของสีย้อมหลังชั่วโมงที่ 36 เป็นต้นไป พบว่ามีการเปลี่ยนแปลงอย่างชัดเจนซึ่งเป็นข้อบ่งชี้ได้ว่าในช่วงเวลานี้การลดลงของสีย้อมเกิดจากกลไกการย่อยสลายทางชีวภาพ อย่างไรก็ตามการเปลี่ยนแปลง λ_m ของสีย้อมในช่วงเวลานี้อาจมีสาเหตุมาจากหลายปัจจัย เช่น การเปลี่ยนแปลงโครงสร้างสีย้อมบริเวณหมู่ที่ให้สี (Chromophore group) การเกิดสารเมตาบอลิตรีระหว่างกระบวนการกำจัดสีย้อม เป็นต้น

จากผลดังกล่าวจึงชี้ให้เห็นว่า การลดลงของสีย้อมเกิดจากการทำงานของกลไกที่ต่างกันตามช่วงเวลา ดังนั้นการทดลองต่อไปจึงเป็นการศึกษากลไกต่าง ๆ ที่เกิดขึ้นระหว่างการกำจัดสีย้อมด้วยราที่เคลือบด้วยไคโตซาน



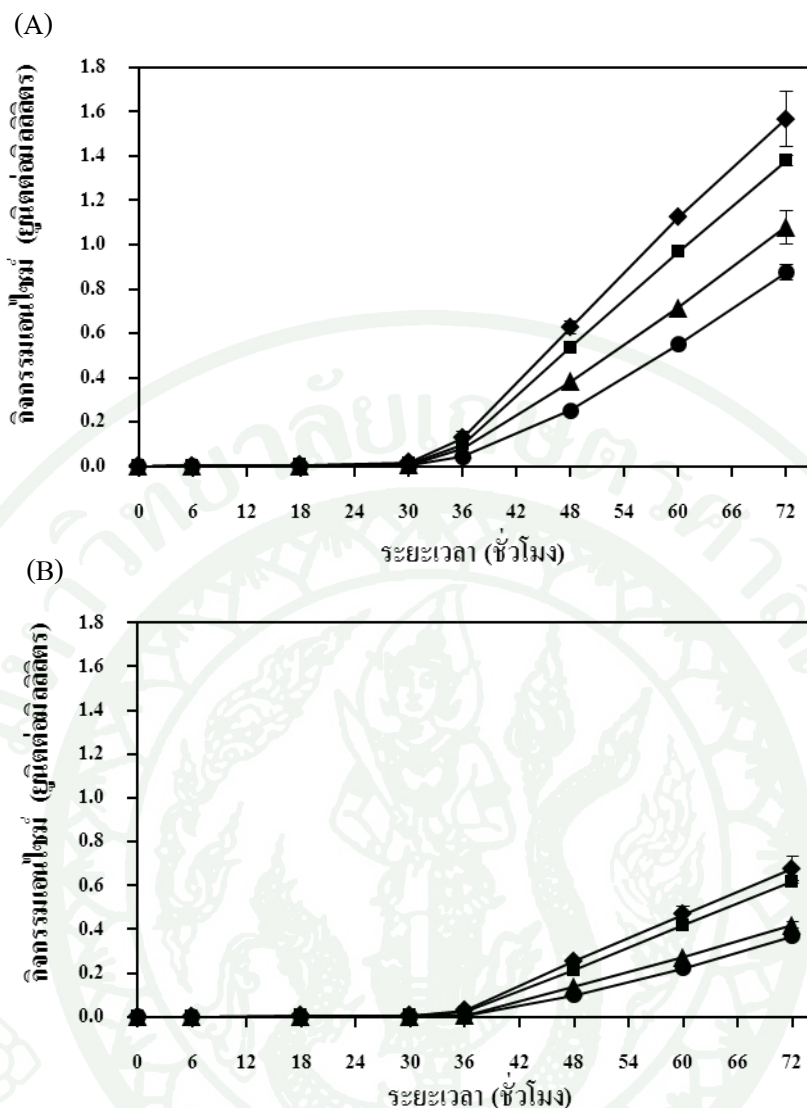
ภาพที่ 12 การเปลี่ยนแปลงความยาวคลื่นของสีข้อมริแอกทีฟผสมที่เวลาการกำจัดสีข้อมที่ชั่วโมงที่ (A) 0; (B) 6; (C) 36; (D) 72 โดย (.....) *L. polychrous* Lé. ที่ไม่เคลือบด้วยไคโตซาน; (- -) ที่เคลือบด้วยไคโตซานความเข้มข้น 0.1; (- · -) 0.5; (—) 1.0 เปอร์เซ็นต์น้ำหนักต่อปริมาตร

2.2 การวิเคราะห์กิจกรรมเอนไซม์ลิกนินโกลติกที่ผลิตโดย *L. polychrous* Lé. ที่เคลือบด้วยไคโตซานความเข้มข้นต่าง ๆ ระหว่างการกำจัดสีข้อมริแอกทีฟผสม

เพื่อเป็นการยืนยันว่าการลดลงของสีข้อมไม่ได้เกิดจากกลไกการดูดซับเท่านั้นแต่ยังเป็นผลมาจากกระบวนการย่อยสลายทางชีวภาพ ดังนั้นการทดลองนี้จึงศึกษาการสร้างกิจกรรมเอนไซม์ในกลุ่มลิกนินโกลติก ของ *L. polychrous* Lé. จากตัวอย่างราที่เคลือบด้วยไคโตซาน 0.1, 0.5 และ 1.0 เปอร์เซ็นต์ เปรียบเทียบกับราที่ไม่เคลือบด้วยไคโตซาน ซึ่งจากผลการทดลองเบื้องต้นพบว่า เราสามารถผลิตเอนไซม์แลคเคสและเอนไซม์แมงกานีสเปอร์ออกซิเดส แต่ไม่พบกิจกรรมของเอนไซม์ลิกนินเปอร์ออกซิเดส ซึ่งสอดคล้องกับงานของปัทมา (2551), Chitprasert *et al.* (2011) และ Budda *et al.* (2012)

จากผลการทดลองวิเคราะห์กิจกรรมของเอนไซม์แลคเคส (ภาพที่ 13A) และแมงกานีสเปอร์ออกซิเดส (ภาพที่ 13B) ระหว่างกระบวนการกำจัดสีข้อม โดยราที่ไม่เคลือบและเคลือบด้วยไคโตซานที่ความเข้มข้นต่าง ๆ พบว่า การเพิ่มขึ้นของกิจกรรมเอนไซม์ทั้ง 2 ชนิด มีลักษณะเช่นเดียวกัน โดยในช่วงเวลาที่ 0 – 30 กิจกรรมของเอนไซม์แลคเคสและแมงกานีสเปอร์ออกซิเดสมีปริมาณน้อยมาก ประมาณ 0.017 และ 0.007 ยูนิตต่อมิลลิลิตร ตามลำดับ และหลังจากช่วงเวลาที่ 30 เป็นต้นไป กิจกรรมของเอนไซม์ทั้ง 2 ชนิดมีปริมาณเพิ่มขึ้นเมื่อระยะเวลาการกำจัดสีข้อมเพิ่มขึ้นในทุกตัวอย่างซึ่งสอดคล้องกับงานวิจัยของ Radha *et al.* (2005) ที่พบว่ารา *Phanerochaete chrysosporium* เริ่มสร้างเอนไซม์ลิกนินโกลติกหลังจากช่วงเวลาที่ 24 ของการกำจัดสีข้อมและมีปริมาณสูงขึ้นเมื่อระยะเวลาการกำจัดสีข้อมเพิ่มขึ้น จากนั้นกิจกรรมของเอนไซม์ทั้ง 2 ชนิดที่ผลิตโดยราที่ไม่เคลือบและเคลือบด้วยไคโตซานเพิ่มขึ้นเมื่อระยะเวลาการกำจัดสีข้อมนานขึ้น สอดคล้องกับปริมาณสีข้อมที่ลดลงอย่างต่อเนื่องหลังจากเวลาการกำจัดสีข้อมช่วงเวลาที่ 30 และเมื่อพิจารณาที่ช่วงเวลาที่กำจัดสีข้อมที่ 72 ซึ่งเป็นช่วงเวลาที่สิ้นสุดกระบวนการกำจัดสีข้อม พบว่า ราที่ไม่เคลือบด้วยไคโตซานสามารถผลิตเอนไซม์ได้สูงสุด โดยมีกิจกรรมเอนไซม์แลคเคสและแมงกานีสเปอร์ออกซิเดสเป็น 1.57 และ 0.68 ยูนิตต่อมิลลิลิตร ตามลำดับ ขณะที่ราที่เคลือบด้วยไคโตซานสามารถผลิตเอนไซม์ได้น้อยลงเมื่อความเข้มข้นของไคโตซานเพิ่มขึ้นที่ 0.1, 0.5 และ 1.0 เปอร์เซ็นต์ ตามลำดับ นั่นคือ ที่ช่วงเวลาที่กำจัดสีข้อมที่ 72 มีกิจกรรมเอนไซม์แลคเคส 1.38, 1.08 และ 0.88 ยูนิตต่อมิลลิลิตรและกิจกรรมเอนไซม์แมงกานีสเปอร์ออกซิเดส 0.62, 0.42 และ 0.37 ยูนิตต่อมิลลิลิตรตามลำดับ ทั้งนี้อาจเป็นผลมาจากราปล่อยเอนไซม์ทางปลายเส้นใย (Kaushik and Malik, 2009) ดังนั้นปริมาณเซลล์ราจึงส่งผลต่อกิจกรรมเอนไซม์ ซึ่งสอดคล้องกับการทดลองเบื้องต้นที่ศึกษาปริมาณเซลล์ราด้วยการชั่งน้ำหนักของรา (ข้อมูลไม่แสดง) และพบว่า ปริมาณเซลล์ราที่ไม่เคลือบด้วยไคโตซานมีมากที่สุด รองลงมาเป็นราที่เคลือบด้วยไคโตซานความเข้มข้น 0.1, 0.5 และ 1.0 เปอร์เซ็นต์ ตามลำดับ นอกจากนี้จากผลการทดลองเห็นได้ว่าราสามารถผลิตเอนไซม์แลคเคสได้มากกว่าแมงกานีสเปอร์ออกซิเดส สอดคล้องกับงานวิจัยของ Chitprasert *et al.* (2011) ที่ศึกษาการกำจัดสีข้อม RBBR โดย *L. polychrous* Lév. ซึ่งพบว่าราผลิตเอนไซม์แลคเคสได้มากกว่าแมงกานีสเปอร์ออกซิเดส เช่นเดียวกับการศึกษาของ Budda *et al.* (2012) ที่พบว่า *L. polychrous* Lév. ผลิตเอนไซม์แลคเคสเป็นหลัก อย่างไรก็ตามยังไม่มีการวิจัยที่พบว่า *L. polychrous* Lév. สามารถผลิตเอนไซม์ที่สามารถย่อยสลายไคโตซานซึ่งอาจส่งผลต่อความสามารถการดูดซับสีข้อมทำให้ประสิทธิภาพการกำจัดสีข้อมลดลง

จากผลการทดลองดังกล่าวแสดงให้เห็นว่า เราสามารถกำจัดสีข้อมโดยใช้กระบวนการย่อยสลายทางชีวภาพ ซึ่งอาจส่งผลต่อการเปลี่ยนแปลงโครงสร้างของสีข้อม ดังนั้นการทดลองถัดไปจึงเป็นการศึกษาการเปลี่ยนแปลงหมู่ฟังก์ชันของสีข้อมและเม็ดราระหว่างกระบวนการกำจัดสีข้อม



ภาพที่ 13 กิจกรรมเอนไซม์ (A) แลคเคส และ (B) แมงกานีสเปอร์ออกซิเดส ซึ่งผลิตโดย (◆) *L. polychrous* Lév. ที่ไม่เคลือบด้วยไคโตซาน (■) ที่เคลือบด้วยไคโตซานความเข้มข้น 0.1; (▲) 0.5 และ (●) 1.0 เปอร์เซ็นต์น้ำหนักต่อปริมาตร และไม่ผ่านการทำแห้งแบบฟลูอิดไรเซชัน

2.3 การวิเคราะห์หุ้มน้ำฟุ้งกักกันของสีย้อมรีแอกทีฟผสมและ *L. polychrous* Lév. ที่เคลือบด้วยไคโตซานที่เวลาการกำจัดสีย้อมต่าง ๆ

การวิเคราะห์หุ้มน้ำฟุ้งกักกันของน้ำสีย้อมและเม็ดทรายที่เคลือบด้วยไคโตซานสามารถช่วยให้ทราบในเบื้องต้นถึงการเปลี่ยนแปลงของโครงสร้างของสีย้อมรวมถึงการเกาะติดของสีย้อมบนเม็ดทรายที่เคลือบด้วยไคโตซาน การทดลองนี้จึงวิเคราะห์หุ้มน้ำฟุ้งกักกันของน้ำสีย้อมรีแอกทีฟผสมและเม็ดทราย

ที่เคลือบด้วยไคโตซานความเข้มข้น 1.0 เปอร์เซ็นต์ ซึ่งเป็นสภาวะที่สามารถดูดซับสีย้อมรีแอคทีฟผสมได้มากที่สุด โดยการสังเกตการเปลี่ยนแปลงที่เกิดขึ้นที่เวลาการกำจัดสีย้อมต่าง ๆ ได้แก่ เวลาการกำจัดสีย้อมชั่วโมงที่ 0, 6 และ 48 ด้วยเครื่อง FTIR เพื่อศึกษาการเปลี่ยนแปลงหมู่ฟังก์ชันของเม็ดตราและน้ำสีย้อมในระหว่างกระบวนการกำจัดสีย้อม

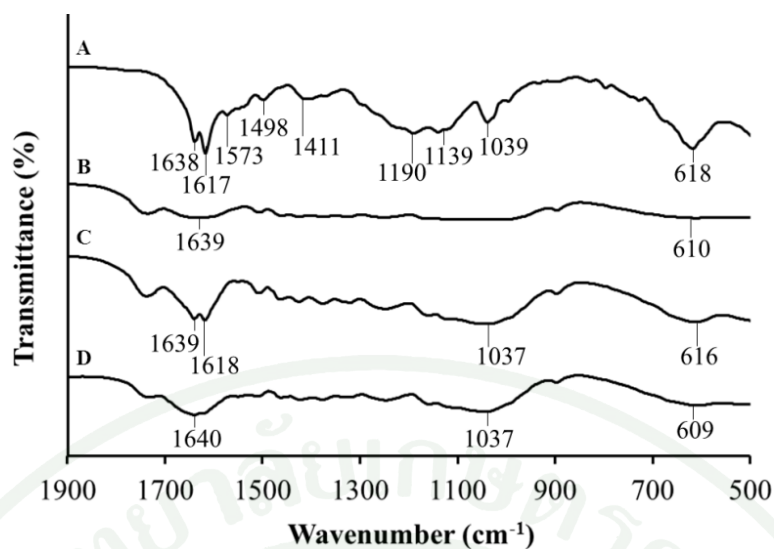
จากการศึกษาสเปกตรัมของเม็ดตราที่เคลือบด้วยไคโตซานที่ผ่านการกำจัดสีย้อมรีแอคทีฟผสมที่เวลาต่าง ๆ ด้วยเครื่อง FTIR ที่ช่วงความยาวคลื่น $1,900 - 500 \text{ cm}^{-1}$ สามารถช่วยอธิบายการเกาะติดของสีย้อมบนเม็ดตราได้ โดยผลการวิเคราะห์สเปกตรัมของสีย้อมรีแอคทีฟผสม 3 ชนิด ที่เวลาการกำจัดสีย้อมชั่วโมงที่ 0 (ภาพที่ 14A) พบ พิค (peak) ที่แสดงว่าเป็นหมู่ที่ทำให้เกิดสี (Chromophore group) ได้แก่ $1,638$ และ $1,498 \text{ cm}^{-1}$ โดยพิกดังกล่าวเป็นลักษณะของโครงสร้างแบบอะโซ (-N=N-) (Dizge *et al.*, 2008; Pachhade *et al.*, 2009) ซึ่งเป็นหมู่ให้สีของสีย้อม Reactive blue 160 สำหรับพิกที่ตำแหน่ง $1,617 \text{ cm}^{-1}$ แสดงถึงองค์ประกอบของโครงสร้างแบบแอนทราควิโนนที่เป็นหมู่ให้สีของสีย้อม Reactive blue 19 (Fanchiang and Tseng, 2009) ส่วนพิกที่ตำแหน่ง $1,573 \text{ cm}^{-1}$ แสดงถึงหมู่ฟังก์ชันที่เป็นองค์ประกอบของโครงสร้างแบบไตรฟิโนไดออกซาซีนซึ่งเป็นหมู่ให้สีของสีย้อม Reactive blue 198 (Rajkumar and Muthukumar, 2011) นอกจากนี้ยังพบพิกที่ตำแหน่ง $1,190 \text{ cm}^{-1}$ ซึ่งเป็นหมู่ฟังก์ชันที่เป็นตัวเชื่อมระหว่างวงอะโรมาติกของสีย้อม Reactive blue 19 (Fanchiang and Tseng, 2009) ขณะเดียวกันพบพิกที่ตำแหน่ง $1,139$ ซึ่งเป็นหมู่ฟังก์ชันของซัลโฟเนตที่สามารถทำให้สีย้อมแสดงประจุเป็นลบ (Chitprasert *et al.*, 2011) เมื่อศึกษาสเปกตรัมของเม็ดตราที่เคลือบด้วยไคโตซาน ที่เวลาการกำจัดสีย้อมชั่วโมงที่ 0 (ภาพที่ 14B) พบพิกที่ตำแหน่ง $1,639 \text{ cm}^{-1}$ ซึ่งแสดงถึงหมู่ฟังก์ชันที่เป็นองค์ประกอบของหมู่อะมิโน (Mohacek-Grosev *et al.*, 2001) ที่เป็นองค์ประกอบของผนังเซลล์ตราและไคโตซานซึ่งสามารถแสดงประจุเป็นบวก จากผลการวิเคราะห์ดังกล่าวจึงยืนยันได้ว่าเม็ดตราที่เคลือบด้วยไคโตซานและสีย้อมมีหมู่ฟังก์ชันที่สามารถจับกันได้

จากการศึกษาสเปกตรัมของเม็ดตราที่เคลือบด้วยไคโตซานที่เวลาการกำจัดสีย้อมชั่วโมงที่ 6 (ภาพที่ 14C) พบ พิกตำแหน่ง $1,618 \text{ cm}^{-1}$ ซึ่งแสดงลักษณะเฉพาะ (Fingerprint) ของสีย้อม Reactive blue 19 นอกจากนี้ยังพบพิกที่ตำแหน่ง $1,639 \text{ cm}^{-1}$ ซึ่งเป็นตำแหน่งของหมู่อะมิโนและ $1,037 \text{ cm}^{-1}$ ซึ่งเป็นหมู่ฟังก์ชันที่เป็นลักษณะเฉพาะของสีย้อม Reactive blue 160 มีลักษณะแหลมมากขึ้น จากลักษณะดังกล่าว ซึ่งให้เห็นว่า สีย้อมเกิดการเกาะติดบนเม็ดตราที่เคลือบด้วยไคโตซานโดยการจับกันระหว่างไอออนบวกของหมู่อะมิโนที่อยู่บนเม็ดตราที่เคลือบด้วยไคโตซานและไอออนลบของหมู่ซัลโฟเนตของสีย้อมด้วยแรงไฟฟ้าสถิตย์ และเมื่อศึกษาสเปกตรัมของน้ำสีย้อมรีแอคทีฟผสมที่เวลาการกำจัดสีย้อมชั่วโมงที่ 6 (ภาพที่ 15B) พบว่ามีลักษณะเช่นเดียวกันกับที่เวลาการกำจัดสีย้อม

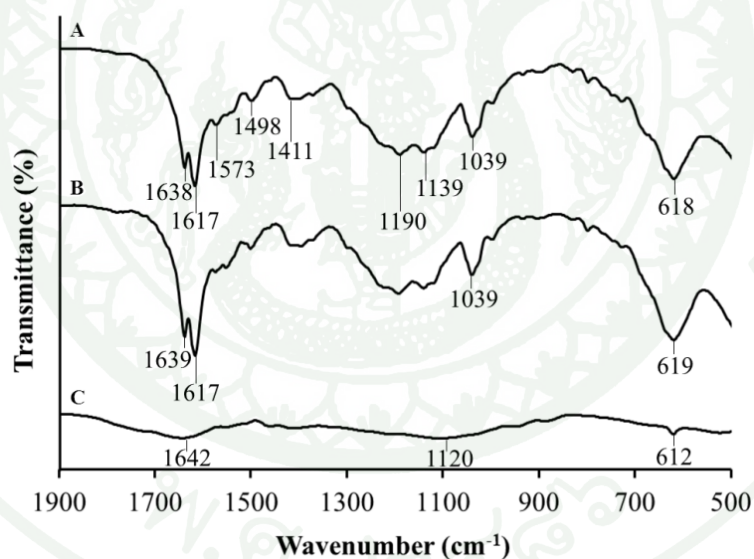
ชั่วโมงที่ 0 (ภาพที่ 14A และ 15A) จากลักษณะปรากฏของสเปกตรัมของเม็คราและน้ำสีที่เวลาการกำจัดสีย้อมชั่วโมงที่ 6 ซึ่งให้เห็นว่า โครงสร้างของสีย้อมไม่เกิดการเปลี่ยนแปลง ดังนั้นจึงสามารถยืนยันได้ว่าการลดลงของสีย้อมที่เวลานี้เป็นผลมาจากกลไกการดูดซับสอดคล้องกับผลการทดลองเรื่องการเปลี่ยนแปลงความยาวคลื่นสูงสุดของสีย้อม

เมื่อศึกษาสเปกตรัมของเม็คราที่เคลือบด้วยไคโตซานที่เวลาการกำจัดสีย้อมชั่วโมงที่ 48 (ภาพที่ 14D) พบว่า ไม่ปรากฏพีกในตำแหน่งที่แสดงลักษณะเฉพาะของสีย้อม แต่ยังคงพบพีกที่แสดงองค์ประกอบของเซลล์รา (1,640 และ 609 cm^{-1}) และเมื่อพิจารณาสเปกตรัมของน้ำสี (ภาพที่ 15C) พบว่า พีกตำแหน่ง 1,642 cm^{-1} มีลักษณะเล็กและตื้นขึ้นอย่างชัดเจนเมื่อเปรียบเทียบกับสเปกตรัมของสีย้อมเริ่มต้น (ภาพที่ 15A) จากผลดังกล่าวแสดงให้เห็นว่า การลดลงของสีย้อมที่เวลานี้ไม่ได้เกิดจากกลไกการดูดซับแต่เกิดจากกลไกการย่อยสลายทางชีวภาพโดยทำงานของเอนไซม์ที่ราผลิตขึ้นส่งผลต่อการเปลี่ยนแปลงของโครงสร้างสีย้อมทำให้พีกที่แสดงลักษณะเฉพาะของสีย้อมหายไป

จากการศึกษา spectrum ของเม็คราและน้ำสีที่เวลาการกำจัดสีย้อมต่าง ๆ สามารถช่วยยืนยันกลไกการกำจัดสีย้อมของราที่เคลือบด้วยไคโตซานได้ โดยกลไกที่ทำหน้าที่หลักในช่วงเวลาการกำจัดสีย้อมก่อนชั่วโมงที่ 30 คือ กลไกการดูดซับและในช่วงเวลาการกำจัดสีย้อมหลังจากชั่วโมงที่ 30 เป็นกลไกการย่อยสลายทางชีวภาพและจากการทดลองทั้งหมดสามารถช่วยอธิบายกลไกการกำจัดสีย้อมโดย *L. polychrous* Lév. ที่เคลือบด้วยไคโตซานได้อย่างชัดเจน



ภาพที่ 14 FTIR สเปกตรัมของ *L. polychrous* Lévy. ที่เคลือบด้วยไคโตซานความเข้มข้น 1.0 เปอร์เซ็นต์น้ำหนักต่อปริมาตร ที่เวลาการกำจัดสีย้อมชั่วโมงต่าง ๆ (A) สีย้อมรีแอคทีฟผสมชั่วโมงที่ 0; (B) เม็ดราที่เวลาการกำจัดสีย้อมชั่วโมงที่ 0; (C) 6; (D) 48



ภาพที่ 15 FTIR สเปกตรัมของน้ำสีรีแอคทีฟผสมที่ผ่านการกำจัดสีย้อมโดย *L. polychrous* Lévy. ที่เคลือบด้วยไคโตซานความเข้มข้น 1.0 เปอร์เซ็นต์น้ำหนักต่อปริมาตร ที่เวลาการกำจัดสีย้อมชั่วโมงต่าง ๆ (A) ชั่วโมงที่ 0; (B) ชั่วโมงที่ 6; (C) ชั่วโมงที่ 48

สรุปและข้อเสนอแนะ

สรุป

จากการศึกษาการกำจัดสีย้อมรีแอคทีฟผสมโดย *L. polychrous* Lév. ที่เคลือบด้วยไคโตซาน และผ่านการทำแห้งแบบฟลูอิดไรซ์เบด เพื่อเพิ่มประสิทธิภาพการกำจัดสีย้อมโดยการศึกษาสมบัติทางด้านกายภาพของเม็คราที่เคลือบด้วยไคโตซานตลอดจนกลไกต่าง ๆ ที่เกิดขึ้นระหว่างกระบวนการกำจัดสีย้อม ผลการทดลองพบว่า ไคโตซานเป็นสารที่สามารถเกาะติดบนเม็คราได้ โดยที่ความเข้มข้นสูงขึ้นทำให้การเคลือบติดมากขึ้นตลอดจนพื้นผิวของเม็ครามีลักษณะเรียบมากขึ้นซึ่งราที่ผ่านการเคลือบด้วยไคโตซานยังคงความสามารถเจริญได้ 100 เปอร์เซ็นต์ แต่มีลักษณะการเจริญของเส้นใยราเปลี่ยนแปลงไป เมื่อทดสอบความสามารถในการกำจัดสีย้อม พบว่า ราที่เคลือบด้วยไคโตซานสามารถกำจัดสีย้อมได้เร็วกว่าราที่ไม่เคลือบด้วยไคโตซานทั้งนี้เป็นผลจากการเคลือบไคโตซานบนเม็คราทำให้สีย้อมเกาะติดบนเม็ครามากขึ้นส่งผลให้ราสามารถย่อยสีย้อมได้เร็วขึ้นซึ่งให้ผลเช่นเดียวกันทั้งในราที่ผ่านการทำแห้งและไม่ผ่านการทำแห้งแบบฟลูอิดไรซ์เบด ซึ่งให้เห็นว่าการเคลือบไคโตซานบนเม็คราช่วยเพิ่มประสิทธิภาพการกำจัดสีย้อม นอกจากนี้ การศึกษากลไกการกำจัดสีย้อมที่เกิดขึ้นระหว่างการกำจัดสีย้อมโดยราที่เคลือบด้วยไคโตซานความเข้มข้นต่าง ๆ ด้วยการวิเคราะห์การเปลี่ยนแปลงความยาวคลื่นสูงสุดของสีย้อมรีแอคทีฟผสม การวิเคราะห์กิจกรรมเอนไซม์ และการวิเคราะห์หมู่ฟังก์ชันของเม็คราและน้ำสกัดด้วยเครื่อง FTIR จากผลการวิเคราะห์ดังกล่าว จึงสามารถสรุปได้ว่า ราที่เคลือบด้วยไคโตซานสามารถกำจัดสีย้อมโดยกลไกการดูดซับร่วมกับกลไกการย่อยสลายทางชีวภาพ โดยในช่วงเวลาที่ 0 – 30 การลดลงของสีย้อมเกิดจากกลไกการดูดซับเป็นหลักและหลังจากช่วงเวลาที่ 30 การลดลงของสีย้อมเกิดจากกลไกการย่อยสลายทางชีวภาพเป็นหลัก

ข้อเสนอแนะ

1. ศึกษาการกำจัดสีย้อมผสมชนิดอื่น ๆ โดย *L. polychrous* Lév. ที่เคลือบด้วยไคโตซาน ซึ่งจะเป็นการยืนยันได้ว่าราที่เคลือบด้วยไคโตซานสามารถกำจัดสีย้อมได้หลากหลายชนิด เพื่อนำมาใช้เป็นต้นแบบสำหรับการบำบัดน้ำเสียจริงในอนาคต

2. ศึกษาอายุการเก็บรักษาของ *L. polychrous* Lév. ที่เคลือบด้วยไคโตซานและผ่านการทำแห้งแบบฟลูอิดไรซ์เบด เพื่อเป็นการพัฒนาผลิตภัณฑ์ราเคลือบไคโตซานแห้งในอนาคต



เอกสารและสิ่งอ้างอิง

- จันทนา ไพโรบูรณ์. 2546. การเลี้ยงสาหร่ายทะเล *Dunaliella salina* 1197 ที่ผลิตเบต้าแคโรทีนใน
 ปอกลางแห้งเพื่อผลิตผลิตภัณฑ์เซลล์เบต้าแคโรทีนแห้งโดยวิธีฟลูอิดไชน์เบด. วิทยานิพนธ์
 ปริญญาโท, มหาวิทยาลัยเกษตรศาสตร์.
- ศุภฤกษ์ สุนทรารุณ. 2531. การออกแบบลายพิมพ์. พิมพ์ครั้งที่ 5. สำนักพิมพ์โอเดียนสโตร์,
 กรุงเทพฯ.
- นฤมล ศิริทรงธรรม. 2548. การย้อมสีเส้นไหม. คัลเลอร์เวย์. 58: 52 – 54.
- ปัทมา พลอยสว่าง. 2551. อิทธิพลของอายุ สภาวะแวดล้อม และการกระตุ้นการเจริญต่อการกำจัด
 สีย้อมสังเคราะห์โดย *Lentinus polychrous* Lév. ที่ผ่านการทำให้แบบฟลูอิดไชน์.
 วิทยานิพนธ์ปริญญาโท, มหาวิทยาลัยเกษตรศาสตร์.
- สมบูรณ์ ธนาสุภวัฒน์. 2539. เทคนิคการเก็บรักษาจุลินทรีย์. จุฬาลงกรณ์มหาวิทยาลัย, กรุงเทพฯ.
- สำนักสารนิเทศ กระทรวงสาธารณสุข. 2551. ผลงานนักวิจัยม.เทคโนโลยีสารสนเทศต่างรักษา
 เบาทหวาน-เอดส์. ข่าวสาธารณสุขภูมิภาค. แหล่งที่มา:
http://www.moph.go.th/ops/iprg/iprg_new/page/search_news.php, 1 พฤศจิกายน 2551.
- Akhtar, S., A. A. Khan and Q. Husain. 2005. Partially purified bitter gourd (*Momordica
 charantia*) peroxidase catalyzed decolorization of textile and other industrially important
 dyes. **Bioresource Technol.** 96: 1804-1811.
- Al-Degs, Y.S., M.I. El-Barghouthi, A.H. El-Sheikh and G.M. Walker. 2008. Effect of solution
 pH, ionic strength, and temperature on adsorption behavior of reactive dyes on activated
 carbon. **Dyes Pigments** 77: 16-13.
- Allan, C.R. and L.A. Hadwiger. 1979. The fungicidal effect of chitosan on fungi of varying
 cell wall composition. **Exp. Mycol.** 3: 285-287.

- Annadurai, G., L.Y. Ling and J.F. Lee. 2008. Adsorption of reactive dye from an aqueous solution by chitosan: isotherm, kinetic and thermodynamic analysis. **J. Hazard. Mater.** 152: 337–346.
- Banat, I.M., P. Nigam, D. Singh and R. Marchant. 1996. Microbial decolorization of textile-dye-containing effluents : a review. **Bioresource Technol.** 58: 217-227.
- Bayramoglu, G., G. Celik and M.Y. Arica. 2006. Biosorption of Reactive Blue 4 dye by native and treated fungus *Phanerocheate chrysosporium*: Batch and continuous flow system studies. **J. Hazard. Mater.** 137: 1689–1697.
- Bourbonnais R. and M.G. Paice. 1990. Oxidation of non-phenolic substrates an expanded role for lactase in lignin biodegradation. **FEBS Lett.** 1:99-102.
- Budda, W., R. Sarnthima, S. Khammuang, N. Milintawisamai and S. Naknil. 2012. Ligninolytic enzymes of *Lentinus polychrous* grown on solid substrates and its application in black liquor treatment. **J. Biol. Sci.** 12: 25-33.
- Castillo, M.D., J. Stenstrom and P. Ander. 1994. Determination of manganese peroxidase activity with 3-methyl-2-benzothiazolinone hydrazone and 3-(dimethylamino) benzoic acid. **Anal. Biochem.** 218: 399-404.
- Chen, C.H., C.F. Chang, C.H. Ho, T.L. Tsai and S.M. Liu. 2008. Biodegradation of crystal violet by *Shewanella* sp. NTOU1. **Chemosphere** 72: 1712-1720.
- Chiou, M.S., P.Y. Ho and H.Y. Li. 2004. Adsorption of anionic dyes in acid solutions using chemically cross-linked chitosan beads. **Dyes Pigm.** 60: 69–84.

- Chitprasert, P., P. Ploysawang, R. Wangpradit and A. Rodklongtan. 2011. Decolorization of Remazol Brilliant Blue R by fluidized-bed dried *Lentinus polychrous* Lév. **Suranaree J. Sci. Technol.** 18: 217-228.
- Choudhury, A.K.R. 2006. **Textile preparation and dyeing.** Science Publishers., Enfield, New York.
- Ciullini, I., S. Tilli, A. Scozzafava and F. Briganti. 2008. Fungal laccase, cellobiose dehydrogenase, and chemical mediators: Combined actions for the decolorization of different classes of textile dyes. **Bioresource Technol.** 99: 7003–7010.
- Crini, G. and P.M. Badot. 2008. Application of chitosan, a natural aminopolysaccharide, for dye removal from aqueous solutions by adsorption processes using batch studies: A review of recent literature. **Prog. Polym. Sci.** 33: 399-447.
- Daneshvar, N., M. Ayazloo., A.R. Khataee and M. Pourhassan. 2007. Biological decolorization of dye solution containing Malachite Green by microalgae *Cosmarium* sp. **Bioresource Technol.** 98:1176–1182.
- Eichlerova, I., L. Homolka, O. Benada, O. Kofronova, T. Hubalek and F. Nerud. 2007. Decolorization of Orange G and Remazol Brilliant Blue R by the white rot fungus *Dichomitus squalens*: Toxicological evaluation and morphological study. **Chemosphere** 69:795–802.
- Forgacs, E., T. Cserhati and G. Oros. 2004. Removal of synthetic dyes from wastewaters: a review. **Environ. Int.** 30; 953-971.
- Fu, Y. and T. Viraraghavan. 2001. Fungal decolorization of dye wastewater: a review. **Bioresource Technol.** 79: 252-262.

- Gadd, G.M. 1993. Tansley review No .47 Interactions of fungi with toxic metals. **New Phytol.** 124: 25-6.
- Gassara, F., S.K. Brar, R.D. Tyagi, M. Verma and R.Y. Surampalli. 2010. Screening of agro-industrial wastes to produce ligninolytic enzymes by *Phanerochaete chrysosporium*. **Biochem. Eng. J.** 49:388–394.
- Hamedaani, H.R.K., A. Sakurai and M. Sakakibara. 2007. Decolorization of synthetic dyes by new manganese peroxidase-producing white rot fungus. **Dyes Pigments** 72: 157-162.
- Horwitz, W. 2000. **Official method of analysis of AOAC international.** AOAC international., Maryland, USA.
- Jiang, X., Y. Sun, L. Liu, S. Wang and X. Tian. 2014. Adsorption of C.I. Reactive Blue 19 from aqueous solutions by porous particles of the grafted chitosan. **Chem. Eng. J.** 235: 151–157.
- Khammuang, S. and R. Sarnthima. 2007. Laccase from spent mushroom compost of *Lentinus polychorus* Lev. And its potential for Remazol Brilliant Blue R decolourisation. **Biotechnology** 6: 408-413.
- Kaushik, P. and A. Malik. 2009. Fungal dye decolourization: Recent advances and future potential. **Environ. Int.** 35: 127-141.
- Kirby, N., R. Marchant and G. McMullan. 2000. Decolourisation of synthetic textile dyes by *Phlebia tremellosa*. **FEMS Microbiol. Lett.** 188: 93-96.
- Kolekar, Y.M., S.P. Pawar, K.R. Gawai, P.D. Lokhande, Y.S. Shouche and K.M. Kodam. 2008. Decolorization and degradation of Disperse Blue 79 and Acid Orange 10 by *Bacillus fusiformis* KMK5 isolated from the textile dye contaminated soil. **Bioresource Technol.** 99: 8999–9003.

- Kumar, M.N.V.R. 2000. A review of chitin and chitosan applications. **React. Funct. Polym.** 46: 1-27.
- Levin, L., L. Papinutti and F. Forchiassin. 2004. Evaluation of Argentinean white rot fungi for their ability to produce lignin-modifying enzymes and decolorize industrial dyes. **Bioresource Technol.** 94: 169–176.
- Levin, L., F. Forchiassina and A. Vialeb. 2005. Ligninolytic enzyme production and dye decolorization by *Trametes trogii*: application of the Plackett–Burman experimental design to evaluate nutritional requirements. **Process Biochem.** 40: 1381–1387.
- Mazmanci M.A. and A. Unyayar. 2005. Decolourisation of Reactive Black 5 by *Funalia trogii* immobilised on *Luffa cylindrica* sponge. **Process Biochem.** 40: 337–342.
- Momenzadeh, H., A.R. Tehrani-Bagha, A. Khosravi, K. Gharanjig and K. Holmberg. 2011. Reactive dye removal from wastewater using a chitosan nanodispersion. **Desalination.** 271: 225–230.
- Novotny, C., B. Rawal, M. Bhatt, M. Patel, V. Sasek and H.P. Molitoris. 2001. Capacity of *Irpex lacteus* and *Pleurotus ostreatus* for decolorization of chemically different dyes. **J. Biotechnol.** 89: 113-122.
- Orfao, J.J.M., A.I.M. Silva, J.C.V. Pereira, S.A. Barata, I.M. Fonseca, P.C.C. Faria and M.F.R. Pereira. 2006. Adsorption of a reactive dye on chemically modified activated carbons influence of pH. **J. Colloid Interf. Sci.** 296: 480-489.
- Palma-Guerrero, J., J.A. Lopez-Jimenez, A.J. Pérez-Berná, I.C. Huang, H.B. Jansson, J. Salinas, J. Villalaín, N.D. Read and L.V. Lopez-Llorca. 2010. Membrane fluidity determines sensitivity of filamentous fungi to chitosan. **Mol. Microbiol.** 75: 1021-1032.

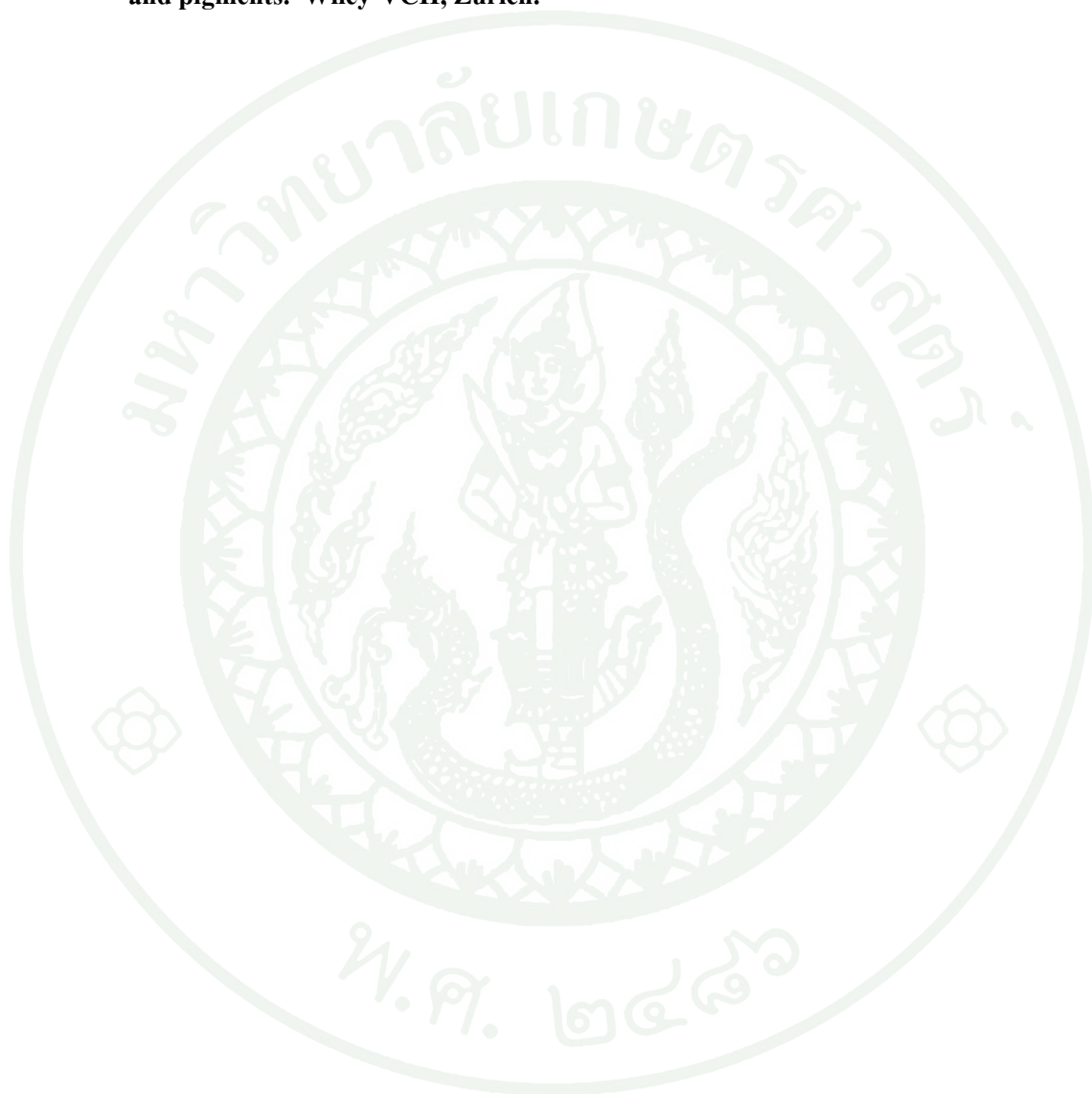
- Palmieri, G., G. Cennamo and G. Sammia. 2005. Remazol Brilliant Blue R decolorization by the fungus *Pleurotus ostreatus* and its oxidative enzyme system. **Enzyme Microb. Technol.** 36: 17-24.
- Pearce, C.I., J.R. Lloyd, J.T. Guthrie. 2003. The removal of colour from textile wastewater using whole bacterial cells: a review. **Dyes Pigments** 58: 179 – 196.
- Pegler, D.N. 1983. **The genus Lentinus : a world monography.** Her Majesty's Stationery Office, London.
- Pepic, I., J. Filipovic-Grcic and I. Jalsenjak. 2008. Interactions in a nonionic surfactant and chitosan mixtures. **Colloid Surface A** 327: 95-102.
- Pukahuta, C., P. Suwanarit, E. Shianagawa, H. Hoshida and Y. Nishizawa. 2004. Combination of laccase, xylanase and cellulose in lignocellulose degradation by white rot fungi, *Lentinus polychrous* Lev. And *L. squarrosulus* Mont. **Kasetsart J.** 38: 65-72.
- Radha, K.V., I. Regupathi, A. Arunagiri and T. Murugesan. 2005. Decolorization studies of synthetic dyes using *Phanerochaete chrysosporium* and their kinetics. **Process Biochem.** 40: 3337-3345.
- Revankar, M.S. and S.S. Lele. 2007. Synthetic dye decolorization by white rot fungus, *Ganoderma* sp. WR-1. **Bioresource Technol.** 98: 775-780.
- Rinaudo, M. 2006. Chitin and chitosan: Properties and applications. **Prog. Polym. Sci.** 31: 603-632.
- Robinson, T., G. McMullan, R. Marchant and P. Nigam. 2001. Remediation of dyes in textile effluent: a critical review on current treatment technologies with a proposed alternative. **Bioresource Technol.** 77: 247-255.

- Roller, S. and N. Covill. 1999. The antifungal properties of chitosan in laboratory media and apple juice. **Int. J. Food Microbiol.** 47: 67-77.
- Saparrat, M.C.N., P. Mocchiutti, C.S. Liggieri, M.B. Aulicino, N.O. Caffini, P.A. Balatti, M.J. Martinez. 2008. Ligninolytic enzyme ability and potential biotechnology applications of the white-rot fungus *Grammothele subargentea* LPSC no. 436 strain. **Process Biochem.** 43: 368–375.
- Sakkayawong, N., P. Thiravetyan and W. Nakbanpote. 2005. Adsorption mechanism of synthetic reactive dye wastewater by chitosan. **J. Colloid Interf. Sci.** 286: 36-42.
- Saratale, R.G., J.S. Chang and S.P. Govindwar. 2011. Bacterial decolorization and degradation of azo dyes: A review. **J. Taiwan Inst. Chem. E.** 42: 138-157.
- Say, R., A. Denizli and M.Y. Aroca. 2001. Biosorption of cadmium (II), lead (II) and copper (II) with the filamentous fungus *Phanerochaete chrysosporium*. **Bioresource Technol.** 76: 67-70.
- Shukla, S.K., A.K. Mishra, O.A. Arotiba and B.B. Mamba. Chitosan-based nanomaterials: A state-of-the-art review. **Int. J. Biol. Macromol.** 59: 46-58.
- Selvam, K., K. Swaminathan and K.S. Chae. 2003. Decolourization of azo dyes and a dye industry effluent by a white rot fungus *Thelephora* sp. **Bioresource Technol.** 88:115–119.
- Si, J., B.K. Cui and Y.C. Dai. 2013. Decolorization of chemically different dyes by white-rot fungi in submerged cultures. **Ann. Microbiol.** 63: 1099 – 1108.
- Singh, T., D. Vesentini, A.P. Singh and G. Daniel. 2008. Effect of chitosan on physiological, morphological, and ultrastructural characteristics of wood-degrading fungi. **Int. Biodeter. Biodegr.** 62: 116-124.

- Strand, S.P., M.S. Vandvik, K.M. Varum, and K. Ostgaard. 2001. Screening of chitosans and conditions for bacterial flocculation. **Biomacromolecules** 2: 126-133.
- Sumathi, S. and B.S. Manju. 2000. Uptake of reactive textile dyes by *Aspergillus foetidus*. **Enzyme Microb. Technol.** 27: 347-355.
- Suwannawong, P., S. Khammuang and R. Sarnthima. 2010. Decolorization of rhodamine B and congo red by partial purified laccase from *Lentinus polychrous* Lév. **J. Biochem. Tech.** 3: 182-186.
- Tychanowicz, G. K., A. Zilly, C.G.M. Souza and R.M. Peralta. 2004. Decolourisation of Industrial dyes by solid-state cultures of *Pleurotus pulmonarius*. **Process Biochem.** 39: 855–859.
- Tein, M. And K. Kirk. 1984. Lignin-degrading enzyme from *Phanerochaete chrysosporium*: Purification, characterization, and catalytic properties of a unique H₂O₂ – requiring oxygenase. **Proc. Nat. Acad. Sci. USA** 81: 2280-2284.
- Young, L. and J. Yu. 1997. Ligninase-catalysed decolorization of synthetic dyes. **Water Res.** 31: 1187-1193.
- Yu, G., X. Wen, R. Li and Y. Qian. 2006. In vitro degradation of a reactive azo dye by crude ligninolytic enzymes from nonimmersed liquid culture of *Phanerochaete chrysosporium*. **Process Biochem.** 41: 1987–1993.
- Zakrzewska, A., A. Boorsma, D. Delneri, S. Brul, S.G. Oliver and F.M. Klis. 2007. Cellular processes and pathways that protect *Saccharomyces cerevisiae* cells against the plasma membrane-perturbing compound chitosan. **Eukaryot. Cell** 6: 600-608.

Zhou, L., J. Jin, Z. Liu, X. Liang and C. Shang. 2012. Adsorption of acid dyes from aqueous solutions by the ethylenediamine-modified magnetic chitosan nanoparticles. **J. Hazard. Mater.** 185: 1045-1052.

Zollinger, H. 2003. **Color chemistry : syntheses, properties, and applications of organic dyes and pigments.** Wiley-VCH, Zurich.







อาหารเลี้ยงเชื้อ

1. อาหารเลี้ยงเชื้อ Potato Dextrose Agar (PDA, Merck, Germany)

เตรียมอาหารเลี้ยงเชื้อ PDA ความเข้มข้น 39 กรัมต่อลิตร แล้วนึ่งฆ่าเชื้อที่อุณหภูมิ 121 องศาเซลเซียส ความดัน 15 ปอนด์ต่อตารางนิ้ว เป็นเวลา 15 นาที

2. อาหารเลี้ยงเชื้อ Mushroom Complete Medium (MCM)

เตรียม MCM จากองค์ประกอบดังนี้

Glucose	20.00	กรัม
Yeast extract	2.00	กรัม
Peptone	2.00	กรัม
MgSO ₄ ·7H ₂ O	0.50	กรัม
KH ₂ HPO ₄	0.46	กรัม
K ₂ HPO ₄	1.00	กรัม
น้ำกลั่น	1000.00	มิลลิลิตร

ปรับค่าพีเอชเท่ากับ 6.0 แล้วนึ่งฆ่าเชื้อที่อุณหภูมิ 121 องศาเซลเซียส ความดัน 15 ปอนด์ต่อตารางนิ้ว เป็นระยะเวลา 15 นาที

3. อาหารเลี้ยงเชื้อ Minimal Medium (MM)

เตรียม MM จากองค์ประกอบดังนี้

Glucose	5.00	กรัม
K_2HPO_4	1.00	กรัม
Asparagine	0.68	กรัม
Yeast extract	0.50	กรัม
$MgSO_4 \cdot 7H_2O$	0.50	กรัม
KCl	0.50	กรัม
$FeSO_4 \cdot 7H_2O$	0.10	กรัม
$MnSO_4 \cdot 4H_2O$	0.008	กรัม
$Zn(CH_3COO)_2$	0.003	กรัม
$Ca(NO_3)_2 \cdot 4H_2O$	0.006	กรัม
$CuSO_4 \cdot 5H_2O$	0.003	กรัม
น้ำกลั่น	1000.000	มิลลิลิตร

ปรับค่าพีเอชเท่ากับ 6.0 แล้วนึ่งฆ่าเชื้อที่อุณหภูมิ 121 องศาเซลเซียส ความดัน 15 ปอนด์ ต่อตารางนิ้ว เป็นระยะเวลา 15 นาที



ตารางผนวกที่ ข1 การกำจัดสีเขียวมีแอกทีฟผสมโดย *L. polychrous* Lév. ที่ไม่เคลื่อนด้วยไคโตซาน และไม่ผ่านการทำให้แห้งแบบฟลูอิดไรซ์เบด

ระยะเวลา (ชั่วโมง)	ปริมาณสีเขียวที่เหลือ (เปอร์เซ็นต์)			
	ซ้ำที่ 1	ซ้ำที่ 2	ซ้ำที่ 3	เฉลี่ย
0	100.00	100.00	100.00	100.00±0.00
1	99.40	98.76	97.70	98.62±0.86
2	98.46	98.59	96.65	97.90±1.08
3	97.59	97.75	95.57	96.97±1.21
4	95.95	96.71	94.45	95.70±1.15
5	94.78	92.20	93.16	93.38±1.30
6	91.86	91.03	91.61	91.50±0.42
12	82.19	84.53	83.44	83.38±1.17
18	81.71	81.26	83.36	82.11±1.11
24	75.55	83.68	82.55	80.59±4.40
30	70.39	79.76	76.74	75.63±4.78
36	51.78	67.07	58.07	58.97±7.68
48	17.20	26.12	17.05	20.12±5.19
60	7.77	9.25	9.15	8.73±0.83
72	7.85	9.13	8.88	8.62±0.68

ตารางผนวกที่ ข2 การกำจัดสีเขียวมรีแอกทีฟผสมโดย *L. polychrous* Lév. ที่เคลือบด้วยไคโตซาน ความเข้มข้น 0.1 เปอร์เซ็นต์น้ำหนักต่อปริมาตร และไม่ผ่านการทำแห้งแบบฟลูอิดไรเซชัน

ระยะเวลา (ชั่วโมง)	ปริมาณสีเขียวที่เหลือ (เปอร์เซ็นต์)			
	ซ้ำที่ 1	ซ้ำที่ 2	ซ้ำที่ 3	เฉลี่ย
0	100.00	100.00	100.00	100.00±0.00
1	83.88	81.70	81.42	82.33±1.35
2	80.32	81.97	79.99	80.76±1.06
3	78.67	79.53	80.12	79.44±0.73
4	79.00	78.87	78.12	78.66±0.48
5	77.50	78.60	78.05	78.05±0.55
6	78.49	77.10	77.38	77.66±0.66
12	77.20	75.83	74.62	75.88±1.15
18	73.00	72.74	72.54	72.76±0.20
24	71.53	71.47	70.98	71.33±0.27
30	65.00	62.74	63.84	63.86±1.01
36	20.17	20.47	20.35	20.33±0.14
48	11.20	11.20	10.93	11.11±0.14
60	6.43	6.35	6.26	6.35±0.07
72	4.57	4.57	4.33	4.49±0.12

ตารางผนวกที่ ข3 การกำจัดสีข้อมรีแอกทีฟผสมโดย *L. polychrous* Lév. ที่เคลือบด้วยไคโตซาน ความเข้มข้น 0.5 เปอร์เซ็นต์น้ำหนักต่อปริมาตร และไม่ผ่านการทำแห้งแบบฟลูอิดไรเซชัน

ระยะเวลา (ชั่วโมง)	ปริมาณสีข้อมที่เหลือ (เปอร์เซ็นต์)			
	ซ้ำที่ 1	ซ้ำที่ 2	ซ้ำที่ 3	เฉลี่ย
0	100.00	100.00	100.00	100.00±0.00
1	67.73	65.73	65.78	66.42±1.14
2	58.76	56.92	57.24	57.64±0.98
3	54.67	51.82	51.97	52.82±1.60
4	50.31	47.99	48.06	48.79±1.32
5	48.53	46.19	46.54	47.09±1.26
6	36.12	38.09	37.98	37.39±0.99
12	34.63	35.89	35.48	35.33±0.57
18	32.63	32.51	32.71	32.62±0.09
24	30.68	30.54	30.85	30.69±0.14
30	29.14	29.74	29.86	29.58±0.34
36	25.70	26.42	26.34	26.15±0.35
48	14.06	12.32	12.01	12.80±0.99
60	8.15	7.83	7.55	7.84±0.27
72	4.85	4.76	4.95	4.86±0.09

ตารางผนวกที่ ๔ การกำจัดสีเขียวมรีแอกทีฟผสมโดย *L. polychrous* Lév. ที่เคลือบด้วยไคโตซาน ความเข้มข้น 1.0 เปอร์เซ็นต์น้ำหนักต่อปริมาตร และไม่ผ่านการทำแห้งแบบฟลูอิดไรเซชัน

ระยะเวลา (ชั่วโมง)	ปริมาณสีเขียวที่เหลือ (เปอร์เซ็นต์)			
	ซ้ำที่ 1	ซ้ำที่ 2	ซ้ำที่ 3	เฉลี่ย
0	100.00	100.00	100.00	100.00±0.00
1	60.61	59.08	59.84	59.84±0.76
2	43.08	43.86	44.07	43.67±0.52
3	39.64	39.38	38.63	39.21±0.52
4	34.22	34.62	35.02	34.62±0.40
5	30.39	29.87	30.11	30.12±0.26
6	26.34	27.05	27.40	26.93±0.48
12	24.59	24.34	24.99	24.64±0.29
18	22.04	21.93	22.18	22.05±0.11
24	21.20	21.49	21.16	21.28±0.16
30	20.64	20.69	20.66	20.66±0.02
36	20.11	20.24	20.05	20.13±0.08
48	18.23	19.03	18.70	18.65±0.36
60	14.13	14.07	14.03	14.08±0.05
72	8.60	7.72	7.32	7.88±0.58

ตารางผนวกที่ ข5 การกำจัดสีย้อมรีแอกทีฟผสมโดย *L. polychrous* Lév. ที่ไม่เคลือบด้วยไคโตซาน และผ่านการทำแห้งแบบฟลูอิดไชน์เบด

ระยะเวลา (ชั่วโมง)	ปริมาณสีย้อมที่เหลือ (เปอร์เซ็นต์)			
	ซ้ำที่ 1	ซ้ำที่ 2	ซ้ำที่ 3	เฉลี่ย
0	100.00	100.00	100.00	100.00±0.00
12	97.12	96.88	97.01	97.00±0.12
24	97.15	96.28	89.22	94.22±3.89
30	92.76	93.37	92.86	93.00±0.33
36	91.73	91.87	92.42	92.01±0.37
48	92.21	91.38	87.94	90.51±2.02
60	80.97	83.09	81.92	81.99±1.06
72	77.13	72.49	69.95	73.19±3.25
96	21.93	21.68	18.23	20.61±1.85
120	13.10	13.29	11.91	12.76±0.67
144	6.50	5.70	5.07	5.75±0.64

ตารางผนวกที่ ข6 การกำจัดสีย้อมรีแอกทีฟผสมโดย *L. polychrous* Lév. ที่เคลือบด้วยไคโตซาน ความเข้มข้น 0.1 เปอร์เซ็นต์น้ำหนักต่อปริมาตร และผ่านการทำแห้งแบบฟลูอิดไชน์เบด

ระยะเวลา (ชั่วโมง)	ปริมาณสีย้อมที่เหลือ (เปอร์เซ็นต์)			
	ซ้ำที่ 1	ซ้ำที่ 2	ซ้ำที่ 3	เฉลี่ย
0	100.00	100.00	100.00	100.00±0.00
12	69.34	68.01	68.76	68.70±0.66
24	65.19	65.23	65.69	65.37±0.28
30	64.99	65.01	65.00	65.00±0.01
36	64.84	64.36	64.53	64.58±0.24
48	60.43	61.84	62.12	61.46±0.90
60	20.80	21.42	20.96	21.06±0.32
72	8.43	8.43	8.20	8.36±0.14

ตารางผนวกที่ ข7 การกำจัดสีย้อมรีแอคทีฟผสมโดย *L. polychrous* Lév. ที่เคลือบด้วยไคโตซาน ความเข้มข้น 0.5 เปอร์เซ็นต์น้ำหนักต่อปริมาตร และผ่านการทำแห้งแบบฟลูอิดไดซ์เบด

ระยะเวลา (ชั่วโมง)	ปริมาณสีย้อมที่เหลือ (เปอร์เซ็นต์)			
	ซ้ำที่ 1	ซ้ำที่ 2	ซ้ำที่ 3	เฉลี่ย
0	100.00	100.00	100.00	100.00±0.00
12	48.08	47.91	47.43	47.80±0.34
24	45.45	44.39	46.87	45.57±1.24
30	44.88	45.66	45.32	45.29±0.39
36	44.58	44.23	46.62	45.14±1.29
48	39.45	39.66	40.70	39.93±0.67
60	17.48	18.85	17.17	17.83±0.89
72	7.57	6.22	6.79	6.86±0.68

ตารางผนวกที่ ข8 การกำจัดสีย้อมรีแอคทีฟผสมโดย *L. polychrous* Lév. ที่เคลือบด้วยไคโตซาน ความเข้มข้น 1.0 เปอร์เซ็นต์น้ำหนักต่อปริมาตร และผ่านการทำแห้งแบบฟลูอิดไดซ์เบด

ระยะเวลา (ชั่วโมง)	ปริมาณสีย้อมที่เหลือ (เปอร์เซ็นต์)			
	ซ้ำที่ 1	ซ้ำที่ 2	ซ้ำที่ 3	เฉลี่ย
0	100.00	100.00	100.00	100.00±0.00
12	45.31	44.55	44.07	44.64±0.63
24	42.80	41.00	39.58	41.13±1.62
30	40.28	40.90	41.21	40.80±0.47
36	42.14	40.36	38.78	40.43±1.68
48	36.14	35.79	34.65	35.53±0.78
60	24.92	24.53	24.82	24.76±0.20
72	6.56	6.94	6.43	6.64±0.27

ตารางผนวกที่ ข9 กิจกรมเอนไซม์แลคเคสที่ผลิตโดย *L. polychrous* Lév. ที่ไม่เคลือบด้วยไคโตซานและที่ไม่ผ่านการทำแห้งแบบฟลูอิดซ์เบด

ระยะเวลา (ชั่วโมง)	กิจกรมเอนไซม์แลคเคส (ยูนิตต่อมิลลิลิตร)			
	ซ้ำที่ 1	ซ้ำที่ 2	ซ้ำที่ 3	เฉลี่ย
0	0.000	0.000	0.000	0.000±0.000
6	0.005	0.002	0.003	0.004±0.001
18	0.006	0.004	0.004	0.005±0.001
30	0.017	0.015	0.018	0.017±0.002
36	0.146	0.091	0.146	0.128±0.032
48	0.678	0.628	0.669	0.658±0.027
60	1.113	1.045	1.212	1.123±0.084
72	1.690	1.440	1.570	1.567±0.125

ตารางผนวกที่ ข10 กิจกรมเอนไซม์แลคเคสที่ผลิตโดย *L. polychrous* Lév. ที่เคลือบด้วยไคโตซาน ความเข้มข้น 0.1 เปอร์เซ็นต์น้ำหนักต่อปริมาตร และไม่ผ่านการทำแห้งแบบฟลูอิดซ์เบด

ระยะเวลา (ชั่วโมง)	กิจกรมเอนไซม์แลคเคส (ยูนิตต่อมิลลิลิตร)			
	ซ้ำที่ 1	ซ้ำที่ 2	ซ้ำที่ 3	เฉลี่ย
0	0.000	0.000	0.000	0.000±0.000
6	0.003	0.003	0.003	0.003±0.000
18	0.004	0.004	0.004	0.004±0.000
30	0.010	0.010	0.012	0.010±0.001
36	0.100	0.098	0.101	0.099±0.001
48	0.533	0.584	0.488	0.536±0.048
60	0.993	0.928	0.979	0.967±0.034
72	1.349	1.392	1.394	1.378±0.026

ตารางผนวกที่ ข11 กิจกรรมเอนไซม์แลคเคสที่ผลิตโดย *L. polychrous* Lév ที่เคลือบด้วยไคโตซาน ความเข้มข้น 0.5 เปอร์เซ็นต์น้ำหนักต่อปริมาตร และไม่ผ่านการทำให้แห้งแบบฟลูอิดไรเซชัน

ระยะเวลา (ชั่วโมง)	กิจกรรมเอนไซม์แลคเคส (ยูนิตต่อมิลลิลิตร)			
	ซ้ำที่ 1	ซ้ำที่ 2	ซ้ำที่ 3	เฉลี่ย
0	0.000	0.000	0.000	0.000±0.000
6	0.002	0.002	0.002	0.002±0.000
18	0.002	0.002	0.002	0.002±0.000
30	0.006	0.006	0.006	0.006±0.000
36	0.077	0.079	0.077	0.078±0.001
48	0.406	0.362	0.375	0.381±0.023
60	0.738	0.687	0.721	0.715±0.026
72	1.010	1.168	1.057	1.078±0.081

ตารางผนวกที่ ข12 กิจกรรมเอนไซม์แลคเคสที่ผลิตโดย *L. polychrous* Lév ที่เคลือบด้วยไคโตซาน ความเข้มข้น 1.0 เปอร์เซ็นต์น้ำหนักต่อปริมาตร และไม่ผ่านการทำให้แห้งแบบฟลูอิดไรเซชัน

ระยะเวลา (ชั่วโมง)	กิจกรรมเอนไซม์แลคเคส (ยูนิตต่อมิลลิลิตร)			
	ซ้ำที่ 1	ซ้ำที่ 2	ซ้ำที่ 3	เฉลี่ย
0	0.000	0.000	0.000	0.000±0.000
6	0.002	0.002	0.001	0.002±0.000
18	0.002	0.002	0.002	0.002±0.000
30	0.003	0.003	0.004	0.003±0.000
36	0.044	0.045	0.045	0.044±0.001
48	0.209	0.262	0.286	0.252±0.040
60	0.567	0.494	0.587	0.550±0.049
72	0.876	0.835	0.914	0.875±0.040

ตารางผนวกที่ ข13 กิจกรรมเอนไซม์แมงกานีสเปอร์ออกซิเดสที่ผลิตโดย *L. polychrous* Lév. ที่ไม่เคลือบด้วยไคโตซานและไม่ผ่านการทำแห้งแบบฟลูอิดซ์เบด

ระยะเวลา (ชั่วโมง)	กิจกรรมเอนไซม์แมงกานีสเปอร์ออกซิเดส (ยูนิตต่อมิลลิลิตร)			
	ซ้ำที่ 1	ซ้ำที่ 2	ซ้ำที่ 3	เฉลี่ย
0	0.000	0.000	0.000	0.000±0.000
6	0.001	0.001	0.002	0.002±0.000
18	0.007	0.006	0.007	0.007±0.001
30	0.006	0.005	0.010	0.007±0.003
36	0.029	0.026	0.033	0.029±0.003
48	0.290	0.249	0.226	0.255±0.032
60	0.440	0.465	0.505	0.470±0.033
72	0.635	0.658	0.739	0.677±0.054

ตารางผนวกที่ ข14 กิจกรรมเอนไซม์แมงกานีสเปอร์ออกซิเดสที่ผลิตโดย *L. polychrous* Lév. ที่เคลือบด้วยไคโตซานความเข้มข้น 0.1 เปอร์เซ็นต์น้ำหนักต่อปริมาตรและไม่ผ่านการทำแห้งแบบฟลูอิดซ์เบด

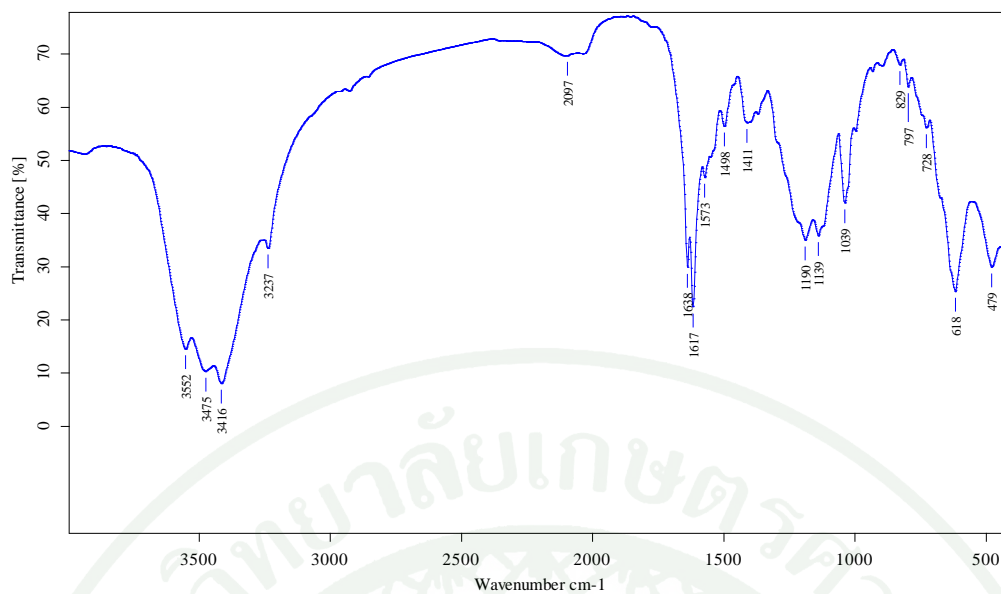
ระยะเวลา (ชั่วโมง)	กิจกรรมเอนไซม์แมงกานีสเปอร์ออกซิเดส (ยูนิตต่อมิลลิลิตร)			
	ซ้ำที่ 1	ซ้ำที่ 2	ซ้ำที่ 3	เฉลี่ย
0	0.000	0.000	0.000	0.000±0.000
6	0.001	0.001	0.001	0.001±0.000
18	0.005	0.005	0.005	0.005±0.000
30	0.006	0.006	0.006	0.006±0.000
36	0.023	0.022	0.020	0.021±0.001
48	0.213	0.201	0.226	0.213±0.012
60	0.400	0.427	0.434	0.420±0.018
72	0.624	0.610	0.620	0.618±0.007

ตารางผนวกที่ ข15 กิจกรรมเอนไซม์แมงกานีสเปอร์ออกซิเดสที่ผลิตโดย *L. polychrous* Lév ที่เคลือบด้วยไคโตซานความเข้มข้น 0.5 เปอร์เซ็นต์น้ำหนักต่อปริมาตรและไม่ผ่านการทำให้แบบฟลูอิดซ์เบด

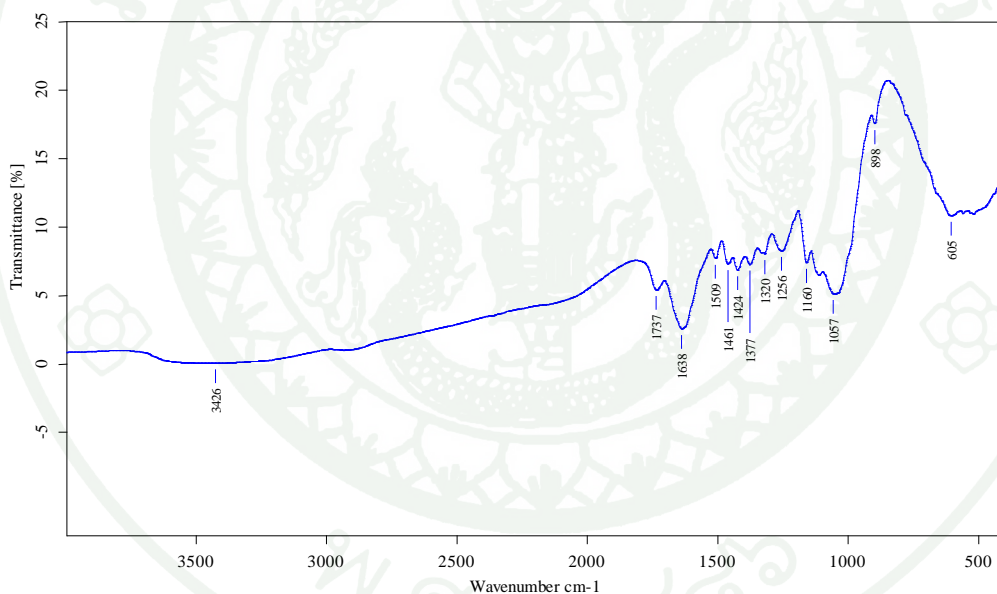
ระยะเวลา (ชั่วโมง)	กิจกรรมเอนไซม์แมงกานีสเปอร์ออกซิเดส (ยูนิตต่อมิลลิลิตร)			
	ซ้ำที่ 1	ซ้ำที่ 2	ซ้ำที่ 3	เฉลี่ย
0	0.000	0.000	0.000	0.000±0.000
6	0.001	0.001	0.001	0.001±0.000
18	0.001	0.001	0.001	0.001±0.000
30	0.004	0.003	0.004	0.004±0.000
36	0.017	0.002	0.002	0.007±0.008
48	0.101	0.131	0.181	0.137±0.040
60	0.244	0.300	0.275	0.273±0.028
72	0.438	0.419	0.403	0.420±0.017

ตารางผนวกที่ ข16 กิจกรรมเอนไซม์แมงกานีสเปอร์ออกซิเดสที่ผลิตโดย *L. polychrous* Lév ที่เคลือบด้วยไคโตซานความเข้มข้น 1.0 เปอร์เซ็นต์น้ำหนักต่อปริมาตร และไม่ผ่านการทำให้แบบฟลูอิดซ์เบด

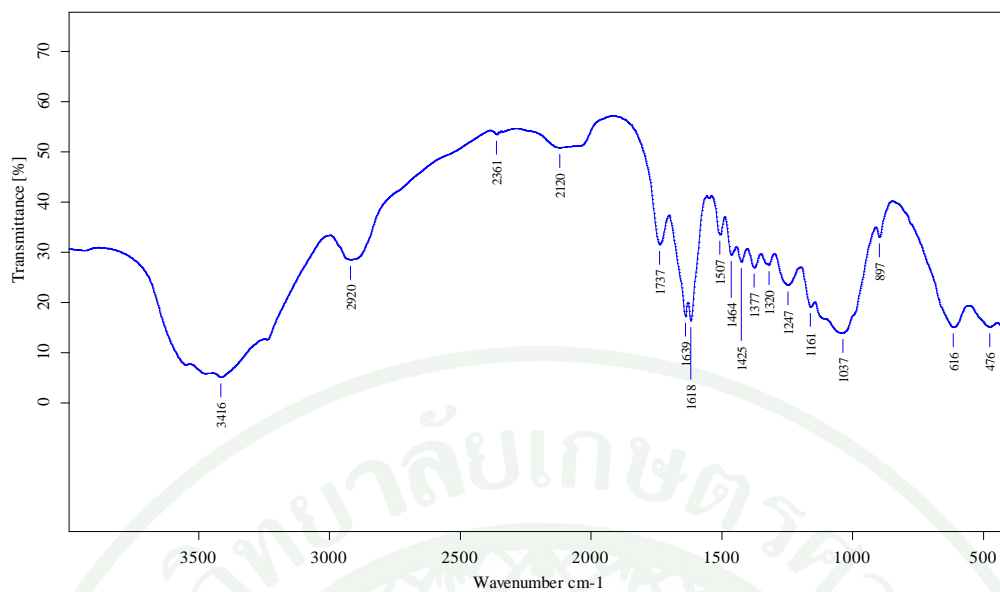
ระยะเวลา (ชั่วโมง)	กิจกรรมเอนไซม์แมงกานีสเปอร์ออกซิเดส (ยูนิตต่อมิลลิลิตร)			
	ซ้ำที่ 1	ซ้ำที่ 2	ซ้ำที่ 3	เฉลี่ย
0	0.000	0.000	0.000	0.000±0.000
6	0.001	0.001	0.001	0.001±0.000
18	0.001	0.001	0.001	0.001±0.000
30	0.003	0.003	0.003	0.003±0.000
36	0.012	0.001	0.001	0.005±0.005
48	0.096	0.094	0.106	0.099±0.007
60	0.201	0.226	0.245	0.224±0.022
72	0.376	0.359	0.370	0.368±0.008



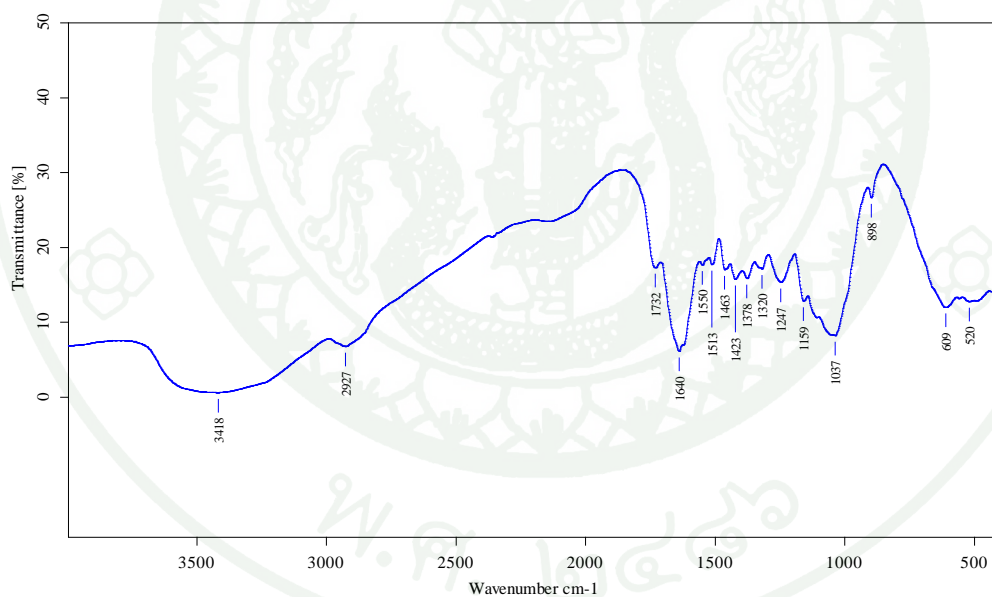
ภาพผนวกที่ ข1 FTIR สเปกตรัมของสีข้อมริแอกทีฟผสมที่เวลาการกำจัดสีข้อมชั่วโมงที่ 0



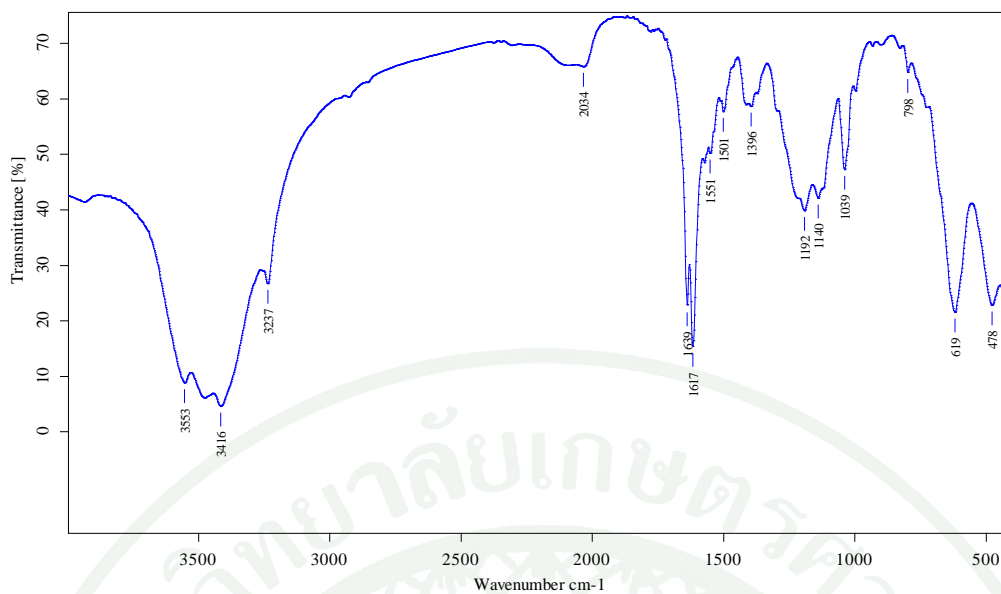
ภาพผนวกที่ ข2 FTIR สเปกตรัมของเม็ตรา *L. polychrous* Lév. ที่เคลือบด้วยไฮโดรเจนเปอร์ออกไซด์เข้มข้น 1.0 เปอร์เซ็นต์น้ำหนักต่อปริมาตร ที่เวลาการกำจัดสีข้อมชั่วโมงที่ 0



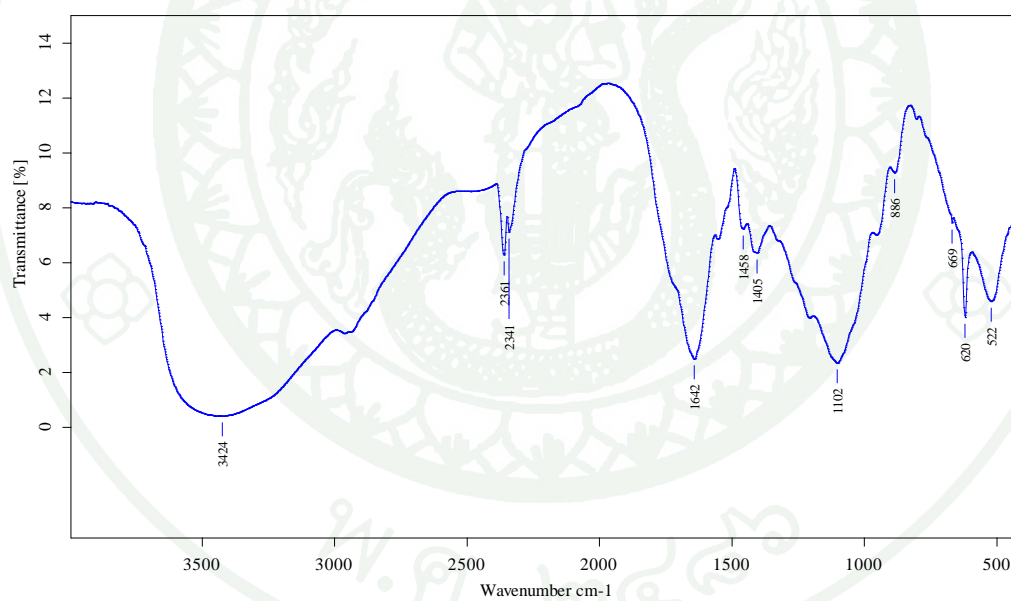
ภาพผนวกที่ ข3 FTIR สเปกตรัมของเม็ตรา *L. polychrous* Lévy. ที่เคลือบด้วยโคโตนความเข้มข้น 1.0 เปอร์เซ็นต์น้ำหนักต่อปริมาตร ที่เวลาการกำจัดสีย้อมชั่วโมงที่ 6



ภาพผนวกที่ ข4 FTIR สเปกตรัมของเม็ตรา *L. polychrous* Lévy. ที่เคลือบด้วยโคโตนความเข้มข้น 1.0 เปอร์เซ็นต์น้ำหนักต่อปริมาตร ที่เวลาการกำจัดสีย้อมชั่วโมงที่ 48



ภาพผนวกที่ ข5 FTIR สเปกตรัมของน้ำสีเชื่อมรีแอคทีฟผสมที่เวลาการกำจัดสีเชื่อมชั่วโมงที่ 6



ภาพผนวกที่ ข6 FTIR สเปกตรัมของน้ำสีเชื่อมรีแอคทีฟผสมที่เวลาการกำจัดสีเชื่อมชั่วโมงที่ 48

ประวัติการศึกษาและการทำงาน

ชื่อ – นามสกุล	นางสาวรจนาวรรณ หวังประดิษฐ์
วัน เดือน ปี ที่เกิด	วันที่ 24 มีนาคม 2528
สถานที่เกิด	จังหวัดกรุงเทพมหานคร
ประวัติการศึกษา	วิทยาศาสตรบัณฑิต (เทคโนโลยีชีวภาพ) มหาวิทยาลัยเกษตรศาสตร์

